



UNIÓN INTERNACIONAL DE TELECOMUNICACIONES

UIT-T

G.709/Y.1331

SECTOR DE NORMALIZACIÓN
DE LAS TELECOMUNICACIONES
DE LA UIT

(02/2001)

SERIE G: SISTEMAS Y MEDIOS DE TRANSMISIÓN,
SISTEMAS Y REDES DIGITALES

Equipos terminales digitales – Generalidades

SERIE Y: INFRAESTRUCTURA MUNDIAL DE LA
INFORMACIÓN Y ASPECTOS DEL PROTOCOLO
INTERNET

Aspectos del protocolo Internet – Transporte

Interfaces para la red de transporte óptica

Recomendación UIT-T G.709/Y.1331

(Anteriormente Recomendación del CCITT)

RECOMENDACIONES UIT-T DE LA SERIE G
SISTEMAS Y MEDIOS DE TRANSMISIÓN, SISTEMAS Y REDES DIGITALES

CONEXIONES Y CIRCUITOS TELEFÓNICOS INTERNACIONALES	G.100–G.199
CARACTERÍSTICAS GENERALES COMUNES A TODOS LOS SISTEMAS ANALÓGICOS DE PORTADORAS	G.200–G.299
CARACTERÍSTICAS INDIVIDUALES DE LOS SISTEMAS TELEFÓNICOS INTERNACIONALES DE PORTADORAS EN LÍNEAS METÁLICAS	G.300–G.399
CARACTERÍSTICAS GENERALES DE LOS SISTEMAS TELEFÓNICOS INTERNACIONALES EN RADIOENLACES O POR SATÉLITE E INTERCONEXIÓN CON LOS SISTEMAS EN LÍNEAS METÁLICAS	G.400–G.449
COORDINACIÓN DE LA RADIOTELEFONÍA Y LA TELEFONÍA EN LÍNEA	G.450–G.499
EQUIPOS DE PRUEBAS	G.500–G.599
CARACTERÍSTICAS DE LOS MEDIOS DE TRANSMISIÓN	G.600–G.699
EQUIPOS TERMINALES DIGITALES	G.700–G.799
Generalidades	G.700–G.709
Codificación de señales analógicas mediante modulación por impulsos codificados (MIC)	G.710–G.719
Codificación de señales analógicas mediante métodos diferentes de la MIC	G.720–G.729
Características principales de los equipos múltiplex primarios	G.730–G.739
Características principales de los equipos múltiplex de segundo orden	G.740–G.749
Características principales de los equipos múltiplex de orden superior	G.750–G.759
Características principales de los transcodificadores y de los equipos de multiplicación de circuitos digitales	G.760–G.769
Características de operación, administración y mantenimiento de los equipos de transmisión	G.770–G.779
Características principales de los equipos múltiplex de la jerarquía digital síncrona	G.780–G.789
Otros equipos terminales	G.790–G.799
REDES DIGITALES	G.800–G.899
SECCIONES DIGITALES Y SISTEMAS DIGITALES DE LÍNEA	G.900–G.999

Para más información, véase la Lista de Recomendaciones del UIT-T.

Interfaces para la red de transporte óptica

Resumen

La presente Recomendación define los requisitos del módulo de transporte óptico de orden n (OTM-n, *optical transport module of order n*), atendiendo a:

- jerarquía de transporte óptica (OTH, *optical transport hierarchy*);
- funcionalidad de la tara para el soporte de redes ópticas de múltiples longitudes de onda;
- estructuras de trama;
- velocidades binarias;
- formatos de correspondencia de señales de cliente.

Orígenes

La Recomendación UIT-T G.709/Y.1331, preparada por la Comisión de Estudio 15 (2001-2004) del UIT-T, fue aprobada por el procedimiento de la Resolución 1 de la AMNT el 9 de febrero de 2001.

La presente Recomendación forma parte de un conjunto de Recomendaciones que trata de la funcionalidad completa de una red de transporte óptica. Esta Recomendación sigue los principios definidos en UIT-T G.805.

Historia del documento	
Versión	Notas
1.0	Versión inicial, febrero de 2001

Palabras clave

Interfaz de nodo de red, interfaz usuario a red, jerarquía de transporte óptica, módulo de transporte óptico, red de transporte óptica.

PREFACIO

La UIT (Unión Internacional de Telecomunicaciones) es el organismo especializado de las Naciones Unidas en el campo de las telecomunicaciones. El UIT-T (Sector de Normalización de las Telecomunicaciones de la UIT) es un órgano permanente de la UIT. Este órgano estudia los aspectos técnicos, de explotación y tarifarios y publica Recomendaciones sobre los mismos, con miras a la normalización de las telecomunicaciones en el plano mundial.

La Asamblea Mundial de Normalización de las Telecomunicaciones (AMNT), que se celebra cada cuatro años, establece los temas que han de estudiar las Comisiones de Estudio del UIT-T, que a su vez producen Recomendaciones sobre dichos temas.

La aprobación de Recomendaciones por los Miembros del UIT-T es el objeto del procedimiento establecido en la Resolución 1 de la AMNT.

En ciertos sectores de la tecnología de la información que corresponden a la esfera de competencia del UIT-T, se preparan las normas necesarias en colaboración con la ISO y la CEI.

NOTA

En esta Recomendación, la expresión "Administración" se utiliza para designar, en forma abreviada, tanto una administración de telecomunicaciones como una empresa de explotación reconocida de telecomunicaciones.

PROPIEDAD INTELECTUAL

La UIT señala a la atención la posibilidad de que la utilización o aplicación de la presente Recomendación suponga el empleo de un derecho de propiedad intelectual reivindicado. La UIT no adopta ninguna posición en cuanto a la demostración, validez o aplicabilidad de los derechos de propiedad intelectual reivindicados, ya sea por los miembros de la UIT o por terceros ajenos al proceso de elaboración de Recomendaciones.

En la fecha de aprobación de la presente Recomendación, la UIT ha recibido notificación de propiedad intelectual, protegida por patente, que puede ser necesaria para aplicar esta Recomendación. Sin embargo, debe señalarse a los usuarios que puede que esta información no se encuentre totalmente actualizada al respecto, por lo que se les insta encarecidamente a consultar la base de datos sobre patentes de la TSB.

© UIT 2001

Es propiedad. Ninguna parte de esta publicación puede reproducirse o utilizarse, de ninguna forma o por ningún medio, sea éste electrónico o mecánico, de fotocopia o de microfilm, sin previa autorización escrita por parte de la UIT.

ÍNDICE

Página

1	Alcance	1
2	Referencias.....	1
3	Términos y definiciones.....	2
4	Abreviaturas.....	6
5	Convenios	8
6	Estructura de la interfaz de la red de transporte óptica.....	9
6.1	Estructura de señal básica.....	10
6.1.1	Subestructura de OCh.....	10
6.1.2	Estructura de funcionalidad completa OTM-n.m ($n \geq 1$).....	10
6.1.3	Estructuras OTM-nr.m y OTM-0.m con funcionalidad reducida.....	11
6.2	Estructura de información para interfaces OTN.....	11
7	Principios de multiplexión/correspondencia y velocidades binarias	15
7.1	Correspondencia	16
7.2	Múltiplex por división de longitud de onda.....	16
7.3	Velocidades binarias y capacidad	16
8	Módulo de transporte óptico (OTM-n.m, OTM-nr.m, OTM-0.m).....	17
8.1	OTM con funcionalidad reducida (OTM-0.m, OTM-nr.m).....	18
8.1.1	OTM-0.m.....	18
8.1.2	OTM-16r.m.....	18
8.2	OTM con funcionalidad completa (OTM-n.m).....	20
9	Especificaciones físicas de ONNI.....	23
9.1	OTM-0.m.....	23
9.2	OTM-16r.m.....	23
9.3	OTM-n.m.....	23
10	Canal óptico (OCh).....	23
10.1	OCh con funcionalidad completa (OCh).....	23
10.2	OCh con funcionalidad reducida (OChr).....	23
11	Unidad de transporte de canal óptico (OTU).....	24
11.1	Estructura de trama de OTUk.....	24
11.2	Aleatorización.....	25
12	Unidad de datos de canal óptico (ODUk).....	26
12.1	Estructura de trama de ODUk.....	26
13	Unidad de cabida útil de canal óptico (OPUk).....	26

14	Señal de tara de OTM (OOS)	27
15	Descripción de tara	27
15.1	Tipos de tara.....	30
15.1.1	Tara de unidad de cabida útil de canal óptico (OPUk OH).....	30
15.1.2	Tara de unidad de datos de canal óptico (ODUk OH).....	30
15.1.3	Tara de unidad de transporte de canal óptico (OTUk OH).....	30
15.1.4	Tara no asociada a canal óptico (OCh OH).....	30
15.1.5	Tara de sección múltiplex óptica (OMS OH).....	30
15.1.6	Tara de sección de transmisión óptica (OTS OH).....	30
15.1.7	Tara de comunicaciones generales de gestión (COMMS OH).....	31
15.2	Definición de identificador de rastro de camino y de identificador de punto de acceso.....	31
15.3	Descripción de OTS OH.....	32
15.3.1	Identificador de traza de camino (TTI) de OTS	33
15.3.2	Indicación de defecto hacia atrás – Cabida útil (BDI-P) de OTS.....	33
15.3.3	Indicación de defecto hacia atrás – Tara (BDI-O) de OTS	33
15.3.4	Indicación de ausencia de cabida útil (PMI) de OTS	33
15.4	Descripción de OMS OH.....	33
15.4.1	Indicación de defecto hacia adelante – Cabida útil (FDI-P) de OMS	33
15.4.2	Indicación de defecto hacia adelante – Tara (FDI-O) de OMS	33
15.4.3	Indicación de defecto hacia atrás – Cabida útil (BDI-P) de OMS.....	33
15.4.4	Indicación de defecto hacia atrás – Tara (BDI-O) de OMS	33
15.4.5	Indicación de ausencia – Cabida útil (PMI) de OMS	34
15.5	Descripción de OCh OH.....	34
15.5.1	Indicación de defecto hacia adelante – Cabida útil (FDI-P) de OCh	34
15.5.2	Indicación de defecto hacia adelante – Tara (FDI-O) de OCh.....	34
15.5.3	Indicación de conexión abierta (OCI) de OCh	34
15.6	Descripción de tara de alineación de trama de OTUk/ODUk	34
15.6.1	Ubicación de tara de alineación de trama de OTUk/ODUk	34
15.6.2	Definición de tara de alineación de trama de OTUk/ODUk	35
15.7	Descripción de OTUk OH	35
15.7.1	Ubicación de tara de OTUk.....	35
15.7.2	Definición de tara de OTUk	36
15.7.3	Tara de OTUkV	38
15.8	Descripción de ODUk OH.....	39
15.8.1	Ubicación de ODUk OH.....	39
15.8.2	Definición de ODUk OH.....	40

	Página
15.9 Descripción de OPUk OH.....	52
15.9.1 Ubicación de OPUk OH	52
15.9.2 Definición de OPUk OH.....	52
16 Señales de mantenimiento	54
16.1 Señales de mantenimiento OTS	54
16.1.1 Indicación de cabida útil omitida de OTS (OTS-PMI).....	54
16.2 Señales de mantenimiento OMS.....	54
16.2.1 Indicación de defecto hacia adelante – Cabida útil OMS (OMS-FDI-P)	54
16.2.2 Indicación de defecto hacia adelante OMS – Tara (OMS-FDI-O).....	54
16.2.3 Indicación de ausencia de cabida útil de OMS (OMS-PMI).....	55
16.3 Señales de mantenimiento OCh.....	55
16.3.1 Indicación de defecto hacia adelante OCh – Cabida útil (OCh-FDI-P)	55
16.3.2 Indicación de defecto hacia adelante OCh – Tara (OCh-FDI-O).....	55
16.3.3 Indicación de conexión abierta OCh (OCh-OCI).....	55
16.4 Señales de mantenimiento OTUk	55
16.4.1 Señal de indicación de alarma OTUk (OTUk-AIS)	55
16.5 Señales de mantenimiento ODUk.....	55
16.5.1 Señal de indicación de alarma ODUk (ODUk-AIS)	56
16.5.2 Indicación de conexión abierta ODUk (ODUk-OCI).....	56
16.5.3 ODUk bloqueada (ODUk-LCK)	56
16.6 Señal de mantenimiento de cliente	57
16.6.1 AIS genérica para señales de velocidad binaria constante	57
17 Correspondencia de señales de cliente.....	57
17.1 Correspondencia de señales CBR2G5, CBR10G y CBR40G (por ejemplo, STM-16/64/256) con OPUk.....	57
17.1.1 Correspondencia de una señal CBR2G5 (por ejemplo, STM-16) con OPU1	60
17.1.2 Correspondencia de una señal CBR10G (por ejemplo, STM-64) en OPU2 .	60
17.1.3 Correspondencia de una señal CBR40G (por ejemplo, STM-256) en OPU3	60
17.2 Correspondencia de tren de células ATM con OPUk.....	61
17.3 Correspondencia de tramas GFP en OPUk.....	62
17.4 Correspondencia de la señal de prueba en OPUk	63
17.4.1 Correspondencia de cliente NULL en OPUk	63
17.4.2 Correspondencia de la señal de prueba PRBS en OPUk.....	63
17.5 Correspondencia de un tren de bits de cliente no específico en OPUk	64
17.5.1 Correspondencia del tren de bits con temporización de octetos en OPUk....	65
17.5.2 Correspondencia del tren de bits sin temporización de octetos en OPUk.....	65

	Página
17.6 Correspondencia de otras señales de velocidad binaria constante con justificación en OPUk.....	65
Anexo A – Corrección intrínseca de errores mediante 16 códecs RS(255,239) con entrelazado de octetos.....	65
Apéndice I – Gama de proporciones de relleno para correspondencias asíncronas de señales de cliente CBR2G5, CBR10G y CBR40G que tienen una tolerancia de velocidad binaria de ± 20 ppm en OPUk.....	67
Apéndice II – Ejemplos de estructuras de tramas OTU normalizadas funcionalmente.....	70

Recomendación UIT-T G.709/Y.1331

Interfaces para la red de transporte óptica

1 Alcance

La jerarquía de transporte óptica (OTH, *optical transport hierarchy*) sustenta los aspectos de operación y de gestión de redes ópticas de distintas arquitecturas, por ejemplo, punto a punto, anillo y malla.

La presente Recomendación define las interfaces de la red de transporte óptica, que habrá de utilizarse dentro de las subredes y entre las subredes de la red óptica, atendiendo a:

- jerarquía de transporte óptica (OTH);
- funcionalidad de la tara para el soporte de redes ópticas de múltiples longitudes de onda;
- estructuras de trama;
- velocidades binarias;
- formatos de correspondencia de señales de cliente.

Las interfaces definidas en la presente Recomendación se pueden aplicar a interfaces usuario-red (UNI, *user-to-network interfaces*) y a interfaces de nodo de red (NNI, *network node interfaces*) de la red de transporte óptica. Se admite que, para las interfaces utilizadas dentro de las subredes ópticas, hay aspectos de la interfaz que dependen de la tecnología óptica y que están sujetos a modificación a medida que evoluciona la tecnología. Por lo tanto, aquellos aspectos que dependen de la tecnología óptica (para la compatibilidad transversal) no se definen para estas interfaces a fin de dejar lugar a los cambios tecnológicos. Se define la funcionalidad de las taras necesarias para la operación y la gestión de las subredes ópticas.

2 Referencias

Las siguientes Recomendaciones del UIT-T y otras referencias contienen disposiciones que, mediante su referencia en este texto, constituyen disposiciones de la presente Recomendación. Al efectuar esta publicación, estaban en vigor las ediciones indicadas. Todas las Recomendaciones y otras referencias son objeto de revisiones por lo que se preconiza que los usuarios de esta Recomendación investiguen la posibilidad de aplicar las ediciones más recientes de las Recomendaciones y otras referencias citadas a continuación. Se publica periódicamente una lista de las Recomendaciones UIT-T actualmente vigentes.

- UIT-T G.652 (2000), *Características de un cable de fibra óptica monomodo.*
- UIT-T G.653 (2000), *Características de los cables de fibra óptica monomodo con dispersión desplazada.*
- UIT-T G.655 (2000), *Características de los cables de fibra óptica monomodo con dispersión desplazada no nula.*
- UIT-T G.707/Y.1322 (2000), *Interfaz de nodo de red para la jerarquía digital síncrona.*
- UIT-T G.805 (2000), *Arquitectura funcional genérica de las redes de transporte.*
- UIT-T G.872 (1999), *Arquitectura de las redes de transporte ópticas.*
- UIT-T G.959.1 (2001), *Interfaces de capa física de red de transporte óptica.*

- UIT-T I.432.1 (1999), *Interfaz usuario-red de la red de la red digital de servicios integrados de banda ancha (RDSI-BA) – Especificación de la capa física: Características generales.*
- UIT-T M.1400 (2000), *Designaciones para las redes entre operadores.*
- UIT-T M.3100 (1995)/Enm.3 (2001), *Modelo genérico de información de red – Enmienda 3: Definición de la interfaz de gestión para una capacidad de control de información de alarmas genérica.*
- UIT-T O.150 (1996), *Requisitos generales para la instrumentación de mediciones de la calidad de funcionamiento de equipos de transmisión digital.*

3 Términos y definiciones

En la presente Recomendación se utilizan los siguientes términos definidos en UIT-T G.707/Y.1322:

3.1 BIP-X

3.2 Interfaz de nodo de red

En la presente Recomendación se utilizan los siguientes términos definidos en UIT-T G.805:

3.3 Información adaptada (AI)

3.4 Información característica (CI)

3.5 Red

3.6 Subred

En la presente Recomendación se utilizan los siguientes términos definidos en UIT-T G.872:

3.7 Interfaz intradominio (IaDI)

3.8 Interfaz interdominios (IrDI)

3.9 Red de transporte óptica (OTN)

3.10 Sección múltiplex óptica (OMS)

3.11 Sección de transmisión óptica (OTS)

En esta Recomendación se definen los términos siguientes.

3.12 módulo de transporte óptico (OTM-n[r].m): El OTM es la estructura de información que es transportada a través de una ONNI. Los índices n y m definen el número de longitudes de onda y de velocidades binarias sustentadas en la interfaz, según se define a continuación. Se definen dos estructuras OTM:

3.12.1 OTM con funcionalidad completa (OTM-n.m): El OTM-n.m consta de hasta n canales ópticos multiplexados y una señal de tara de OTM para sustentar la tara no asociada.

Es la estructura de información utilizada para sustentar conexiones de capa de sección de transmisión óptica (OTS) en la OTN. La información característica de la capa de sección de transmisión óptica (OTS_CI) consta de la cabida útil de información (OTS_CI_PLD) y los campos de información de tara de sección de transmisión óptica (OTS_CI_OH). Los campos de información de tara de sección de transmisión óptica (OTS_OH) están contenidos dentro de la estructura de información de la señal de tara (OOS) del OTM. El orden de un OTM-n se define por el orden de la OMU-n que sustenta.

3.12.2 OTM con funcionalidad reducida (OTM-0.m, OTM-nr.m): El OTM-0 consta de un canal óptico único sin un color específico asignado. El OTM-nr.m consta de hasta n canales ópticos multiplexados. No se sustenta tara no asociada.

El OTM-nr.m/OTM-0 es la estructura de información utilizada para sustentar conexiones de capa de sección física óptica (OPS, *optical physical section*) en la OTN. La información característica de la capa de sección física óptica (OPS_CI, *optical physical section – characteristic information*) consta de la cabida útil de información (OPS_CI_PLD, *payload*). No se sustenta tara no asociada. El orden de un OTM-nr es definido por el orden de la OCG-nr que sustenta.

Obsérvese que, en la primera versión de esta Recomendación, todas las interfaces normalizadas IrDI eran interfaces con funcionalidad reducida. Se definen OTM-0 y OTM-16r.

3.13 n: El índice "n" se utiliza para representar el orden de la OTM, OTS, OMS, OPS, OCG, OMU. n representa el número máximo de longitudes de onda que se pueden sustentar a la mínima velocidad binaria sustentada por la longitud de onda. Es posible que se sustente un número reducido de longitudes de onda de velocidad binaria más elevada. n = 0 representa el caso de un canal único sin un color específico asignado al canal.

3.14 r: El índice "r", si está presente, se utiliza para indicar una funcionalidad reducida OTM, OCG, OCC y OCh (no se sustenta la tara no asociada). Obsérvese que para n = 0 no se requiere el índice r, ya que implica siempre funcionalidad reducida.

3.15 m: El índice "m" se utiliza para representar la velocidad binaria o el conjunto de velocidades binarias sustentadas en la interfaz. Consta de uno o más dígitos "k", donde cada "k" representa una determinada velocidad binaria. Los valores válidos para m son (1, 2, 3, 12, 123, 23).

3.16 k: El índice "k" se usa para representar una velocidad binaria sustentada y las diferentes versiones de OPUk, ODUk y OTUk. k = 1 representa una velocidad binaria aproximada de 2,5 Gbit/s, k = 2 representa una velocidad binaria aproximada de 10 Gbit/s, y k = 3 representa una velocidad binaria aproximada de 40 Gbit/s.

3.17 canal óptico (OCh[r]): El OCh es la estructura de información utilizada para sustentar el camino de OCh. Se definen dos estructuras OCh.

Las señales de cliente OCh definidas en la presente Recomendación son las señales OTUk. El OTM puede sustentar otras señales de cliente digitales (por ejemplo, STM-n, GbE).

NOTA – Pueden ser necesarias características adicionales del OCh para diferenciar una señal OCh (por ejemplo, que transporta un OTU1) de otra señal OCh (por ejemplo, que transporta un OTU2 o GbE). Esto se deja para ulterior estudio.

3.17.1 canal óptico con funcionalidad completa (OCh): El OCh es una estructura de información que consta de la cabida útil de información (OCh_PLD), con una cierta anchura de banda y una tara no asociada (OCh_OH) para la gestión del canal óptico.

3.17.2 canal óptico con funcionalidad reducida (OChr): El OChr es una estructura de información que consta de la cabida útil de información (OCh_PLD) con una cierta anchura de banda. No se sustenta tara no asociada.

3.18 unidad k de transporte de canal óptico (OTUk[V]): La OTUk es la estructura de información utilizada para transportar una ODUk por una o más conexiones de canal óptico. Consiste en la unidad de datos de canal óptico y la tara relacionada con OTUk (FEC y tara para gestión de una conexión de canal óptico). Se caracteriza por su estructura de trama, velocidad binaria y anchura de banda. Se definen capacidades OTUk para k = 1, k = 2, k = 3.

Se definen dos versiones de la OTUk:

3.18.1 OTUk completamente normalizada (OTUk): La OTUk completamente normalizada se utiliza en OTM IrDI y se puede utilizar en OTM IaDI.

3.18.2 OTUk funcionalmente normalizada (OTUkV): La OTUk parcialmente normalizada se utiliza en OTM IaDI.

3.19 unidad k de datos de canal óptico (ODUk): La ODUk es una estructura de información que consta de la cabida útil de información (OPUk) y la tara relacionada con ODUk. Se definen capacidades ODUk para $k = 1$, $k = 2$, $k = 3$.

3.19.1 trayecto ODUk (ODUkP): El trayecto k de la unidad de datos de canal óptico (ODUkP) es la estructura de información utilizada para sustentar el trayecto ODUk de extremo a extremo.

3.19.2 ODUk TCM (ODUkT): El TCM k de la unidad de datos de canal óptico (ODUkT) es la estructura de información utilizada para sustentar los caminos TCM. Se sustentan hasta 6 subcapas TCM.

3.20 unidad k de cabida útil de canal óptico (OPUk): La OPUk es la estructura de información utilizada para adaptar la información de cliente para el transporte por un canal óptico. Comprende información de cliente junto con cualquier tara necesaria para efectuar la adaptación de velocidad entre la velocidad de señal de cliente y la velocidad de cabida útil de OPUk, y otra tara de OPUk que sustenta el transporte de señal de cliente. Esta tara es específica de la adaptación. Se definen capacidades OPUk para $k = 1$, $k = 2$, $k = 3$.

3.21 portadora de canal óptico (OCC[r]): La portadora de canal óptico representa un intervalo afluente dentro de OTM-n. Se definen dos estructuras OCC:

NOTA – Pueden ser necesarias características adicionales del OCC para diferenciar un intervalo afluente OCC (por ejemplo, un intervalo capaz de transportar una OTU1) de otro intervalo afluente OCC (por ejemplo, un intervalo capaz de transportar una OTU3). Esto se deja para ulterior estudio.

3.21.1 OCC con funcionalidad completa (OCC): El OCC consta de la cabida útil de OCC (OCCp) y la tara de OCC (OCCo). La OCCp transporta la OCh_CI_PLD y está asignada a un intervalo de longitud de onda/frecuencia del grupo WDM. La OCCo transporta la OCh_CI_OH y es transportada dentro de la estructura de información OOS.

3.21.2 OCC con funcionalidad reducida (OCCr): El OCC consta de la cabida útil OCC (OCCp). La OCCp transporta la OCh_CI_PLD y está asignada a un intervalo de longitud de onda/frecuencia del grupo WDM. No se sustenta tara no asociada.

3.22 Grupo de portadoras ópticas de orden n (OCG-n[r]): n portadoras de canal óptico que ocupan posiciones fijas definidas en una cabida útil OTM se denominan un grupo de portadoras ópticas (OCG[r]). Se definen dos estructuras OCG:

3.22.1 OCG con funcionalidad completa (OCG-n): El OCG-n consta de hasta n cabida útil de OCC (OCCp) y tara de OCC (OCCo).

3.22.2 OCG con funcionalidad reducida (OCG-nr): El OCG-nr consta de hasta n cabida útil OCC (OCCp). No se sustenta tara no asociada.

3.23 unidad múltiplex óptica (OMU-n, $n \geq 1$): La OMU-n es la estructura de información utilizada para sustentar conexiones de capa de sección múltiplex óptica (OMS) en la OTN. La información característica de la capa de sección múltiplex óptica (OMS_CI) consta de la cabida útil de información (OMS_CI_PLD) y los campos de información de tara de sección múltiplex óptica (OMS_CI_OH). El OMS_CI_PLD consta de la cabida útil OCG-n. La OMS_CI_OH consta de la tara OCG-n y la tara específica de OMS, y se transporta dentro de la estructura de información OOS. El orden de la OMU se define por el orden del OCG que sustenta.

3.24 sección física óptica de orden n (OPSn): Red de capa que proporciona funcionalidad para la transmisión de una señal óptica de múltiples longitudes de onda por medios ópticos de distintos tipos (por ejemplo, fibra G.652, G.653 y G.655). Obsérvese que una señal de "múltiples longitudes de onda" incluye el caso de un único canal óptico.

Combina la funcionalidad de transporte de las redes de capa OMS y OTS, sin su información de supervisión. Se definen capacidades OPSn para $n = 0$ y $n = 16$.

3.25 interfaz de nodo de red de transporte óptica (ONNI, *optical transport network node interface*): Interfaz en un nodo de red de transporte óptica que se utiliza para interconectar con otro nodo de red de transporte óptica.

3.26 señal de tara de módulo de transporte óptico (OOS, *OTM overhead signal*): La OOS es la estructura de información utilizada para transportar tara no asociada con OTM por el canal de supervisión óptico. La tara no asociada consta de la tara de sección de transmisión óptica, la tara de sección múltiplex óptica y la tara no asociada de canal óptico. Se caracteriza por su estructura de trama, velocidad binaria y anchura de banda.

3.27 canal de supervisión óptico (OSC, *optical supervisory channel*): Portadora física fuera de la banda del amplificador que proporciona el transporte de la señal de tara de OTM.

3.28 jerarquía de transporte óptica (OTH, *optical transport hierarchy*): La OTH es un conjunto jerárquico de estructuras de transporte digitales, normalizadas para transportar cabidas útiles adaptadas adecuadamente por redes de transmisión ópticas.

3.29 multiplexión de jerarquía de transporte óptica: Procedimiento para multiplexar canales ópticos.

3.30 tara no asociada (naOH, *non-associated overhead*): Información de supervisión transportada en una OOS.

3.31 activación/desactivación intrascendente de un monitor de conexión: Se aplica a los TC-CMEP. Por intrascendente ha de entenderse que se puede establecer/liberar una supervisión de conexión (CM) entre dos TC-CMEP sin afectar los datos de cabida útil, o cualquier información de tara no conexas. Por consiguiente, las funciones de gestión no conexas tampoco son afectadas. Más específicamente, las CM previamente establecidas no reflejarán condiciones de error transitorias o estadísticas como resultado directo de la activación/desactivación de la CM nueva/antigua.

3.32 CBR2G5: Señal de velocidad binaria constante de 2 488 320 kbit/s \pm 20 ppm. Un ejemplo de ésta es una señal STM-16.

3.33 CBR10G: Señal de velocidad binaria constante de 9 953 280 kbit/s \pm 20 ppm. Un ejemplo de ésta es una señal STM-64.

3.34 CBR40G: Señal de velocidad binaria constante de 39 813 120 kbit/s \pm 20 ppm. Un ejemplo de ésta es una señal STM-256.

3.35 punto extremo de supervisión de conexión (CMEP, *connection monitoring end point*): Los puntos extremos de supervisión de conexión representan puntos extremos de caminos y, como tales, se corresponden con las funciones de terminación de camino. La tara de supervisión de conexión (CMOH) se inserta y extrae en los CMEP.

A los efectos de los OCh, los CMEP se dividen en tres clases:

- CMEP de sección óptica de OCh (OS_CMEP), que representa los puntos extremos del camino OTUk. El campo de tara SM (véanse las figuras 15-9 y 15-10) contiene el CMOH conexo.
- CMEP de conexión en cascada OCh (TC_CMEP), que representa los puntos extremos de los caminos ODUkT. Los campos de tara TCM1..6 (véanse las figuras 15-12 y 15-13) contienen el CMOH conexo.
- CMEP de trayecto de OCh (P_CMEP), que representa los puntos extremos del camino ODUkP. El campo de tara PM (véanse las figuras 15-12 y 15-14) contiene el CMOH conexo.

4 Abreviaturas

En esta Recomendación se utilizan las siguientes siglas.

0xYY	YY es un valor en presentación hexadecimal
3R	Reamplificación, reconformación y retemporización
ACT	Activación (en el byte TCM ACT)
AI	Información adaptada (<i>adapted information</i>)
AIS	Señal de indicación de alarma (<i>alarm indication signal</i>)
APS	Conmutación automática de protección (<i>automatic protection switching</i>)
BDI	Indicación de defecto hacia atrás (<i>backward defect indication</i>)
BDI-O	Tara de indicación de defecto hacia atrás (<i>backward defect indication overhead</i>)
BDI-P	Cabida útil de indicación de defecto hacia atrás (<i>backward defect indication payload</i>)
BEI	Indicación de error hacia atrás (<i>backward error indication</i>)
BI	Indicación hacia atrás (<i>backward indication</i>)
BIP	Paridad de entrelazado de bits (<i>bit interleaved parity</i>)
CBR	Velocidad binaria constante (<i>constant bit rate</i>)
CI	Información característica (<i>characteristic information</i>)
CM	Supervisión de conexión (<i>connection monitoring</i>)
CMEP	Punto extremo de supervisión de conexión (<i>connection monitoring end point</i>)
CMOH	Tara de supervisión de conexión (<i>connection monitoring overhead</i>)
DAPI	Identificador de punto de acceso de destino (<i>destination access point identifier</i>)
EDC	Código de detección de errores (<i>error detection code</i>)
EXP	Experimental
ExTI	Identificador de traza esperado (<i>expected trace identifier</i>)
FAS	Señal de alineación de trama (<i>frame alignment signal</i>)
FDI	Indicación de defecto hacia adelante (<i>forward defect indication</i>)
FDI-O	Tara de indicación de defecto hacia adelante (<i>forward defect indication overhead</i>)
FDI-P	Cabida útil de indicación de defecto hacia adelante (<i>forward defect indication payload</i>)
FEC	Corrección de errores en recepción (<i>forward error correction</i>)
GCC	Canal de comunicación general (<i>general communication channel</i>)
IaDI	Interfaz intradominio (<i>intra-domain interface</i>)
IAE	Error de alineación entrante (<i>incoming alignment error</i>)
IrDI	Interfaz interdominios (<i>inter-domain interface</i>)
LSB	Bit menos significativo (<i>least significant bit</i>)
MFAS	Señal de alineación de multitrama (<i>multiframe alignment signal</i>)
MS	Señal de mantenimiento (<i>maintenance signal</i>)
MSB	Bit más significativo (<i>most significant bit</i>)

naOH	Tara no asociada (<i>non-associated overhead</i>)
NNI	Interfaz de nodo de red (<i>network node interface</i>)
OCC	Portadora de canal óptico (<i>optical channel carrier</i>)
OCCo	Portadora de canal óptico-tara (<i>optical channel carrier – overhead</i>)
OCCp	Portadora de canal óptico-cabida útil (<i>optical channel carrier – payload</i>)
OCCr	Portadora de canal óptico con funcionalidad reducida (<i>optical channel carrier with reduced functionality</i>)
OCG	Grupo de portadoras ópticas (<i>optical carrier group</i>)
OCGr	Grupo de portadoras ópticas con funcionalidad reducida (<i>optical carrier group with reduced functionality</i>)
OCh	Canal óptico con funcionalidad completa (<i>optical channel with full functionality</i>)
OChr	Canal óptico con funcionalidad reducida (<i>optical channel with reduced functionality</i>)
OCI	Indicación de conexión abierta (<i>open connection indication</i>)
ODU	Unidad de datos de canal óptico (<i>optical channel data unit</i>)
ODUk	Unidad k de datos de canal óptico (<i>optical channel data unit-k</i>)
OH	Tara (<i>overhead</i>)
OMS	Sección múltiplex óptica (<i>optical multiplex section</i>)
OMS-OH	Tara de sección múltiplex óptica (<i>optical multiplex section overhead</i>)
OMU	Unidad múltiplex óptica (<i>optical multiplex unit</i>)
ONNI	Interfaz de nodo de red óptica (<i>optical network node interface</i>)
OOS	Señal de tara de modo de transporte óptico (<i>OTM overhead signal</i>)
OPS	Sección física óptica (<i>optical physical section</i>)
OPU	Unidad de cabida útil de canal óptico (<i>optical channel payload unit</i>)
OPUk	Unidad k de cabida útil de canal óptico (<i>optical channel payload unit-k</i>)
OSC	Canal de supervisión óptico (<i>optical supervisory channel</i>)
OTH	Jerarquía de transporte óptica (<i>optical transport hierarchy</i>)
OTM	Módulo de transporte óptico (<i>optical transport module</i>)
OTN	Red de transporte óptica (<i>optical transport network</i>)
OTS	Sección de transmisión óptica (<i>optical transmission section</i>)
OTS-OH	Tara de sección de transmisión óptica (<i>optical transmission section overhead</i>)
OTU	Unidad de transporte de canal óptico (<i>optical channel transport unit</i>)
OTUk	Unidad k de transporte de canal óptico completamente normalizada (<i>completely standardized optical channel transport unit-k</i>)
OTUkV	Unidad k de transporte de canal óptico funcionalmente normalizada (<i>functionally standardized optical channel transport unit-k</i>)
PCC	Canal de comunicación de protección (<i>protection communication channel</i>)
PLD	Cabida útil (<i>payload</i>)
PM	Supervisión de trayecto (<i>path monitoring</i>)

PMI	Indicación de ausencia de cabida útil (<i>payload missing indication</i>)
PMOH	Tara de supervisión de trayecto (<i>path monitoring overhead</i>)
ppm	Partes por millón
PRBS	Secuencia binaria pseudoaleatoria (<i>pseudo random binary sequence</i>)
PSI	Identificador de estructura de cabida útil (<i>payload structure identifier</i>)
PT	Tipo de cabida útil (<i>payload type</i>)
RES	Reservado para una futura normalización internacional
RS	Reed-Solomon
SAPI	Identificador de punto de acceso de origen fuente (<i>source access point identifier</i>)
Sk	Sumidero (<i>sink</i>)
SM	Supervisión de sección (<i>section monitoring</i>)
SMOH	Tara de supervisión de sección (<i>section monitoring overhead</i>)
So	Fuente (<i>source</i>)
TC	Conexión en cascada (<i>tandem connection</i>)
TCM	Supervisión de conexión en cascada (<i>tandem connection monitoring</i>)
TCMOH	Tara de supervisión de conexión en cascada (<i>tandem connection monitoring overhead</i>)
TxTI	Identificador de traza transmitido (<i>transmitted trace identifier</i>)
UNI	Interfaz usuario-red (<i>user-to-network interface</i>)

5 Convenios

La arquitectura funcional de la red de transporte óptica, según se especifica en UIT-T G.872, es utilizada para deducir la ONNI. La ONNI se especifica en función de la información adaptada y característica presente en cada capa, según se describe en UIT-T G.805.

Orden de transmisión: El orden de transmisión de información en todos los diagramas de la presente Recomendación es primero de izquierda a derecha y después de arriba a abajo. En cada octeto, el bit más significativo se transmite primero. El bit más significativo (bit 1) aparece a la izquierda en todos los diagramas.

Valor de bit(s) reservado(s): El valor de un bit de tara, que está reservado o reservado para normalización internacional futura, se pondrá a "0".

Valor de bit(s) no proveniente(s) de una fuente: A menos que se indique otra cosa, cualquier bit no proveniente de una fuente se pondrá a "0".

Asignación de tara de OTUk, ODUk y OPUk: La asignación de tara, a cada parte, en la señal de unidad de transporte/datos/cabida útil de canal óptico se define en la figura 5-1.

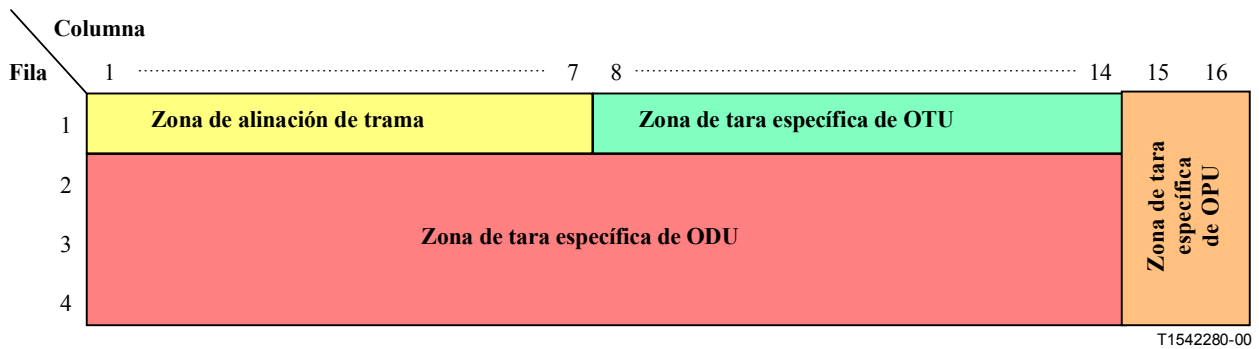


Figura 5-1/G.709/Y.1331 – Tara de OTUk, ODUk y OPUk

6 Estructura de la interfaz de la red de transporte óptica

La red de transporte óptica especificada en UIT-T G.872 define dos clases de interfaz:

- interfaz interdominios (IrDI);
- interfaz intradominio (IaDI).

Las interfaces IrDI de OTN se definen con procesamiento 3R en cada extremo de la interfaz.

El módulo de transporte óptico n (OTM-n) es la estructura de información utilizada para sustentar las interfaces OTN. Se definen dos estructuras OTM-n:

- interfaces OTM con funcionalidad completa (OTM-n.m);
- interfaces OTM con funcionalidad reducida (OTM-0.m, OTM-nr.m).

Las interfaces OTM con funcionalidad reducida se definen con procesamiento 3R en cada extremo de la interfaz, a fin de sustentar la clase de interfaz OTN IrDI.

6.1 Estructura de señal básica

La estructura básica se muestra en la figura 6-1.

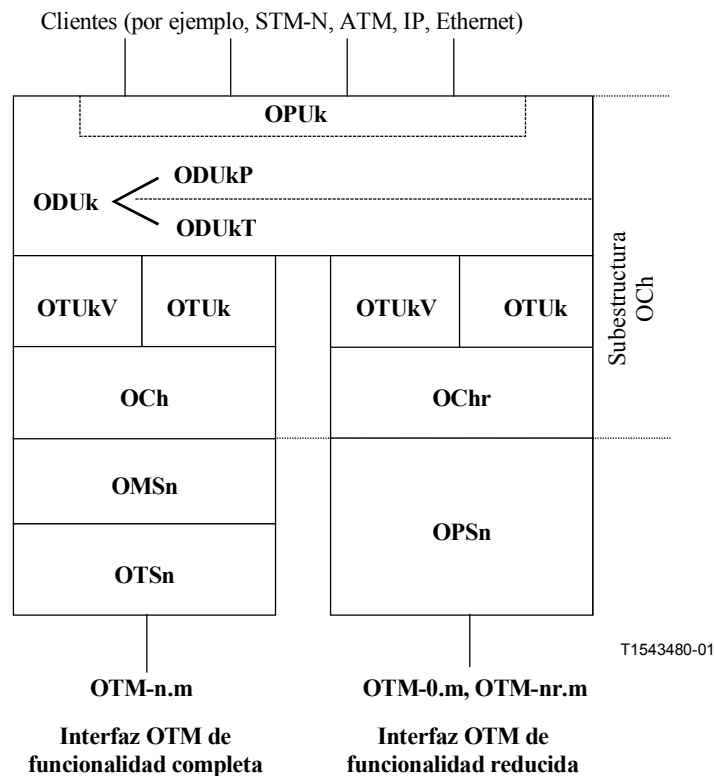


Figura 6-1/G.709/Y.1331 – Estructura de las interfaces de OTN

6.1.1 Subestructura de OCh

La capa de canal óptico definida en UIT-T G.872 está estructurada además en redes de capas a fin de sustentar la gestión de red y las funcionalidades de supervisión definidas en UIT-T G.872:

- El canal óptico con funcionalidad completa (OCh) o reducida (OChr), que proporciona conexiones de red transparentes entre puntos de regeneración 3R de la OTN.
- La unidad de transporte de canal óptico completa o funcionalmente normalizada (OTU_k/OTU_kV), que proporciona la supervisión y acondiciona la señal para su transporte entre puntos de regeneración 3R de la OTN.
- La unidad de datos de canal óptico (ODU_k) que proporciona:
 - supervisión de conexión en cascada (ODU_kT);
 - supervisión de trayecto de extremo a extremo (ODU_kP); y
 - adaptación de señales de cliente por intermedio de la unidad de cabida útil de canal óptico (OPU_k).

6.1.2 Estructura de funcionalidad completa OTM-n.m (n ≥ 1)

El OTM-n.m (n ≥ 1) consta de las siguientes capas:

- sección de transmisión óptica (OTSn);
- sección múltiplex óptica (OMSn);
- canal óptico con funcionalidad completa (OCh);

- unidad de transporte de canal óptico completa o funcionalmente normalizada (OTUk/OTUkV);
- unidad de datos de canal óptico (ODUk).

6.1.3 Estructuras OTM-nr.m y OTM-0.m con funcionalidad reducida

El OTM-nr.m y el OTM-0.m constan de las siguientes capas:

- sección física óptica (OPSn);
- canal óptico con funcionalidad reducida (OChr);
- unidad de transporte de canal óptico completa o funcionalmente normalizada (OTUk/OTUkV);
- unidad de datos de canal óptico (ODUk).

6.2 Estructura de información para interfaces OTN

La estructura de información para interfaces OTN es representada por las relaciones de contenimiento y flujos de información. Las principales relaciones de contenimiento de información se describen en las figuras 6-2, 6-3 y 6-4. Los flujos de información se muestran en la figura 6-5.

Con propósitos de supervisión en la OTN, se termina la señal OTUk/OTUkV cuando se termina la señal OCh.

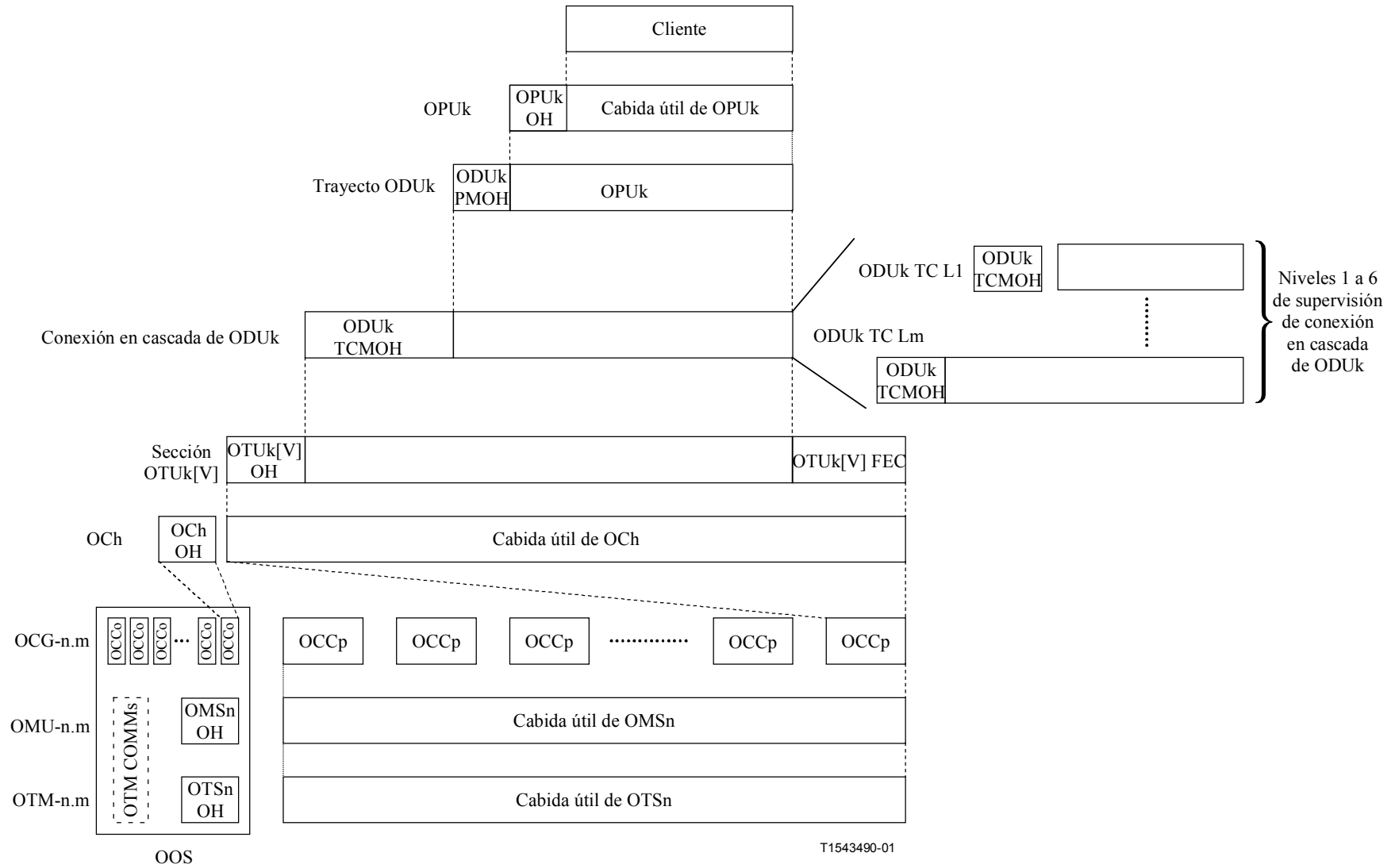


Figura 6-2/G.709/Y.1331 – Principales relaciones de contención de información de OTM-n.m

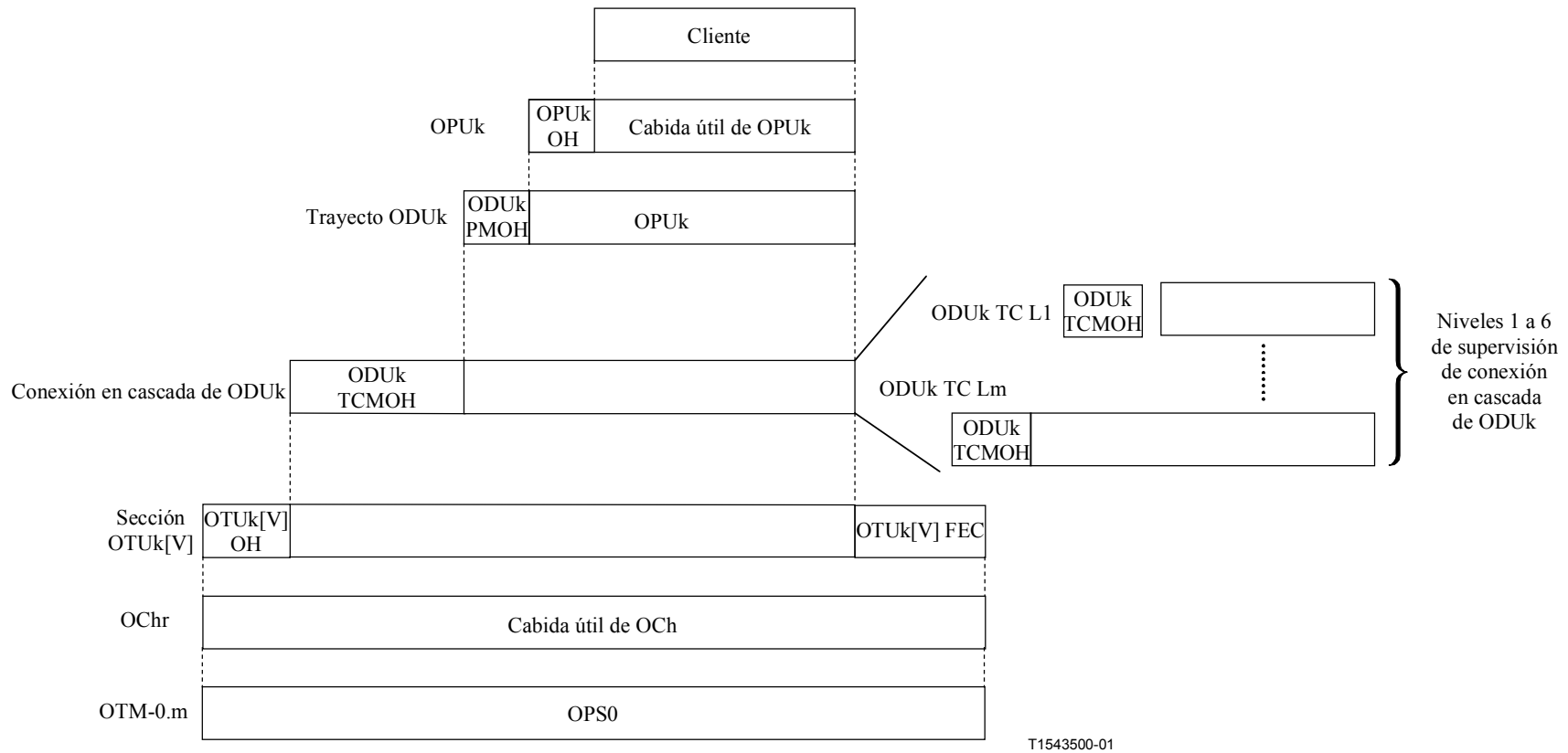
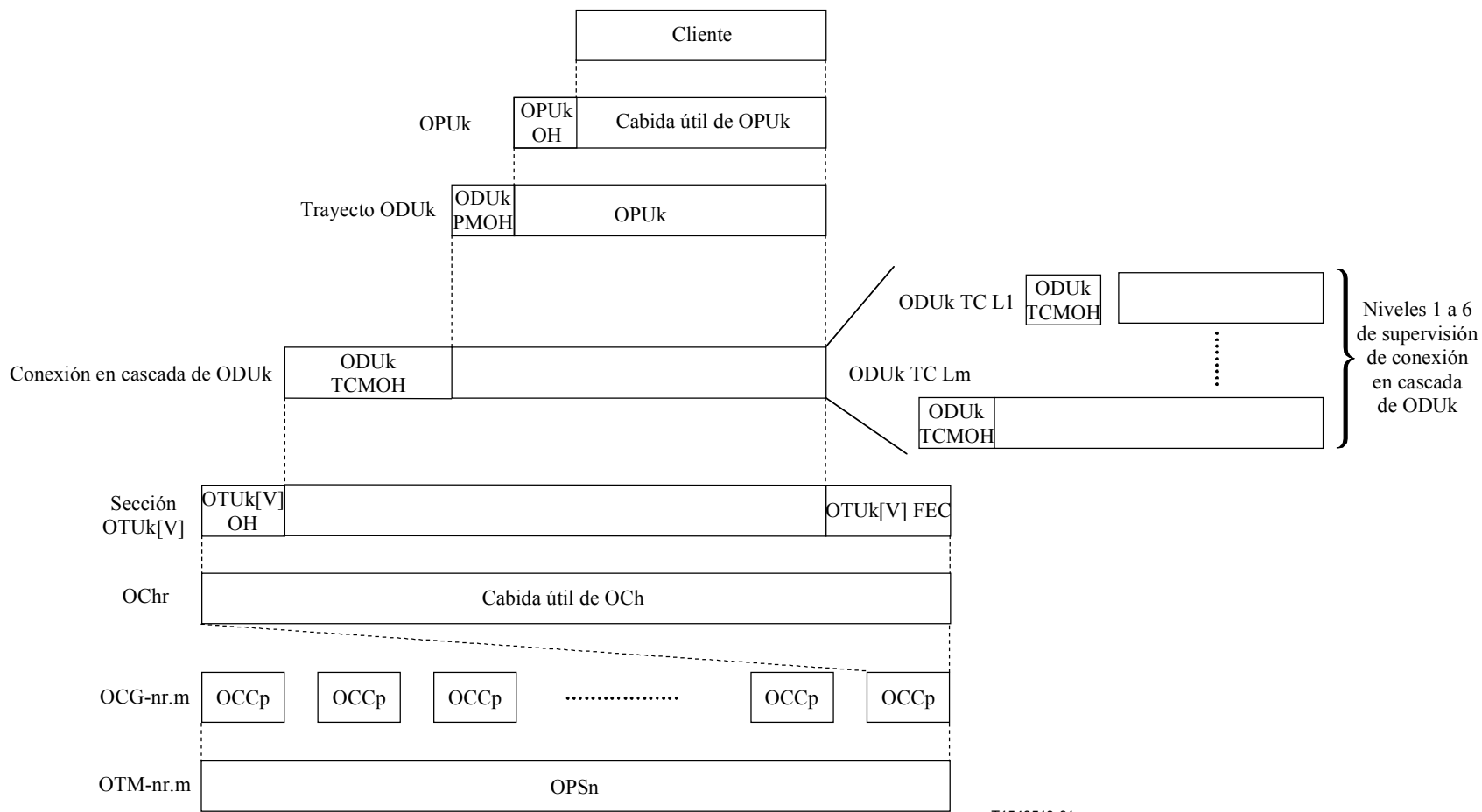
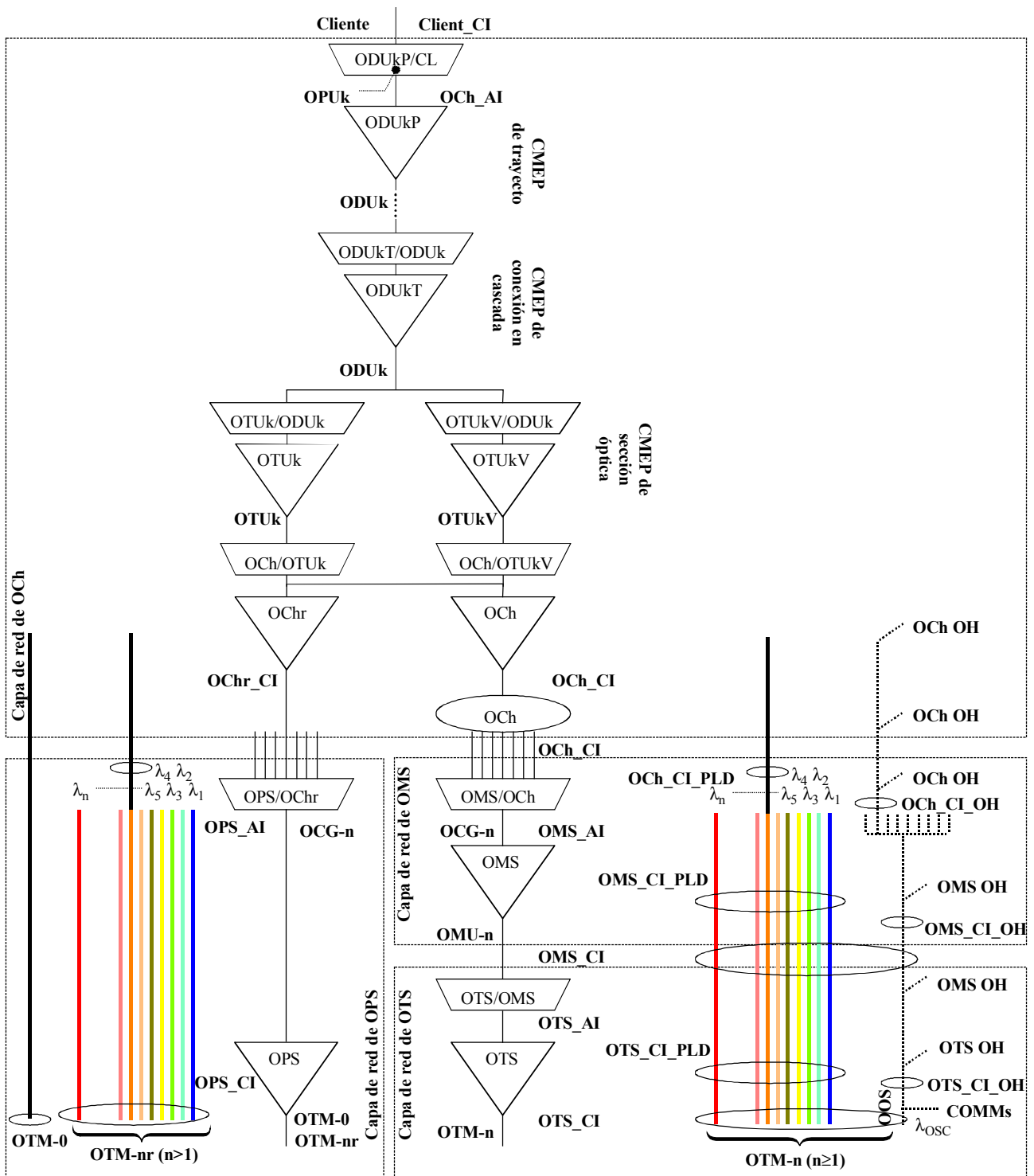


Figura 6-3/G.709/Y.1331 – Principales relaciones de contención de información de OTM-0.m



T1543510-01

Figura 6-4/G.709/Y.1331 – Principales relaciones de contención de información de OTM-nr.m



NOTA – El modelo de esta figura sólo tiene fines ilustrativos. λ representa una longitud de onda óptica.

T1543520-01

Figura 6-5/G.709/Y.1331 – Ejemplo de relación de flujos de información

7 Principios de multiplexión/correspondencia y velocidades binarias

La figura 7-1 muestra la relación entre diversos elementos de estructura de información e ilustra la estructura de multiplexión y correspondencias para el OTM-n.

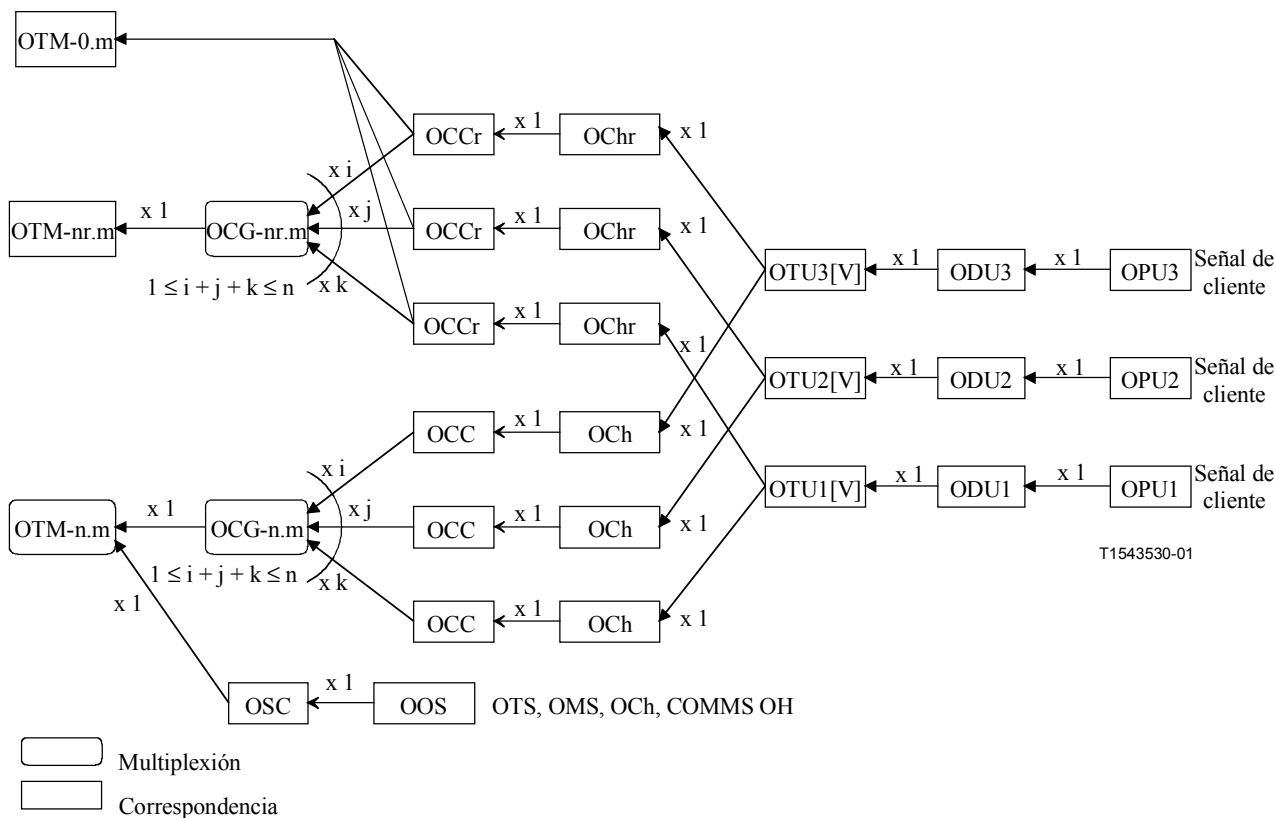


Figura 7-1/G.709/Y.1331 – Multiplexión de OTM y estructuras de correspondencia

Las taras de OTS, OMS, OCh y COMMS se insertan en la OOS utilizando técnicas de correspondencia y multiplexión que están fuera del ámbito de la presente Recomendación.

7.1 Correspondencia

La señal de cliente se hace corresponder a la OPU_k. La OPU_k se hace corresponder a la ODU_k y la ODU_k se hace corresponder a una OTU_k[V]. La OTU_k[V] se hace corresponder a un OCh[r] y el OCh[r] es modulado en una OCC[r].

7.2 Múltiplex por división de longitud de onda

Hasta n ($n \geq 1$) OCC[r] son multiplexados en un OCG-n[r].m mediante el procedimiento de multiplexión por división de longitud de onda. Los intervalos afluentes OCC[r] de OCG-n[r].m pueden tener distintos tamaños.

El OCG-n[r].m es transportado por el OTM-n[r].m. En el caso de las interfaces OTM-n.m con funcionalidad completa, el OSC se multiplexa en el OTM-n.m mediante el procedimiento de multiplexión por división de longitud de onda.

7.3 Velocidades binarias y capacidad

Las velocidades binarias y capacidad de las señales OTU_k se definen en el cuadro 7-1.

Las velocidades binarias y capacidad de las señales ODU_k se definen en el cuadro 7-2.

Las velocidades binarias y capacidad de la cabida útil OPU_k se definen en el cuadro 7-3.

Los periodos de trama OTU_k/ODU_k/OPU_k se definen en el cuadro 7-4.

Cuadro 7-1/G.709/Y.1331 – Tipos y capacidad de OTU

Tipo de OTU	Velocidad binaria nominal de OTU	Tolerancia de velocidad binaria de OTU
OTU1	255/238 × 2 488 320 kbit/s	±20 ppm
OTU2	255/237 × 9 953 280 kbit/s	
OTU3	255/236 × 39 813 120 kbit/s	
NOTA – Las velocidades nominales de OTUk son aproximadamente: 2 666 057,143 kbit/s (OTU1), 10 709 225,316 kbit/s (OTU2) y 43 018 413,559 kbit/s (OTU3).		

Cuadro 7-2/G.709/Y.1331 – Tipos y capacidad de ODU

Tipo de ODU	Velocidad binaria nominal de ODU	Tolerancia de velocidad binaria de ODU
ODU1	239/238 × 2 488 320 kbit/s	±20 ppm
ODU2	239/237 × 9 953 280 kbit/s	
ODU3	239/236 × 39 813 120 kbit/s	
NOTA – Las velocidades nominales de ODUk son aproximadamente: 2 498 775,126 kbit/s (ODU1), 10 037 273,924 kbit/s (ODU2) y 40 319 218,983 kbit/s (ODU3).		

Cuadro 7-3/G.709/Y.1331 – Tipos y capacidad de OPU

Tipo de OPU	Velocidad binaria nominal de cabida útil de OPU	Tolerancia de velocidad binaria de OPU
OPU1	2 488 320 kbit/s	±20 ppm
OPU2	238/237 × 9 953 280 kbit/s	
OPU3	238/236 × 39 813 120 kbit/s	
NOTA – Las velocidades nominales de cabida útil de OPUk son aproximadamente: 2 488 320,000 kbit/s (Cabida útil OPU1), 9 995 276,962 kbit/s (Cabida útil OPU2) y 40 150 519,322 kbit/s (Cabida útil OPU3).		

Cuadro 7-4/G.709/Y.1331 – Periodos de trama de OTUk/ODUk/OPUk

Tipo OTU/ODU/OPU	Periodo (nota)
OTU1/ODU1/OPU1	48,971 μs
OTU2/ODU2/OPU2	12,191 μs
OTU3/ODU3/OPU3	3,035 μs
NOTA – El periodo es un valor aproximado, redondeado a tres cifras.	

8 Módulo de transporte óptico (OTM-n.m, OTM-nr.m, OTM-0.m)

Se definen dos estructuras OTM, una con funcionalidad completa y una con funcionalidad reducida. En la actualidad, para la IrDI sólo hay definidas interfaces OTM de funcionalidad reducida. Otras IrDI para OTM con funcionalidad completa o reducida quedan en estudio.

8.1 OTM con funcionalidad reducida (OTM-0.m, OTM-nr.m)

El OTM-n soporta n canales ópticos sobre un tramo óptico único con regeneración 3R y terminación de la OTUk[V] en cada extremo. Como la regeneración 3R se lleva a cabo en ambos lados de las interfaces OTM-0.m y OTM-nr.m, la tara OTUk[V] es accesible y se proporciona mantenimiento/supervisión de la interfaz por medio de esta tara. Por lo tanto, no se requiere tara OTN no asociada a través de las interfaces OTM-0.m y OTM-nr.m, y no se sustenta un OSC/OOS.

Se definen dos clases de interfaces OTM de funcionalidad reducida, OTM-0.m y OTM-16r.m. Otras clases de interfaz de funcionalidad reducida son para ulterior estudio.

8.1.1 OTM-0.m

El OTM-0.m soporta un canal óptico no de color por un tramo óptico único con regeneración 3R en cada extremo.

Se definen tres señales de interfaz OTM-0.m (figura 8-1), cada una de las cuales transporta una señal de canal óptico único que contiene una señal OTUk[V]:

- OTM-0.1 (que transporta una OTU1[V]);
- OTM-0.2 (que transporta una OTU2[V]);
- OTM-0.3 (que transporta una OTU3[V]).

En términos genéricos: OTM-0.m.

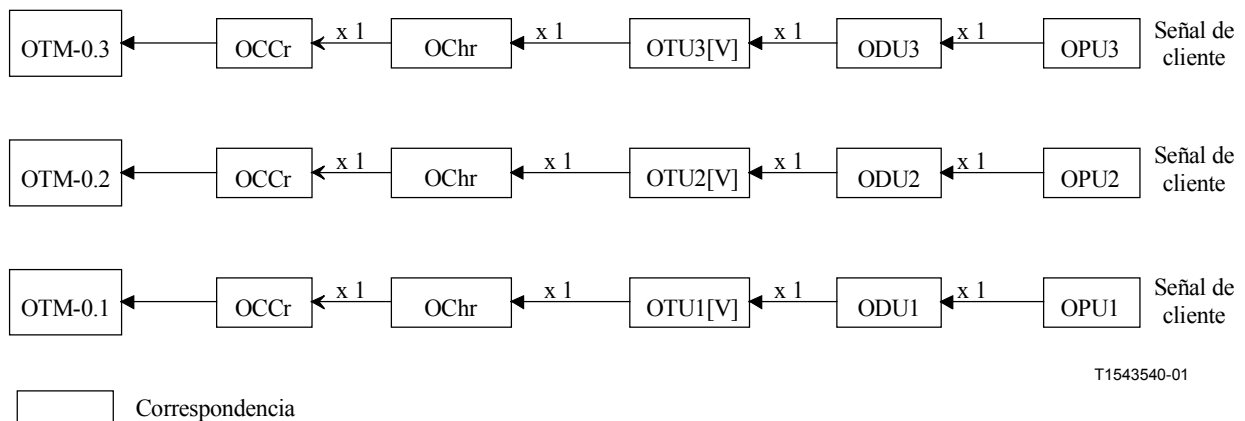


Figura 8-1/G.709/Y.1331 – Estructura de OTM-0.m

La figura 8-1 muestra la relación entre diversos elementos de estructura de información que se definen más adelante, e ilustra posibles correspondencias para OTM-0.m.

No está presente un OSC y tampoco hay OOS.

8.1.2 OTM-16r.m

Este OTM-16r.m soporta 16 canales ópticos en un tramo óptico único con regeneración 3R en cada extremo.

Se definen seis señales de interfaz OTM-16r:

- OTM-16r.1 (que transporta i ($i \leq 16$) señales OTU1[V]);
- OTM-16r.2 (que transporta j ($j \leq 16$) señales OTU2[V]);
- OTM-16r.3 (que transporta k ($k \leq 16$) señales OTU3[V]);
- OTM-16r.123 (que transporta i ($i \leq 16$) OTU1[V], j ($j \leq 16$) señales OTU2[V] y k ($k \leq 16$) OTU3[V] con $i + j + k \leq 16$);
- OTM-16r.12 (que transporta i ($i \leq 16$) OTU1[V] y j ($j \leq 16$) OTU2[V] señales con $i + j \leq 16$);
- OTM-16r.23 (que transporta j ($j \leq 16$) OTU2[V] y k ($k \leq 16$) OTU3[V] señales con $j + k \leq 16$)

identificadas en términos genéricos como OTM-16r.m.

La señal OTM-16r.m es una señal OTM-nr.m con 16 portadoras de canal óptico (OCCr) numeradas de OCCr #0 a OCCr #15 (figura 6-5). No está presente un canal de supervisión óptico (OSC) y tampoco hay OOS.

Por lo menos una de las OCCr está en servicio durante el funcionamiento normal y transporta una OTUk[V].

No hay un orden predefinido para poner en servicio las OCCr.

Las seis señales de interfaz OTM-16r.m definidas y la estructura de multiplexión OTM-16r.m se muestran en la figura 8-2.

NOTA – No se define tara de OPS para el OTM-16r.m. La interfaz utilizará OTUk[V] SMOH en esta interfaz de multilongitud de onda para supervisión y gestión. Los informes de fallo de conectividad (TIM) de OTM-16r.m se calcularán a partir de los informes de OTUk[V] mediante correlación de fallos en la gestión de averías. Para más detalles, véanse las Recomendaciones relativas a equipos.

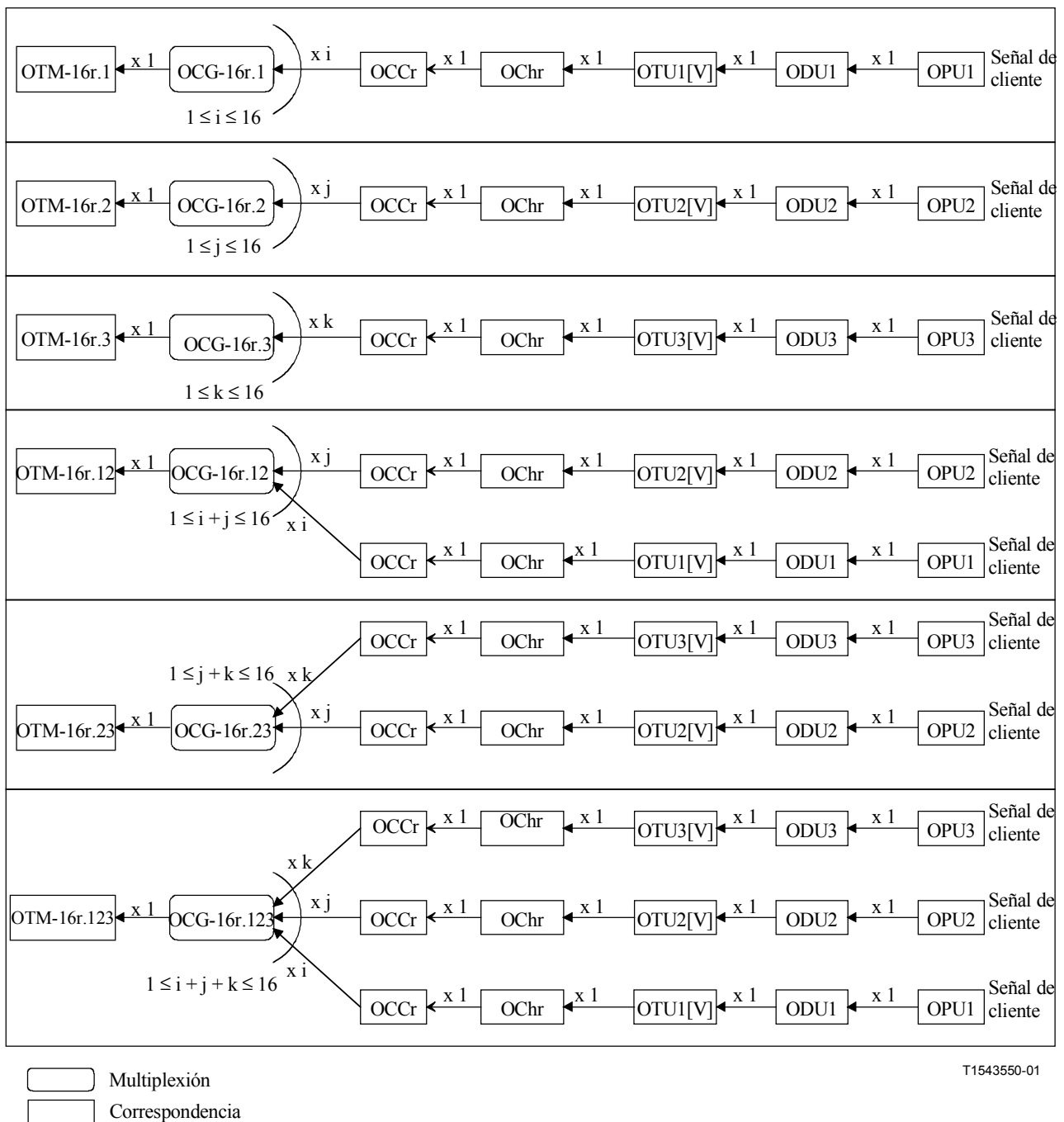


Figura 8-2/G.709/Y.1331 – Estructura de multiplexión OTM-16r.m

8.2 OTM con funcionalidad completa (OTM-n.m)

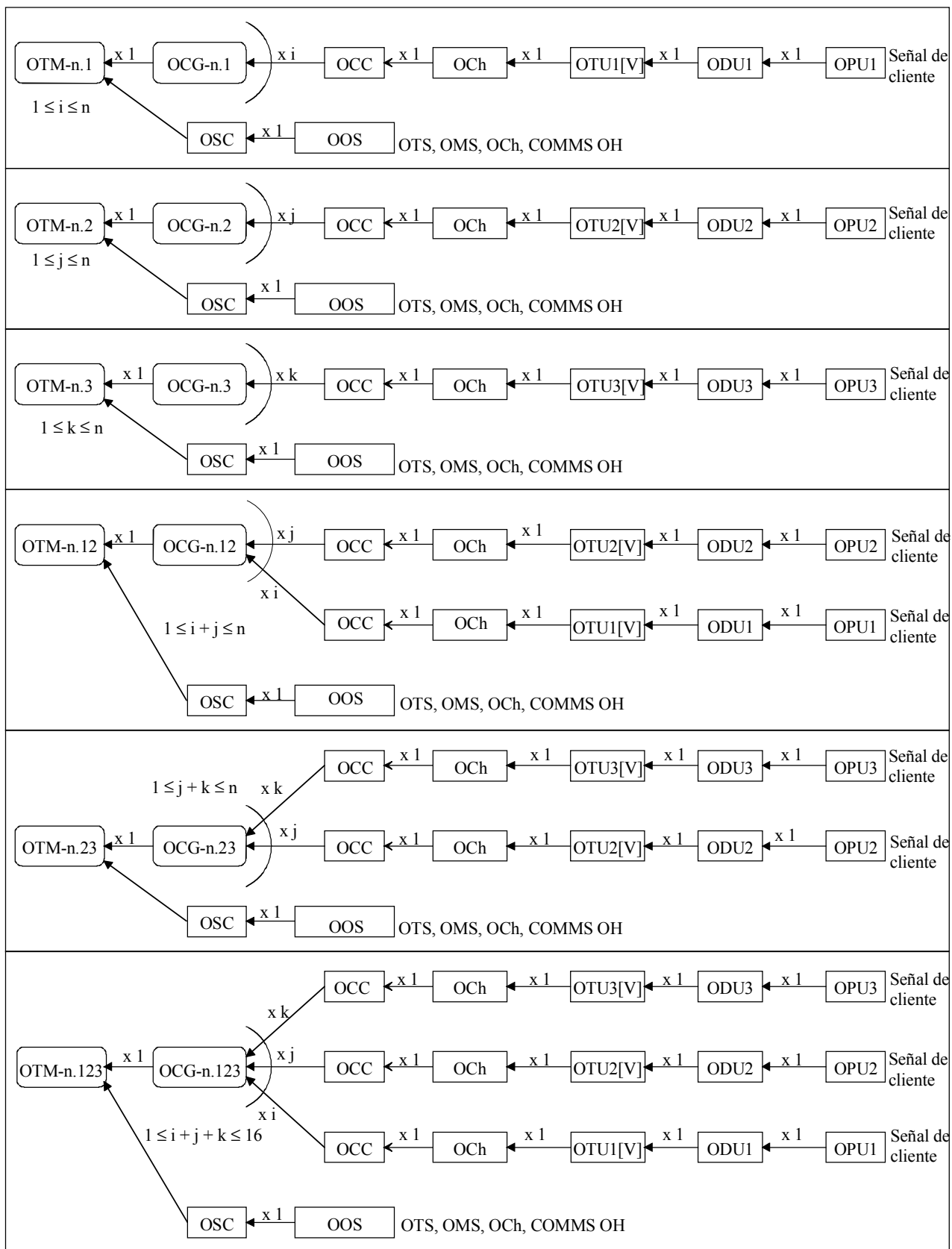
La interfaz OTM-n.m soporta hasta n canales ópticos para tramos ópticos únicos o múltiples. No se requiere regeneración 3R en la interfaz.

Se definen seis señales de interfaz OTM-n:

- OTM-n.1 (que transporta i ($i \leq n$) señales OTU1[V])
- OTM-n.2 (que transporta j ($j \leq n$) señales OTU2[V])
- OTM-n.3 (que transporta k ($k \leq n$) señales OTU3[V])
- OTM-n.123 (que transporta i ($i \leq n$) OTU1[V], j ($j \leq n$) señales OTU2[V] y k ($k \leq n$) OTU3[V] con $i + j + k \leq n$)

- OTM-n.12 (que transporta i ($i \leq n$) OTU1[V] y j ($j \leq n$) OTU2[V] señales con $i + j \leq n$)
 - OTM-n.23 (que transporta j ($j \leq n$) OTU2[V] y k ($k \leq n$) OTU3[V] señales con $j + k \leq n$)
- identificadas en términos genéricos como OTM-n.m.

Una señal de interfaz OTM-n.m contiene hasta "n" OCC asociadas a la velocidad binaria más baja soportada, según indican m y un OSC (figura 8-3). Es posible que se soporte un número reducido de OCC capaces de trabajar a una velocidad binaria más elevada. El valor de "n", "m" y el OSC no se definen en la presente Recomendación.



T1543560-01

Figura 8-3/G.709/Y.1331 – Estructura de multiplexión de OTM-n.m

9 Especificaciones físicas de ONNI

9.1 OTM-0.m

Las especificaciones de las características ópticas físicas de OTM-0.1 y OTM-0.2 están contenidas en UIT-T G.959.1.

Las especificaciones de las características ópticas físicas de OTM-0.3 requieren ulterior estudio.

9.2 OTM-16r.m

Las especificaciones de las características ópticas físicas de OTM-16r.1 y OTM-16r.2 están contenidas en UIT-T G.959.1.

Las especificaciones de las características ópticas físicas de OTM-16r.3, OTM-16r.12, OTM-16r.23 y OTM-16r.123 requieren ulterior estudio.

9.3 OTM-n.m

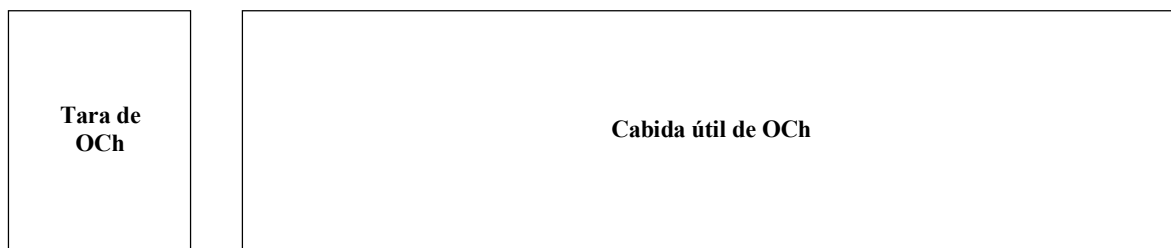
Las especificaciones de las características ópticas físicas de los OTM-n.m son propias de cada proveedor y están fuera del ámbito de esta Recomendación.

10 Canal óptico (OCh)

El OCh transporta una señal de cliente digital entre puntos de regeneración 3R. Las señales de cliente OCh definidas en la presente Recomendación son las señales OTUk. El OTM puede soportar otras señales de cliente digitales (por ejemplo, STM-N, GbE).

10.1 OCh con funcionalidad completa (OCh)

La estructura de canal óptico (OCh) con funcionalidad completa se muestra conceptualmente en la figura 10-1. Consta de dos partes: tara de OCh y cabida útil de OCh.



T1543570-01

Figura 10-1/G.709/Y.1331 – Estructura de información de OCh

10.2 OCh con funcionalidad reducida (OChr)

El canal óptico con estructura de funcionalidad reducida (OChr) se muestra conceptualmente en la figura 10-2. Contiene: Cabida útil de OChr.

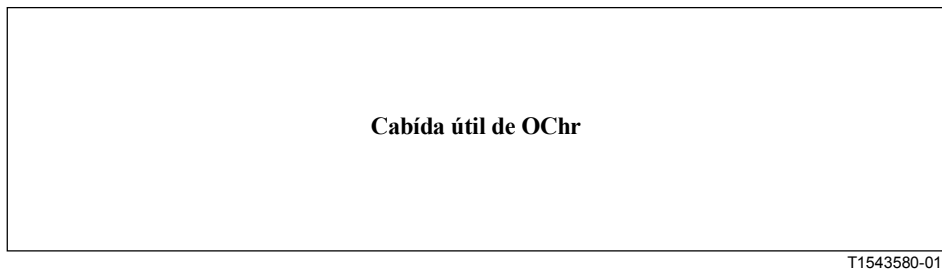


Figura 10-2/G.709/Y.1331 – Estructura de información de OChr

11 Unidad de transporte de canal óptico (OTU)

La OTU_k[V] acondiciona la ODU_k para el transporte por conexiones de red de canal óptico. La estructura de trama de OTU_k está completamente normalizada. La OTU_kV es una estructura de trama normalizada sólo en lo funcional (es decir, sólo se especifica la funcionalidad requerida); véase el apéndice II.

11.1 Estructura de trama de OTU_k

La estructura de trama de OTU_k (k = 1,2,3) se basa en la estructura de trama de ODU_k y la amplía con la corrección de errores en recepción (FEC), como se muestra en la figura 11-1. Se añaden 256 columnas a la trama ODU_k para la FEC, y los octetos de tara reservados en la fila 1, columnas 8 a 14 de la tara de ODU_k se utilizan para tara específica de OTU_k, lo que resulta en una estructura de trama de bloques basada en octetos con cuatro filas y 4080 columnas. El MSB en cada octeto es el bit 1, y el LSB es el bit 8.

Las velocidades binarias de las señales OTU_k se definen en el cuadro 7-1.

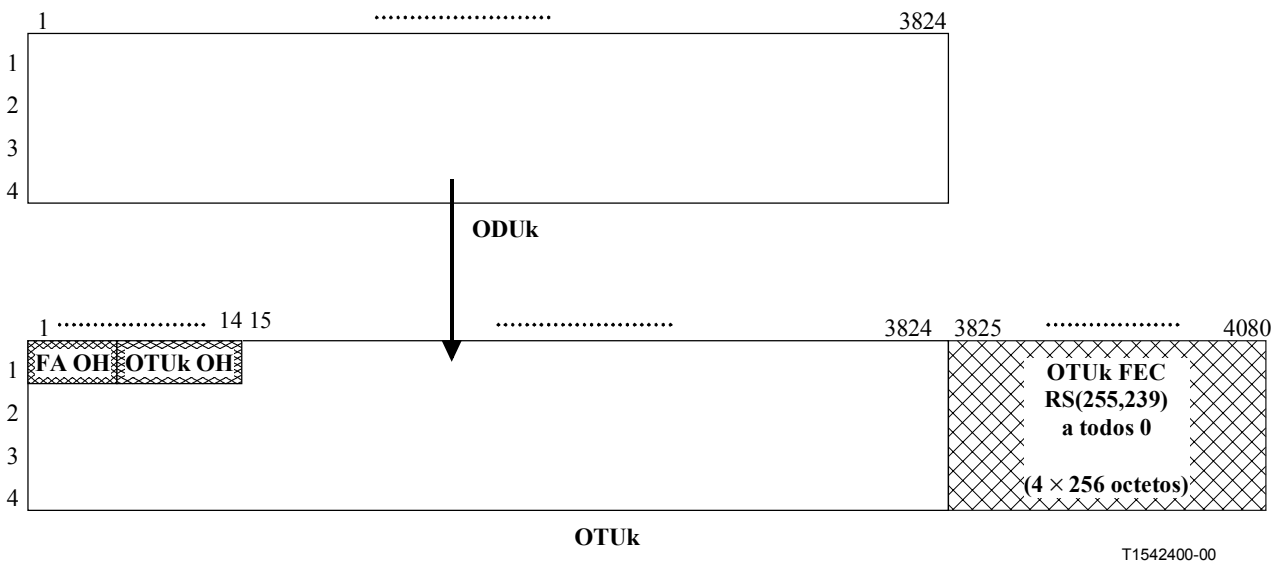


Figura 11-1/G.709/Y.1331 – Estructura de trama de OTU_k

La corrección intrínseca de errores (FEC) de OTU_k contiene códigos FEC RS(255,239) de Reed-Solomon. Si no se utiliza FEC, hay que utilizar octetos de relleno fijo (esquema todos 0).

El código FEC RS(255,239) se calculará como se especifica en el anexo A/G.709.

Para el interfuncionamiento de equipos que sustentan FEC con equipos que no la soportan (insertando el esquema todos 0 de relleno fijo en la zona OTUk FEC), los equipos que soportan FEC soportarán la capacidad de inhabilitar el proceso de decodificación FEC (pasar por alto el contenido de FEC de OTUk).

El orden de transmisión de los bits en la trama OTUk es de izquierda a derecha, de arriba a abajo y de MSB a LSB (figura 11-2).

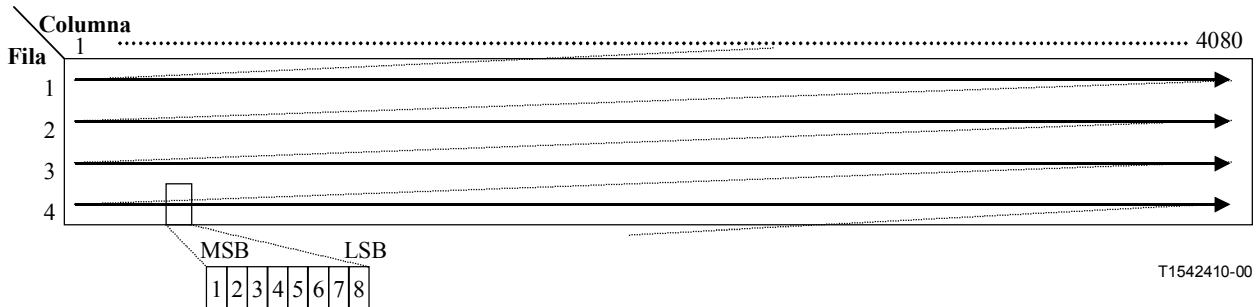


Figura 11-2/G.709/Y.1331 – Orden de transmisión de bits de la trama OTUk

11.2 Aleatorización

La señal OTUk debe tener suficiente contenido de temporización de bits en la ONNI. Se proporciona, mediante un aleatorizador, un esquema adecuado, que impide una secuencia larga de "1" o de "0".

El funcionamiento del aleatorizador será funcionalmente idéntico al de un aleatorizador síncrono de trama con una longitud de secuencia de 65535 que funciona a la velocidad de la OTUk.

El polinomio generador será $1 + x + x^3 + x^{12} + x^{16}$. La figura 11-3 muestra un diagrama funcional de aleatorizador síncrono de trama.

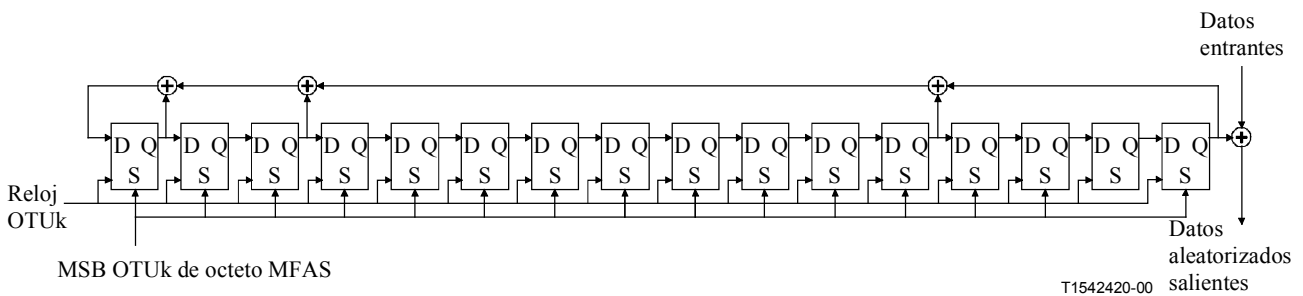


Figura 11-3/G.709/Y.1331 – Aleatorizador síncrono de trama

El aleatorizador será reiniciado a "FFFF" (HEX) en el bit más significativo del octeto que sigue al último octeto de alineación de trama en la trama OTUk, es decir, el MSB del octeto MFAS. Este bit, y todos los subsiguientes que han de ser aleatorizados, se sumarán en módulo 2 a la salida de la posición x^{16} del aleatorizador. El aleatorizador se aplicará continuamente a todo lo largo de la trama OTUk completa. Los octetos de alineación de trama (FAS) de la trama de OTUk no serán aleatorizados.

La aleatorización se efectúa después del cálculo e inserción de FEC en la señal OTUk.

12 Unidad de datos de canal óptico (ODUk)

12.1 Estructura de trama de ODUk

La estructura de trama de ODUk ($k = 1,2,3$) se muestra en la figura 12-1. Está organizada como una estructura de trama de bloque basada en octetos con cuatro filas y 3824 columnas.

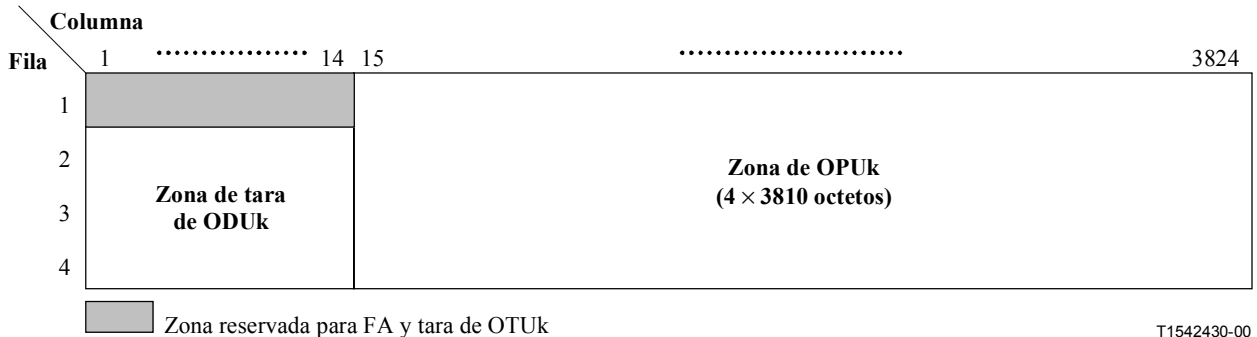


Figura 12-1/G.709/Y.1331 – Estructura de trama de ODUk

Las dos zonas principales de la trama ODUk son:

- zona de tara de ODUk;
- zona de OPUk.

Las columnas 1 a 14 de la ODUk están dedicadas a la zona de tara de ODUk.

NOTA – Las columnas 1 a 14 de la fila 1 están reservadas para alineación de trama y tara específica de OTUk.

Las columnas 15 a 3824 de la ODUk están dedicadas a la zona de OPUk.

13 Unidad de cabida útil de canal óptico (OPUk)

La estructura de trama de OPUk ($k = 1,2,3$) se muestra en la figura 13-1. Está organizada como una estructura de trama de bloque basada en octetos con cuatro filas y 3810 columnas.

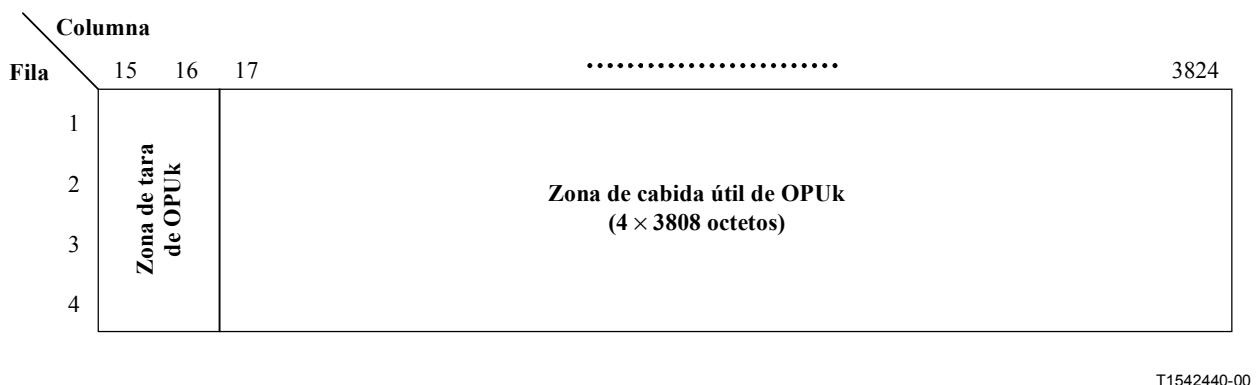


Figura 13-1/G.709/Y.1331 – Estructura de trama de OPUk

Las dos zonas principales de la trama OPuk son:

- zona de tara de OPuk;
- zona de cabida útil de OPuk.

Las columnas 15 a 16 de la OPuk están dedicadas a la zona de tara de OPuk.

Las columnas 17 a 3824 de la OPuk están dedicadas a la zona de cabida útil de OPuk.

NOTA – Los números de columna de OPuk se derivan de las columnas OPuk de la trama ODUk.

14 Señal de tara de OTM (OOS)

La señal de tara de OTM (OOS) consiste en la tara de OTS, OMS y OCh. El formato, la estructura y la velocidad binaria de la OOS no se definen en la presente Recomendación. La OOS es transportada por un OCS.

En dependencia del diseño de la red de superposición (*overlay*) de gestión lógica del operador, se podrían también transportar comunicaciones generales de gestión dentro de la OOS. Por consiguiente, para algunas aplicaciones, la OOS puede también transportar comunicaciones generales de gestión. Éstas pueden incluir señalización, comunicaciones vocales/de banda vocal, telecarga de soporte lógico, comunicaciones específicas del operador, etc.

15 Descripción de tara

En la figura 15-1 se presenta una visión general de la tara de OTS, OMS y OCh.

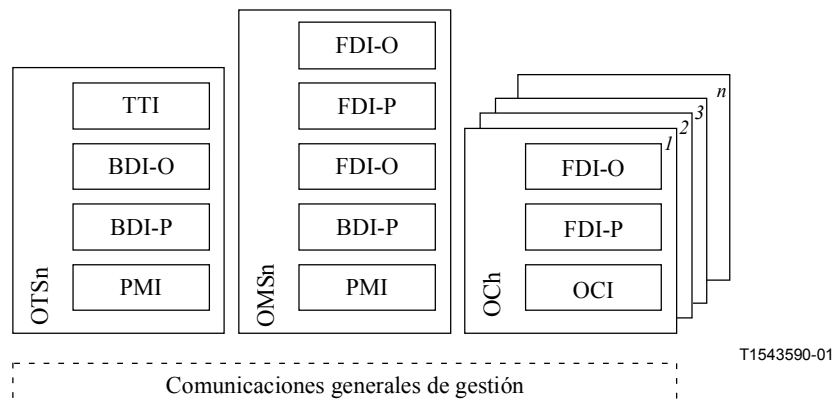
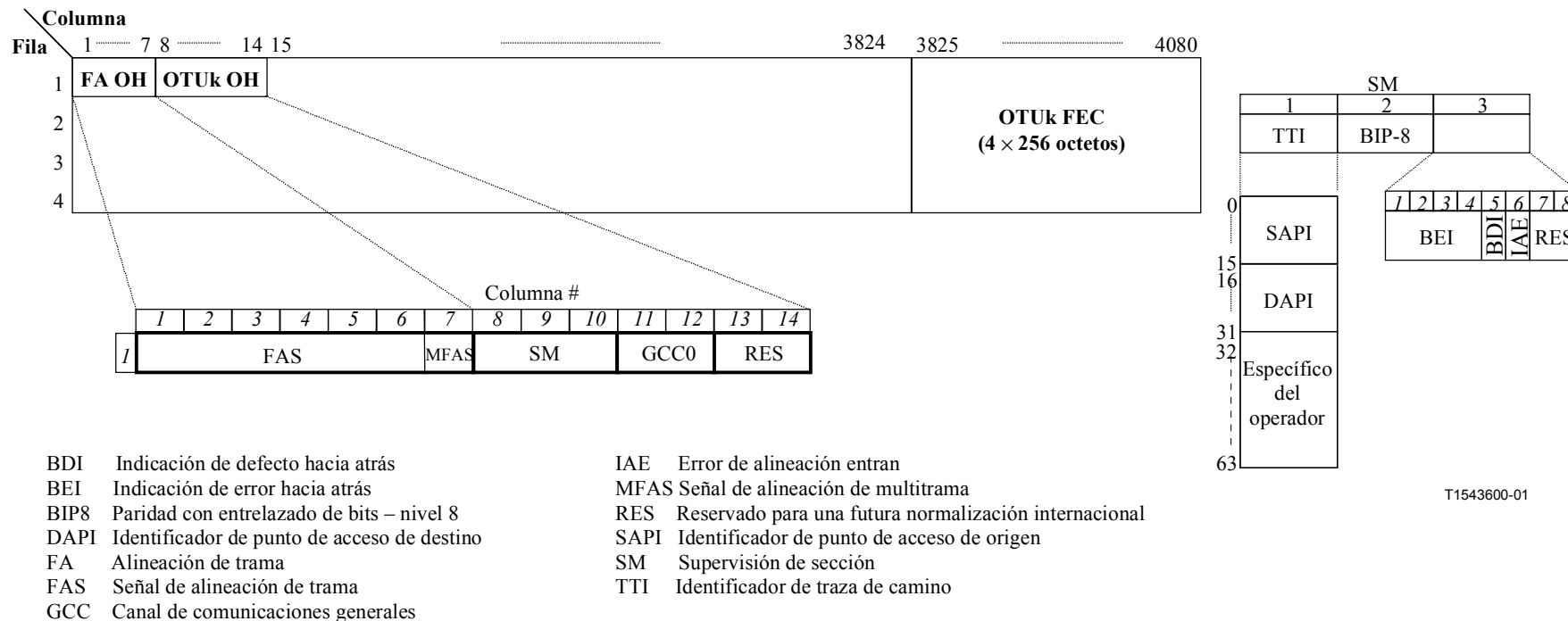


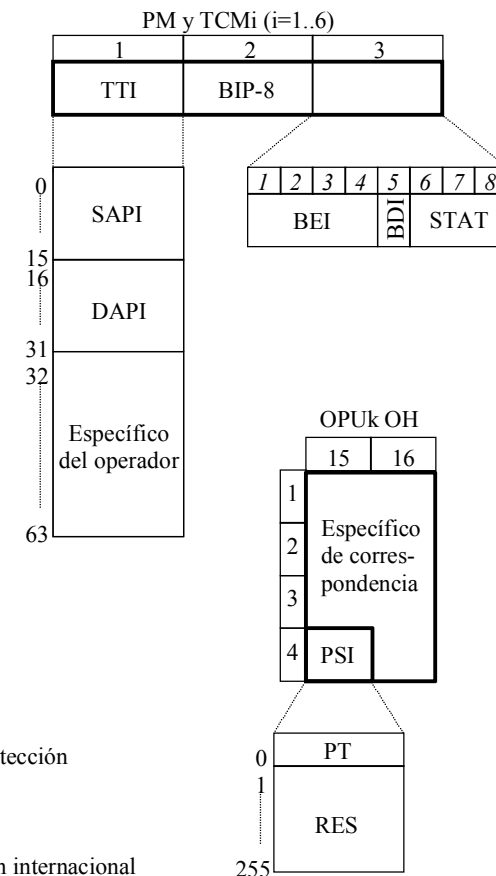
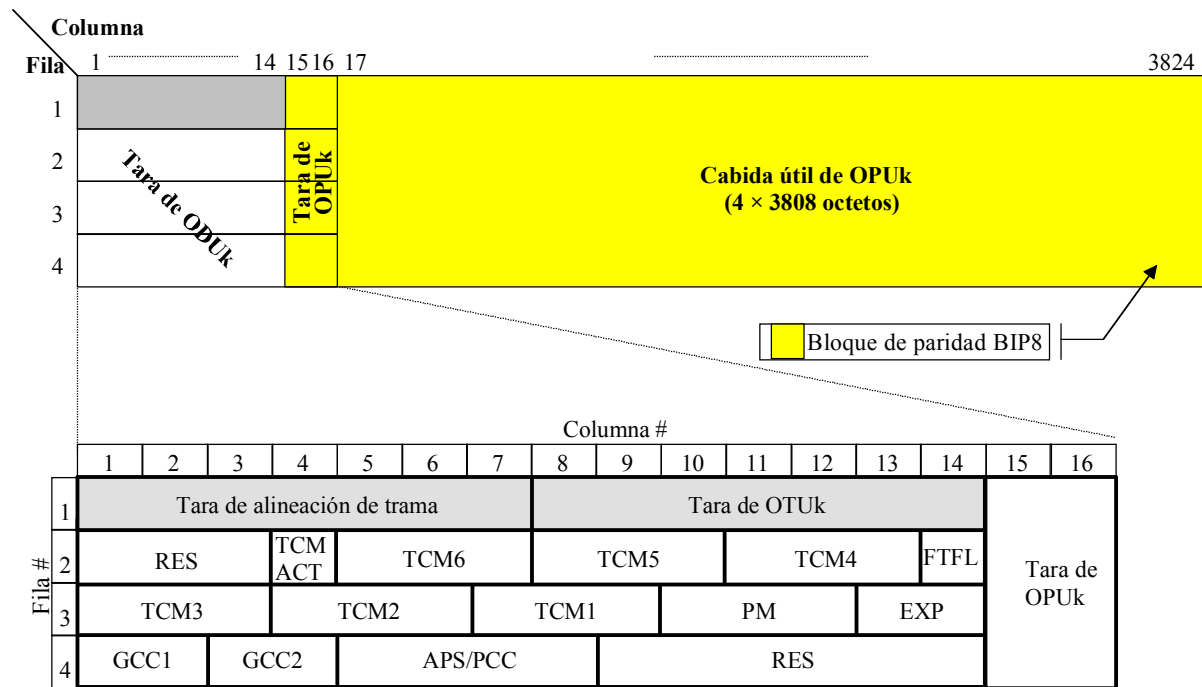
Figura 15-1/G.709/Y.1331 – Tara de OTSn, OMSn y OCh como elementos lógicos dentro de la OOS

En las figuras 15-2 y 15-3 se presenta una visión general de la tara de OTUk, ODUk y OPuk.



T1543600-01

Figura 15-2/G.709/Y.1330 – Estructura de trama de OTUk, alineación de trama y tara de OTUk



- | | | | |
|------|---|------|---|
| ACT | Canal de control de activación/desactivación | PCC | Canal de control de comunicación de protección |
| APS | Canal de coordinación de conmutación de protección automática | PM | Supervisión de trayecto |
| BDI | Indicación de defecto hacia atrás | PSI | Identificador de estructura de cabida útil |
| BEI | Indicación de error hacia atrás | PT | Tipo de cabida útil |
| BIP8 | Paridad con entrelazado de bits – nivel 8 | RES | Reservado para una futura normalización internacional |
| DAPI | Identificador de punto de acceso de destino | SAPI | Identificador de punto de acceso de origen |
| EXP | Experimental | STAT | Status |
| FTFL | Canal de informe de tipo de avería y localización de avería | TCM | Supervisión de conexión en cascada |
| GCC | Canal de comunicaciones generales | TTI | Identificador de traza de camino |

T1543610-01

Figura 15-3/G.709/Y.1331 – Estructura de trama de ODUk y tara de ODUk y de OPUk

15.1 Tipos de tara

15.1.1 Tara de unidad de cabida útil de canal óptico (OPUk OH)

Se añade información de OPUk OH a la información de cabida útil de OPUk para crear una OPUk. Incluye información para sustentar la adaptación de señales de cliente. La OPUk OH es terminada donde la OPUk es ensamblada y desensamblada. El formato y codificación específicos de OH se definen en 15.9.

15.1.2 Tara de unidad de datos de canal óptico (ODUk OH)

Se añade información de ODUk OH a la cabida útil de información de la ODUk para crear una ODUk. Incluye información para funciones de mantenimiento y operacionales con el fin de sustentar canales ópticos. La ODUk OH consiste en porciones dedicadas al trayecto ODUk de extremo a extremo y a seis niveles de supervisión de conexiones en cascada. La OH del trayecto ODUk es terminada donde la ODUk es ensamblada y desensamblada. La TC OH es añadida y terminada en la fuente y en el sumidero de las correspondientes conexiones en tándem, respectivamente. El formato y codificación específicos de OH se definen en 15.6 y 15.8.

15.1.3 Tara de unidad de transporte de canal óptico (OTUk OH)

La información de OTUk OH es parte de la estructura de la señal OTUk. Incluye información para funciones operacionales para sustentar el transporte por una o más conexiones de canal óptico. La OTUk OH es terminada donde la señal OTUk es ensamblada y desensamblada. El formato y codificación específicos de OH se definen en 15.6 y 15.7.

La estructura de trama y la codificación específicas de OTUkV OH no normalizada están fuera del ámbito de la presente Recomendación. Sólo se define, en 15.7.3, la funcionalidad básica requerida que se debe sustentar.

15.1.4 Tara no asociada a canal óptico (OCh OH)

Se añade información de OCh OH a la OTUk para crear un OCh. Incluye información para funciones de mantenimiento con el fin de sustentar la gestión de averías. La OCh OH es terminada donde la señal OCh es ensamblada y desensamblada.

La estructura de trama y la codificación específicas de OCh OH están fuera del ámbito de la presente Recomendación. Sólo se define, en 15.5, la funcionalidad básica requerida que se debe soportar.

15.1.5 Tara de sección múltiplex óptica (OMS OH)

Se añade información de OMS OH a la OCG para crear una OMU. Incluye información para funciones de mantenimiento y operacionales para sustentar secciones múltiplex ópticas. La OMS OH es terminada donde la OMU es ensamblada y desensamblada.

La estructura de trama y la codificación específicas de OMS OH están fuera del ámbito de la presente Recomendación. Sólo se define, en 15.4, la funcionalidad básica requerida que se debe sustentar.

15.1.6 Tara de sección de transmisión óptica (OTS OH)

Se añade información de OTS OH a la cabida útil de información para crear un OTM. Incluye información para funciones de mantenimiento y operaciones con el fin de sustentar secciones de transmisión ópticas. La OTS OH es terminada donde el OTM es ensamblado y desensamblado.

La estructura de trama y la codificación específicas de OTS OH están fuera del ámbito de la presente Recomendación. Sólo se define, en 15.3, la funcionalidad básica requerida que se debe sustentar.

15.1.7 Tara de comunicaciones generales de gestión (COMMS OH)

Se añade información de COMMS OH a la cabida útil de información para crear un OTM. Proporciona comunicaciones generales de gestión entre elementos de red. La estructura de trama y la codificación específicas de COMMS OH están fuera del ámbito de la presente Recomendación.

15.2 Definición de identificador de rastro de camino y de identificador de punto de acceso

El identificador de traza de camino (TTI) se define como una cadena de 64 octetos con la siguiente estructura (figura 15-4):

- TTI[0] contiene el carácter SAPI[0], que se pone a todos 0.
- TTI[1] a TTI[15] contienen el identificador de punto de acceso de origen de 15 caracteres (SAPI[1] a SAPI[15]).
- TTI[16] contiene el carácter DAPI[0], que se pone a todos 0.
- TTI[17] a TTI[31] contiene el identificador de punto de acceso de destino de 15 caracteres (DAPI[1] a DAPI[15]).
- TTI[32] a TTI[63] son específicos de la entidad operadora.

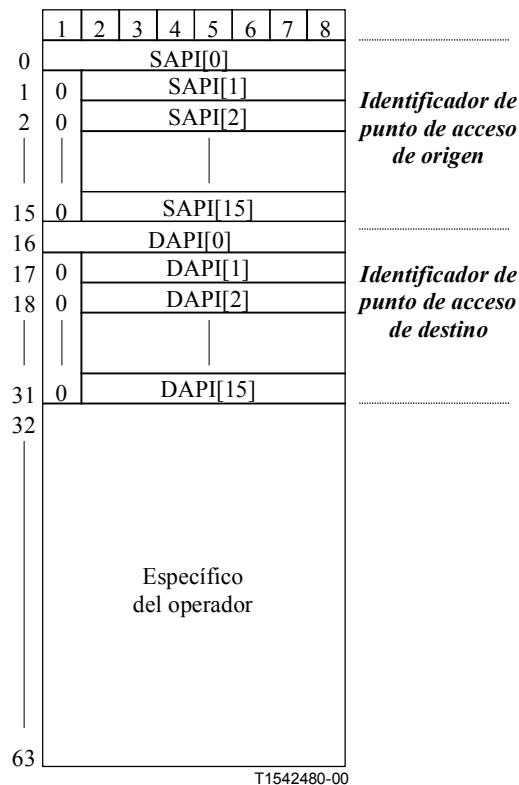


Figura 15-4/G.709/Y.1331 – Estructura de TTI

Las características de los identificadores de punto de acceso (API) son:

- cada identificador de punto de acceso debe ser globalmente único en su red de capa;
- cuando sea previsible que el punto de acceso pueda ser requerido para establecer un trayecto a través de una frontera entre entidades operadoras, el identificador de punto de acceso debe ponerse a disposición de otros operadores de red;
- el identificador de punto de acceso no debe cambiar mientras exista el punto de acceso;

- el identificador de punto de acceso debe ser capaz de identificar un país y el operador de red responsable del encaminamiento a y desde el punto de acceso;
- el conjunto de todos los identificadores de punto de acceso que pertenecen a una sola red de capa administrativa deben formar un solo esquema de identificación de punto de acceso;
- el esquema de identificadores de punto de acceso para cada red de capa administrativa puede ser independiente del esquema de cualquier otra red de capa administrativa.

Se recomienda que el esquema de identificación de punto de acceso de cada ODUk, OTUk y OTM esté basado en un formato de árbol para facilitar los algoritmos de búsqueda de control de encaminamiento. El identificador de punto de acceso debe ser globalmente inequívoco.

El identificador de punto de acceso (SAPI, DAPI) constará de un segmento internacional (IS) de tres caracteres y un segmento nacional (NS) de doce caracteres (figura 15-5). Estos caracteres serán codificados de acuerdo con UIT-T T.50 (Alfabeto de referencia internacional – Juego de caracteres codificados de 7 bits para intercambio internacional).

Carácter IS #			Carácter NS #											
1	2	3	4	5	6	7	8	9	10	11	12	13	14	15
CC			ICC	UAPC										
CC			ICC		UAPC									
CC			ICC			UAPC								
CC			ICC				UAPC							
CC			ICC					UAPC						
CC			ICC						UAPC					

T1542490-00

Figura 15-5/G.709/Y.1331 – Estructura de identificador de punto de acceso

El campo de segmento internacional proporciona un distintivo de país geográfico/político (G/PCC) ISO 3166 de tres caracteres. El distintivo de país se basará en el distintivo de país ISO 3166 alfabético de tres caracteres de letras mayúsculas (por ejemplo, USA, FRA).

El campo del segmento nacional consta de dos subcampos: el código de empresa de telecomunicaciones de la UIT (ICC, *ITU carrier code*) seguido por un código de punto de acceso único (UAPC, *unique access point code*).

El ICC es un código asignado a un operador de red/proveedor de servicio y mantenido por la Oficina de Normalización de las Telecomunicaciones (TSB) teniendo en cuenta UIT-T M.1400. El código tendrá de 1 a 6 caracteres alfabéticos, o alfabéticos con cola numérica, justificados a la izquierda.

El código de punto de acceso único será un asunto para la organización a la cual ha sido asignado el distintivo de país y el código ICC de la UIT, a condición de que se garantice que sea único. Este código consistirá en 6-11 caracteres, con NULOS detrás, para completar el segmento nacional de 12 caracteres.

15.3 Descripción de OTS OH

Se define la siguiente tara de OTM-n OTSn:

- OTSn-TTI;
- OTSn-BDI-P;

- OTSn-BDI-O;
- OTSn-PMI.

15.3.1 Identificador de traza de camino (TTI) de OTS

Por definición el OTSn-TTI transporta un TTI de 64 octetos, como se especifica en 15.2 para supervisión de sección OTSn.

15.3.2 Indicación de defecto hacia atrás – Cabida útil (BDI-P) de OTS

A los efectos de la supervisión de sección OTSn, por definición, la señal OTSn-BDI-P transporta en el sentido hacia el origen el status de fallo de señal de cabida útil OTSn detectado en la función sumidero de terminación OTSn.

15.3.3 Indicación de defecto hacia atrás – Tara (BDI-O) de OTS

A los efectos de la supervisión de sección OTSn, por definición, la señal OTSn-BDI-O transporta en el sentido hacia el origen el status de fallo de señal de tara OTSn detectado en la función sumidero de terminación OTSn.

15.3.4 Indicación de ausencia de cabida útil (PMI) de OTS

OTS PMI es una señal enviada hacia el destino como una indicación de que, en el sentido de transmisión hacia el origen, en el punto fuente de la señal OTS no se añade cabida útil con el fin de suprimir el informe de la consiguiente condición de pérdida de señal.

15.4 Descripción de OMS OH

Se define la siguiente tara de OTM-n OMSn:

- OMSn-FDI-P;
- OMSn-FDI-O;
- OMSn-BDI-P;
- OMSn-BDI-O;
- OMSn-PMI.

15.4.1 Indicación de defecto hacia adelante – Cabida útil (FDI-P) de OMS

A los efectos de la supervisión de la sección OMSn, por definición, la señal OMSn-FDI-P transporta en el sentido hacia el destino el status de señal de cabida útil de OMSn (normal o fallido).

15.4.2 Indicación de defecto hacia adelante – Tara (FDI-O) de OMS

A los efectos de la supervisión de la sección OMSn, por definición, la señal OMSn-FDI-O transporta en el sentido hacia el destino el status de señal de tara OMSn (normal o fallido).

15.4.3 Indicación de defecto hacia atrás – Cabida útil (BDI-P) de OMS

A los efectos de la supervisión de la sección OMSn, por definición, la señal OMSn-BDI-P transporta en el sentido hacia el origen el status de fallo de señal de cabida útil OMSn detectado en la función sumidero de terminación OMSn.

15.4.4 Indicación de defecto hacia atrás – Tara (BDI-O) de OMS

A los efectos de la supervisión de la sección OMSn, por definición, la señal OMSn-BDI-O transporta en el sentido hacia el origen el status de fallo de señal de tara OMSn detectado en la función sumidero de terminación OMSn.

15.4.5 Indicación de ausencia – Cabida útil (PMI) de OMS

OMS PMI es una señal enviada hacia el destino como una indicación de que, en el sentido de transmisión hacia el origen, en el punto fuente de la señal OMS ninguna de las OCCp contiene una señal de canal óptico, con el fin de suprimir el informe de la consiguiente condición de pérdida de señal.

15.5 Descripción de OCh OH

Se define la siguiente tara de OTM-n OCh:

- OCh-FDI-P;
- OCh-FDI-O;
- OCh-OCI.

15.5.1 Indicación de defecto hacia delante – Cabida útil (FDI-P) de OCh

A los efectos de la supervisión de camino de OCh, por definición, la señal OCh-FDI-P transporta en el sentido hacia el destino el status de señal de cabida útil de OCh (normal o fallido).

15.5.2 Indicación de defecto hacia delante – Tara (FDI-O) de OCh

A los efectos de la supervisión de camino de OCh, por definición, la señal OCh-FDI-O transporta en el sentido hacia el destino el status de señal de tara de OCh (normal o fallido).

15.5.3 Indicación de conexión abierta (OCI) de OCh

OCh OCI es una señal enviada hacia el destino como una indicación de que en el sentido de transmisión hacia el origen en una función de conexión, la conexión matriz se abre como resultado de una instrucción de gestión. La detección consiguiente de la condición de pérdida de señal de OCh en el punto de terminación de OCh puede relacionarse ahora con una matriz abierta.

15.6 Descripción de tara de alineación de trama de OTUK/ODUK

15.6.1 Ubicación de tara de alineación de trama de OTUK/ODUK

En la figura 15-6 se muestra la ubicación de la tara de alineación de trama de OTUK/ODUK. La tara de alineación de trama de OTUK/ODUK es aplicable para las señales OTUK y ODUK.

		Columna #															
		1	2	3	4	5	6	7	8	9	10	11	12	13	14	15	16
Fila #	1	FAS						MFAS	Tara de OTUK								Tara de OPUK
	2	Tara de ODUK															
	3																
	4																

T1542500-00

Figura 15-6/G.709/Y.1331 – Tara de alineación de trama de OTUK/ODUK

15.6.2 Definición de tara de alineación de trama de OTUk/ODUk

15.6.2.1 Señal de alineación de trama (FAS)

Se define una señal OTUk-FAS de seis octetos (figura 15-7) en la fila 1, columnas 1 a 6 de la tara de OTUk. OA1 es "1111 0110". OA2 es "0010 1000".

FAS OH octeto 1								FAS OH octeto 2								FAS OH octeto 3								FAS OH octeto 4								FAS OH octeto 5								FAS OH octeto 6							
1	2	3	4	5	6	7	8	1	2	3	4	5	6	7	8	1	2	3	4	5	6	7	8	1	2	3	4	5	6	7	8	1	2	3	4	5	6	7	8	1	2	3	4	5	6	7	8
OA1								OA1								OA1								OA2								OA2								OA2							

T1542510-00

Figura 15-7/G.709/Y.1331 – Estructura de tara de señal de alineación de trama

15.6.2.2 Señal de alineación de multitrama (MFAS)

Algunas de las señales de tara de OTUk y ODUk abarcarán múltiples tramas OTUk/ODUk. Como ejemplos cabe citar las señales de tara de TTI y TCM-ACT. Éstas y otras señales de tara estructuradas en multitrama requieren el procesamiento de alineación de multitrama, además de la alineación de trama de OTUk/ODUk.

Se define, con este fin, un octeto de señal de alineación de multitrama (MFAS) en la fila 1, columna 7 de la tara de OTUk/ODUk (figura 15-8). El valor del octeto MFAS aumentará cada trama OTUk/ODUk y proporciona por tanto una multitrama de 256 tramas.

MFAS OH octeto							
1	2	3	4	5	6	7	8
0	0	0	0	0	0	0	0
0	0	0	0	0	0	0	1
0	0	0	0	0	0	1	0
0	0	0	0	0	0	1	1
0	0	0	0	0	1	0	0
⋮	⋮	⋮	⋮	⋮	⋮	⋮	⋮
1	1	1	1	1	1	1	0
1	1	1	1	1	1	1	1
0	0	0	0	0	0	0	0
0	0	0	0	0	0	0	1
⋮	⋮	⋮	⋮	⋮	⋮	⋮	⋮

Secuencia MFAS

T1542520-00

Figura 15-8/G.709/Y.1331 – Tara de señal de alineación de multitrama

Cada señal de tara de OTUk/ODUk puede utilizar esta multitrama central para enclavar sus multitramas de 2 tramas, 4 tramas, 8 tramas, 16 tramas, 32 tramas, etc., a la trama principal.

15.7 Descripción de OTUk OH

15.7.1 Ubicación de tara de OTUk

En las figuras 15-9 y 15-10 se muestra la ubicación de la tara de OTUk.

		Columna #																	
		1	2	3	4	5	6	7	8	9	10	11	12	13	14	15	16		
Fila #	1	Tara de alineación de trama							SM			GCC0		RES		Tara de OPUk			
	2	Tara de ODUk																	
	3																		
	4																		

T1542530-00

Figura 15-9/G.709/Y.1331 – Tara de OTUk

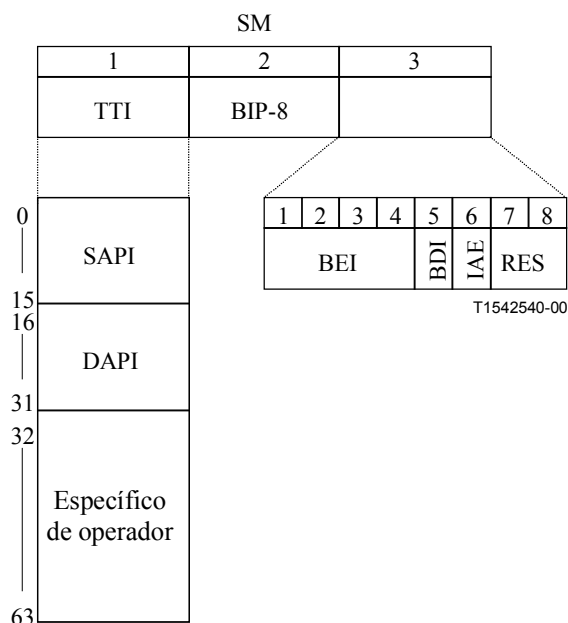


Figura 15-10/G.709/Y.1331 – Tara de supervisión de sección de OTUk

15.7.2 Definición de tara de OTUk

15.7.2.1 Tara de supervisión de sección (SM) de OTUk

Se define un campo tara de supervisión de sección (SM) de OTUk en la fila 1, columnas 8 a 10 para sustentar la supervisión de sección.

El campo SM contiene los siguientes subcampos (figura 15-10):

- identificador de traza de camino (TTI);
- paridad con entrelazado de bits 8 (BIP-8);
- indicación de defecto hacia atrás (BDI);
- indicación de error hacia atrás (BEI);
- error de alineación entrante (IAE);
- bits reservados para futura normalización internacional (RES).

15.7.2.1.1 Identificador de rastro de camino (TTI) de OTUk SM

Para la supervisión de sección, se define una tara de TTI de un octeto para transportar la señal TTI de 64 octetos especificada en 15.2.

La señal TTI de 64 octetos será alineada con la multitrama OTUk (véase 15.6.2.2) y transmitida cuatro veces por multitrama. El octeto 0 de la señal TTI de 64 octetos estará presente en las posiciones de multitrama de OTUk 0000 0000 (0x00), 0100 0000 (0x40), 1000 0000 (0x80) y 1100 0000 (0xC0).

15.7.2.1.2 Código de detección de error (BIP-8) de OTUk SM

Para la supervisión de sección se define un código de detección de error de un octeto. Este octeto proporciona el código de paridad con entrelazado de bits 8 (BIP-8).

NOTA – La notación *BIP-8* se refiere solamente al número de bits BIP y no a la utilización de EDC (es decir, las cantidades que son contadas).

OTUk BIP-8 se calcula en los bits en la zona de OPUk (columnas 15 a 3824) de la trama *i* de OTUk, y se inserta en la posición de tara OTUk BIP-8 en la trama OTUk *i+2* (figura 15-11).

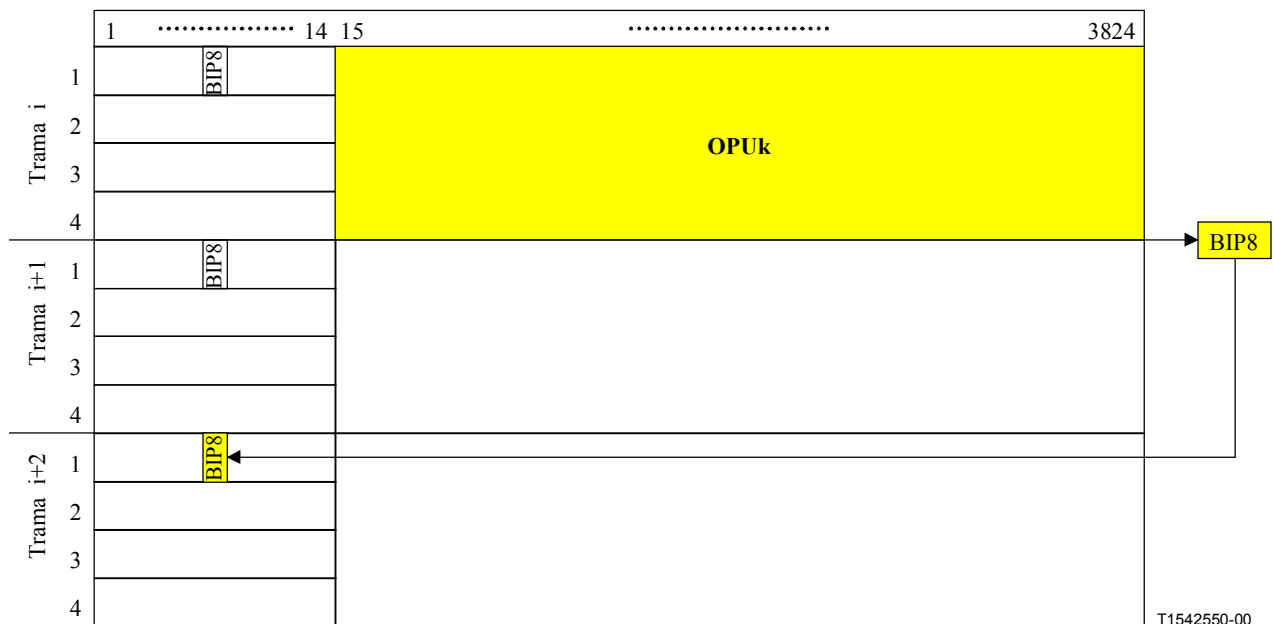


Figura 15-11/G.709/Y.1331 – Cálculo de BIP-8 de OTUk SM

15.7.2.1.3 Indicación de defecto (BDI) hacia atrás de OTUk SM

A efectos de la supervisión de la sección, por definición, una señal de indicación de defecto hacia atrás (BDI) de un bit transporta el status de fallo de señal detectado en una función sumidero de terminación de sección en el sentido hacia el origen.

BDI se pone a "1" para indicar un defecto hacia atrás de OTUk, en los demás casos se pone a "0".

15.7.2.1.4 Indicación de error hacia atrás (BEI) de OTUk SM

A efectos de la supervisión de la sección, por definición, una señal de indicación de error hacia atrás de cuatro bits transporta en el sentido hacia el origen la cuenta de bloques de bits entrelazados erróneos detectados por el correspondiente sumidero de supervisión de sección OTUk mediante el código BIP-8. Esta cuenta tiene nueve valores válidos (0 a 8 errores). Los siete valores restantes sólo

pueden producirse como resultado de alguna condición no conexas y serán interpretados como cero errores (cuadro 15-1).

Cuadro 15-1/G.709/Y.1331 – Interpretación de OTUk SM BEI

OTUk SM BEI bits 1234	Violaciones de BIP
0000	0
0001	1
0010	2
0011	3
0100	4
0101	5
0110	6
0111	7
1000	8
1001 a 1111	0

15.7.2.1.5 Tara de error de alineación entrante (IAE) de OTUk SM

Por definición una señal de error de alineación entrante de un bit (IAE) permite al punto de ingreso de S-CMEP informar a su punto de egreso S-CMEP porque se ha detectado un error de alineación en la señal entrante.

IAE se pone a "1" para indicar un error de alineación de trama; en los demás casos se pone a "0".

El punto de egreso S-CMEP puede utilizar esta información para suprimir la cuenta de errores en los bits, que pueden ocurrir como resultado de un cambio de fase de trama de la OTUk en el ingreso de la sección.

15.7.2.1.6 Tara reservada (RES) de OTUk SM

Con fines de supervisión de la sección, se reservan dos bits (RES) para futura normalización internacional. Se ponen a "00".

15.7.2.2 Canal de comunicaciones generales 0 (GCC0) de OTUk

En la tara de OTUk se han asignado dos octetos para sustentar un canal de comunicaciones generales entre puntos de terminación OTUk. Éste es un canal claro y toda especificación de formato está fuera del ámbito de la presente Recomendación. Estos octetos están en la fila 1, columnas 11 y 12 de la tara de OTUk.

15.7.2.3 Tara reservada (RES) de OTUk

Se han reservado dos octetos de tara de OTUk para futura normalización internacional. Estos octetos están en la fila 1, columnas 13 y 14, y se ponen todos a 0.

15.7.3 Tara de OTUkV

La trama OTUkV normalizada funcionalmente debe sustentar, como una capacidad mínima, una funcionalidad de supervisión de sección comparable a la supervisión de sección OTUk (15.7.2.1) con identificador de rastro de camino según se especifica en 15.2. La ulterior especificación de esta tara está fuera del ámbito de la presente Recomendación.

15.8 Descripción de ODUk OH

15.8.1 Ubicación de ODUk OH

En las figuras 15-12,15-13 y 15-14 se muestra la ubicación de la tara de ODUk.

		Columna #															
		1	2	3	4	5	6	7	8	9	10	11	12	13	14	15	16
Fila #	1	Tara de alineación de trama							Tara de OTUk							Tara de OPUk	
	2	RES			TCM ACT	TCM6			TCM5			TCM4			FTFL		
	3	TCM3			TCM2			TCM1			PM			EXP			
	4	GCC1		GCC2		APS/PCC				RES							

T1543810-01

Figura 15-12/G.709/Y.1331 – Tara de ODUk

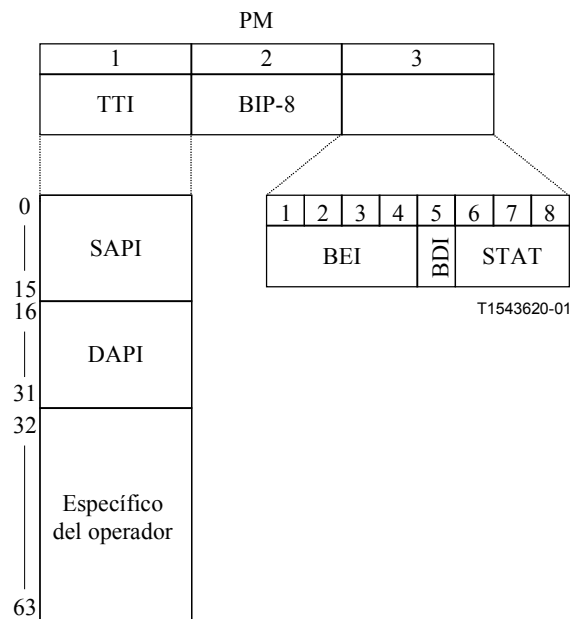


Figura 15-13/G.709/Y.1331 – Tara de supervisión de trayecto de ODUk

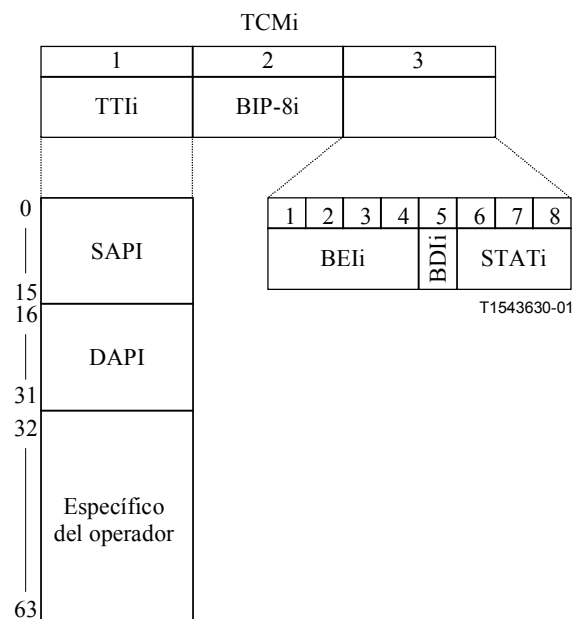


Figura 15-14/G.709/Y.1331 – Tara de supervisión de trayecto de conexión en cascada #i de ODUk

15.8.2 Definición de ODUk OH

15.8.2.1 Tara de supervisión de trayecto (PM) de ODUk

Se define un campo tara de supervisión de trayecto (PM) de ODUk en la fila 3, columnas 10 a 12 para soportar la supervisión de trayecto.

El campo PM contiene los siguientes subcampos (figura 15-13):

- identificador de traza de camino (TTI);
- paridad con entrelazado de bits (BIP-8);
- indicación de defecto hacia atrás (BDI);
- indicación de error hacia atrás (BEI);
- bits de status indicativos de la presencia de una señal de mantenimiento (STAT).

El contenido del campo PM, a excepción del subcampo STAT, será indefinido (la pauta será todo 1, 0110 0110 ó 0101 0101 repetidos) mientras esté presente una señal de mantenimiento (por ejemplo, ODUk-AIS, ODUk-OCI, ODUk-LCK). Véase 16.5.

15.8.2.1.1 Identificador de rastro de camino (TTI) de ODUk PM

A los efectos de la supervisión de trayecto, por definición, una tara de identificador de traza de trayecto (TTI) transporta la señal TTI de 64 octetos especificada en 15.2.

La señal TTI de 64 octetos será alineada con la multitrama ODUk (véase 15.6.2.2) y transmitida cuatro veces por multitrama. El octeto 0 de la señal TTI de 64 octetos estará presente en las posiciones de multitrama ODUk 0000 0000 (0x00), 0100 0000 (0x40), 1000 0000 (0x80) y 1100 0000 (0xC0).

15.8.2.1.2 Código de detección de error (BIP-8) de ODUk PM

Para la supervisión de trayecto se define una señal de código de detección de error de un octeto. Este octeto proporciona el código de paridad con entrelazado de bits de nivel 8 (BIP-8).

NOTA – La notación *BIP-8* se refiere solamente al número de bits BIP y no a la utilización de EDC (es decir, las cantidades que son contadas).

Cada BIP-8 de ODUk se calcula para los bits en la zona de OPUk (columnas 15 a 3824) de la trama *i* de ODUk, y se inserta en la posición de tara de ODUk PM BIP-8 en la trama *i+2* de ODUk (figura 15-15).

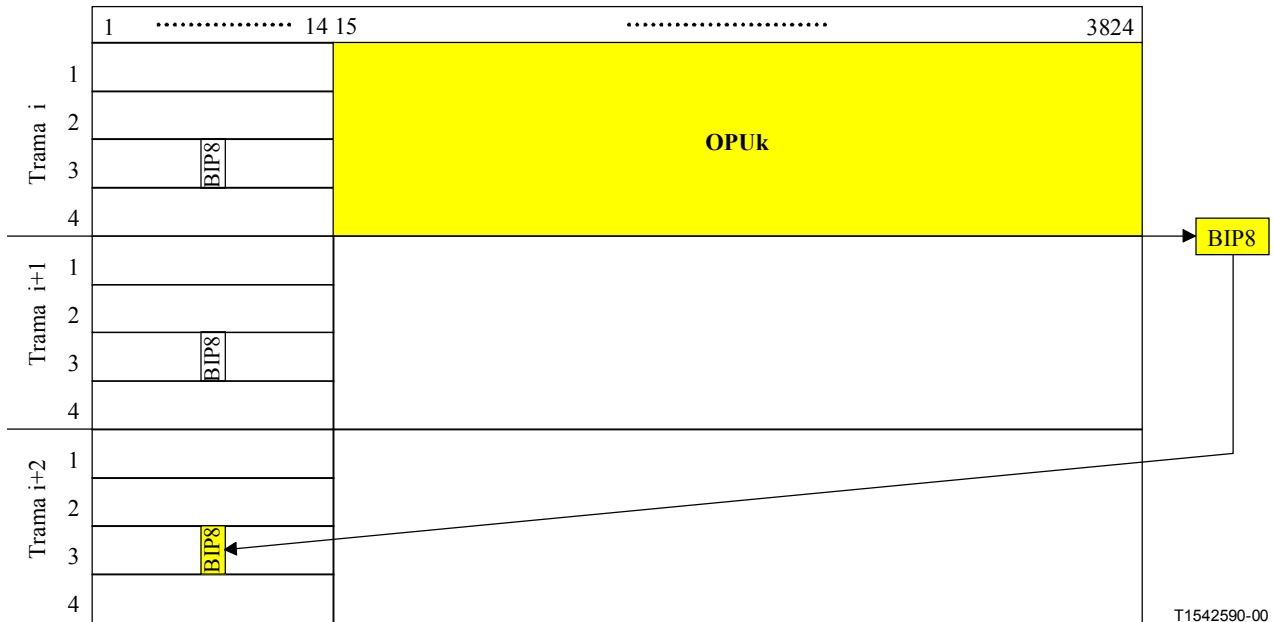


Figura 15-15/G.709/Y.1331 – Cálculo de BIP-8 de ODUk PM

15.8.2.1.3 Indicación de defecto hacia atrás (BDI) de ODUk PM

A los efectos de la supervisión de trayecto, por definición, una señal de indicación de defecto hacia atrás de un bit (BDI) transporta el status de fallo de señal detectado en una función sumidero de terminación de trayecto en el sentido hacia el origen.

BDI se pone a "1" para indicar un defecto hacia atrás de ODUk, en los demás casos se pone a "0".

15.8.2.1.4 Indicación de error hacia atrás (BEI) de ODUk PM

A los efectos de la supervisión de trayecto, por definición, una señal de indicación de error hacia atrás de cuatro bits transporta en el sentido hacia el origen la cuenta de bloques con entrelazados de bits, que han sido detectados como erróneos por el correspondiente sumidero de supervisión de trayecto ODUk mediante el código BIP-8. Esta cuenta de bits tiene 16 valores posibles, de los cuales nueve son válidos (de 0 a 8 errores). Los siete valores restantes sólo pueden producirse como resultado de alguna condición no conexas y serán interpretados como cero errores (cuadro 15-2).

Cuadro 15-2/G.709/Y.1331 – Interpretación de BEI de ODUk PM

ODUk PM BEI bits 1234	Violaciones de BIP
0000	0
0001	1
0010	2
0011	3
0100	4
0101	5
0110	6
0111	7
1000	8
1001 a 1111	0

15.8.2.1.5 Status (STAT) de ODUk PM

Para la supervisión de trayecto se definen tres bits como bits de estado (STAT). Indican la presencia de una señal de mantenimiento (cuadro 15-3).

Un P-CMEP pone estos bits a "001".

Cuadro 15-3/G.709/Y.1331 – Interpretación de status de ODUk PM

Octeto 3 de PM, bits 678	Status
000	reservado para una futura normalización internacional
001	señal de trayecto normal
010	reservado para una futura normalización internacional
011	reservado para una futura normalización internacional
100	reservado para una futura normalización internacional
101	señal de mantenimiento: ODUk-LCK
110	señal de mantenimiento: ODUk-OCI
111	señal de mantenimiento: ODUk-AIS

15.8.2.2 Tara de supervisión de conexión en cascada (TCM) de ODUk

Se definen seis campos tara de supervisión de conexión en cascada (TCM) de ODUk en la fila 2, columnas 5 a 13 y fila 3, columnas 1 a 9 de la tara de ODUk. El TCM soporta la supervisión de conexiones de ODUk para una o más de las siguientes aplicaciones de red (véanse UIT-T G.805 y UIT-T G.872):

- supervisión de conexión óptica en cascada de UNI a UNI; supervisión de la conexión de ODUk a través de la red de transporte pública (de terminación de red de ingreso pública a terminación de red de egreso pública);
- supervisión de conexión óptica en cascada de NNI a NNI; supervisión de la conexión de ODUk a través de la red de un operador de red (de terminación de red de ingreso de operador a terminación de red de egreso de operador);

- supervisión de subcapa para conmutación de protección de conexión de subred de canal óptico lineal 1+1, 1:1 y 1:n, para determinar las condiciones de fallo de señal y de degradación de señal;
- supervisión de subcapa para conmutación de protección de anillo de protección compartida (SPRing, *shared protection ring*) de canal óptico, para determinar las condiciones de fallo de señal y de degradación de señal;
- supervisión de una conexión en cascada de canal óptico para detectar una condición de fallo de señal o de degradación de señal en una conexión de canal óptico conmutada, para iniciar el restablecimiento automático de la conexión durante condiciones de averías y errores en la red;
- supervisión de una conexión en cascada de canal óptico, por ejemplo, para localización de averías o verificación de la calidad de servicio entregada.

Los seis campos TCM están numerados TCM1, TCM2, ..., TCM6.

Cada campo TCM contiene los siguientes subcampos (figura 15-14):

- identificador de traza de camino (TTI);
- paridad con entrelazado de bits nivel 8 (BIP-8);
- indicación de defecto hacia atrás (BDI);
- indicación de error hacia atrás (BEI);
- bits de status que indican la presencia de tara TCM, error de alineación entrante o señal de mantenimiento (STAT).

El contenido de los campos TCM, a excepción del subcampo STAT, será indefinido (la pauta será todos 1, 0110 0110 ó 0101 0101 repetidos) mientras esté presente una señal de mantenimiento (por ejemplo, ODUk-AIS, ODUk-OCI, ODUk-LCK). Véase 16.5.

Se asigna un campo TCM a una conexión supervisada según se describe en 15.8.2.2.6. El número de conexiones supervisadas a lo largo de un trayecto ODUk puede variar entre 0 y 6. Las conexiones supervisadas pueden estar anidadas, superpuestas y/o en cascada. En la figura 15-16 se muestran los casos de conexiones anidadas y en cascada. Las conexiones supervisadas A1-A2/B1-B2/C1-C2 y A1-A2/B3-B4 están anidadas, mientras que B1-B2/B3-B4 están en cascada.

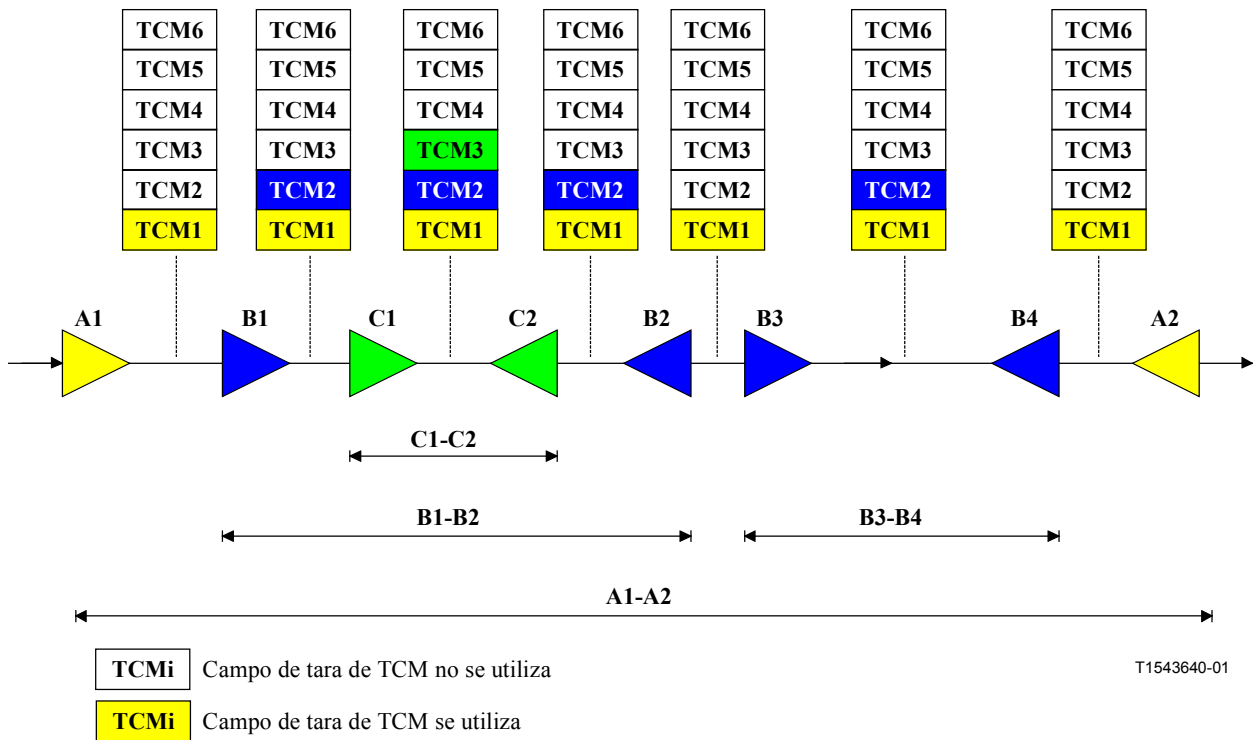


Figura 15-16/G.709/Y.1331 – Ejemplo de conexiones supervisadas de ODUk anidadas y en cascada

También se sustentan conexiones supervisadas superpuestas, como se muestra en la figura 15-17 (B1-B2 y C1-C2).

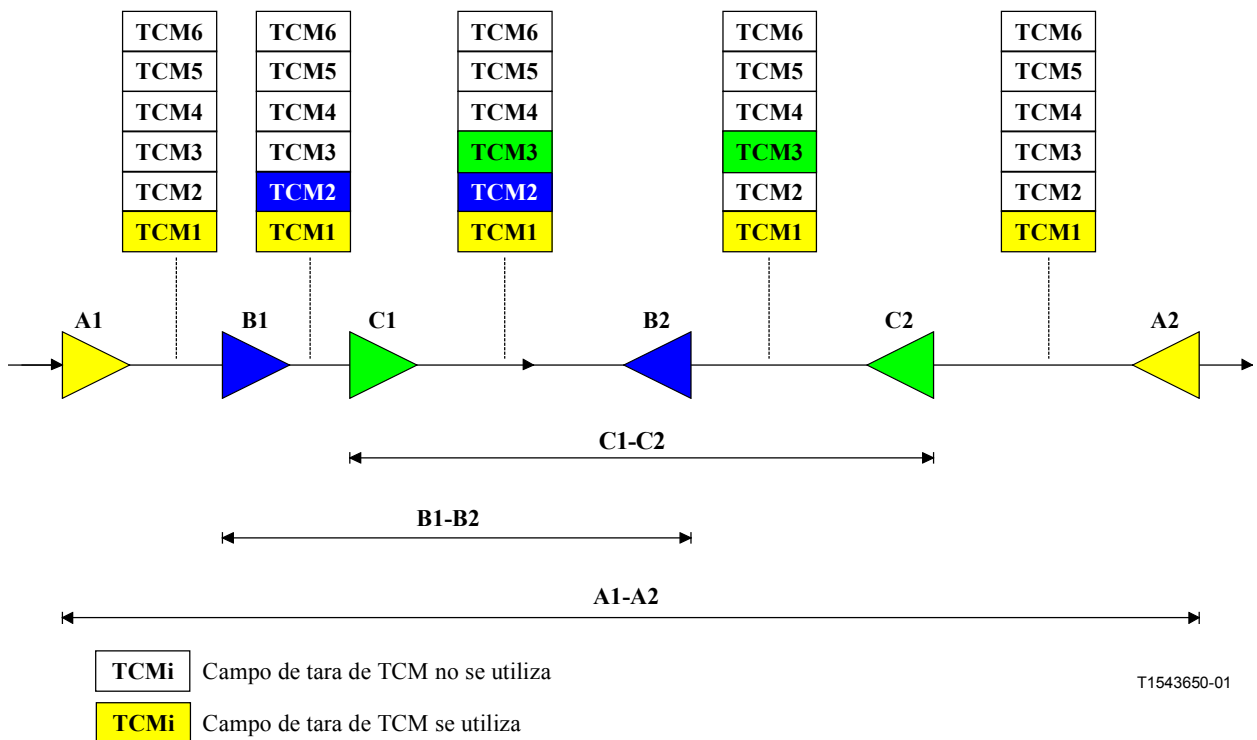


Figura 15-17/G.709/Y.1331 – Ejemplo de conexiones supervisadas de ODUk superpuestas

15.8.2.2.1 Identificador de rastro de camino (TTI) de ODUk TCM

Para cada campo supervisión de conexión en cascada se asigna un octeto de tara para el transporte del TTI (*trail trace identifier*) de 64 octetos especificado en 15.2.

La señal TTI de 64 octetos será alineada con la multitrama ODUk (véase 15.6.2.2) y transmitida cuatro veces por multitrama. El octeto 0 de la señal TTI de 64 octetos estará presente en las posiciones de multitrama ODUk 0000 0000 (0x00), 0100 0000 (0x40), 1000 0000 (0x80) y 1100 0000 (0xC0).

15.8.2.2.2 Código de detección de error (BIP-8) de ODUk TCM

Para cada campo supervisión de conexión en cascada se define una señal de código de detección de error de un octeto. Este octeto proporciona el código de paridad con entrelazado de bits 8 (BIP-8).

NOTA – La notación *BIP-8* hace referencia solamente al número de bits BIP, y no a la utilización de EDC (es decir, las cantidades que son contadas).

Cada BIP 8 de ODUk se calcula para los bits en la zona de OPUk (columnas 15 a 3824) de trama *i* de ODUk, y se inserta en la posición de tara de BIP 8 de ODUk TCM (asociada con el nivel de supervisión de conexión en cascada en la trama ODUk *i+2* (figura 15-18).

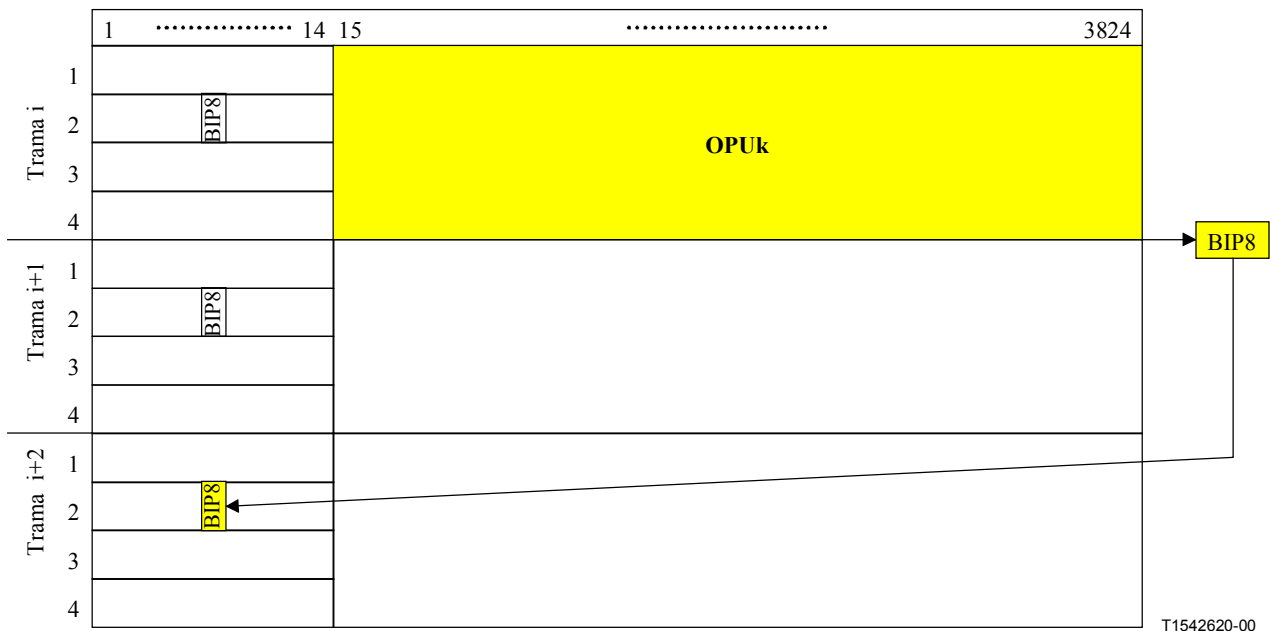


Figura 15-18/G.709/Y.1331 – Cálculo de BIP-8 de ODUk TCM

15.8.2.2.3 Indicación de defecto hacia atrás (BDI) de ODUk TCM

Para cada campo supervisión de conexión en cascada se define una señal de indicación de defecto hacia atrás (BDI) para transportar el status de fallo de señal detectado en una función sumidero de terminación de conexión en cascada en el sentido hacia el origen.

BDI se pone a "1" para indicar un defecto hacia atrás de ODUk; en los demás casos se pone a "0".

15.8.2.2.4 Indicación de error hacia atrás (BEI) de ODUk TCM

Para cada campo supervisión de conexión en cascada se define una señal de indicación de error hacia atrás (BEI, *backward error indication*) de cuatro bits que transporta en el sentido hacia el origen la cuenta de bloques con entrelazado de bits que han sido detectados como erróneos por el correspondiente sumidero de supervisión de conexión en cascada ODUk mediante el código BIP-8.

Esta cuenta tiene 9 valores autorizados (de 0 a 8 errores). Los siete valores restantes sólo pueden producirse como resultado de alguna condición no conexas y serán interpretados como cero errores (cuadro 15-4).

Cuadro 15-4/G.709/Y.1331 – Interpretación de BEI de ODUk TCM

ODUk TCM BEI bits 1234	Violaciones de BIP
0000	0
0001	1
0010	2
0011	3
0100	4
0101	5
0110	6
0111	7
1000	8
1001 a 1111	0

15.8.2.2.5 Status (STAT) de ODUk TCM

Para cada campo de supervisión de conexión en cascada se definen tres bits como bits de status (STAT). Indican la presencia de una señal de mantenimiento si hay un error de alineación entrante en el TC-CMEP del origen, o si no hay un TC-CMEP activo en el origen (cuadro 15-5).

Cuadro 15-5/G.709/Y.1331 – Interpretación de status de ODUk TCM

Octeto 3 de TCM, bits 678	Status
000	No hay conexión de cascada en el origen
001	Se está utilizando sin IAE
010	Se está utilizando con IAE
011	Reservado para una futura normalización internacional
100	Reservado para una futura normalización internacional
101	Señal de mantenimiento: ODUk-LCK
110	Señal de mantenimiento: ODUk-OCI
111	Señal de mantenimiento: ODUk-AIS

Un P-CMEP pone estos bits a "000".

Un punto de ingreso TC-CMEP pone estos bits sea a "001" sea para indicar a su punto de egreso TC-CMEP par que no hay error de alineación entrante (IAE, *incoming alignment error*), o a "010" para indicar que hay un error de alineación entrante.

El punto de egreso TC-CMEP puede utilizar esta información para suprimir la cuenta de errores en los bits, que pueden ocurrir como resultado de un cambio de fase de trama de la ODUk en el ingreso de la conexión en cascada.

15.8.2.2.6 Asignación de campo tara TCM

Cada TC-CMEP insertará/extraerá su tara TCM de uno de los 6 campos tara de TCM_i. El campo de tara de TCM₁ específico es proporcionado por el operador de red, el sistema de gestión de red o el plano de control de conmutación.

En una interfaz de dominio es posible proporcionar el número máximo (0 a 6) de niveles de conexiones en cascada que pasarán a través del dominio. El valor por defecto es tres. Estas conexiones en cascada deberían utilizar los campos de tara TCM_i inferiores, TCM₁...TCM_{MAX}. La tara en los campos TCM más allá del máximo (TCM_{max+1} y más) podrá ser sobrescrita en el dominio.

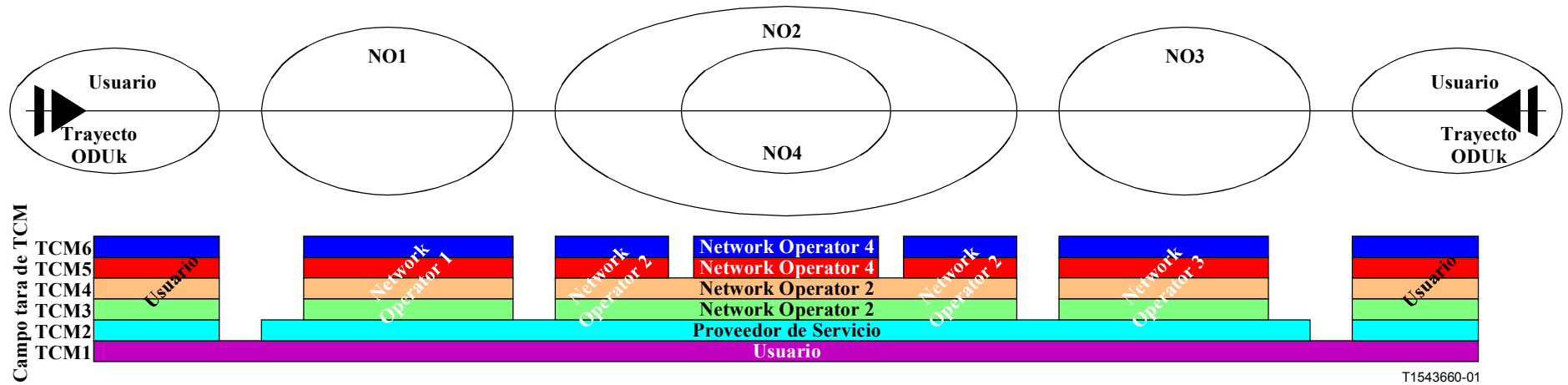
Ejemplo

Tratándose de un circuito arrendado ODUk, es posible que al usuario se le haya asignado un nivel de TCM, al proveedor de servicio un nivel de TCM, y a cada operador de red (que tenga un contrato con el proveedor de servicio) cuatro niveles de TCM. En caso que un operador de red subcontrate parte de su conexión ODUk a otro operador de red, se han de repartir estos cuatro niveles, por ejemplo, 2 niveles para el operador subcontratante.

Esto daría por resultado la siguiente asignación de tara de TCM:

- Usuario: El campo tara de TCM1 entre las dos subredes de usuario, y TCM1..TCM6 en su propia subred.
- Proveedor de servicio (SP, *service provider*): Campo tara TCM2 entre dos UNI.
- Operadores de red (NO, *network operator*) NO1, NO2, NO3 que tienen contrato con el proveedor de servicio: TCM3, TCM4, TCM5, TCM6. Obsérvese que NO2 (que está subcontratando) no puede usar TCM5 y TCM6 en la conexión a través del dominio de NO4.
- NO4 (que tiene un subcontrato con NO2): TCM5, TCM6.

Véase la figura 15-19.



T1543660-01

Figura 15-19/G.709/Y.1331 – Ejemplo de asignación de campo tara de TCM

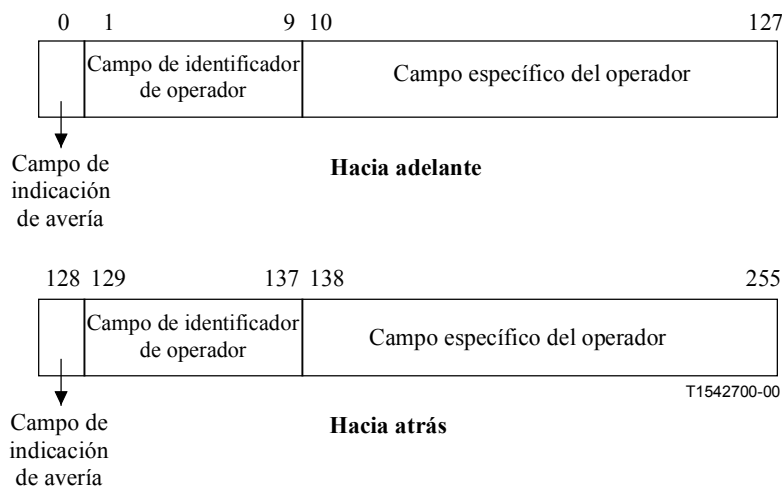


Figura 15-21/G.709/Y.1331 – Estructura de campos hacia adelante/hacia atrás

15.8.2.5.1 Campo indicación de tipo de avería hacia adelante/hacia atrás

El campo indicación de tipo de avería proporciona el status de avería. Se asigna el octeto 0 del mensaje FTFI para el campo de indicación de tipo de avería hacia adelante. Se asigna el octeto 128 del mensaje FTFI para el campo de indicación de tipo de avería hacia atrás. Los campos indicación de tipo de avería se codifican como se indica en el cuadro 15-6. El código 0000 0000 indicará que no hay ninguna avería, el código 0000 0001 indicará fallo de señal y el código 0000 0010 indicará degradación de señal. Los códigos restantes están reservados para futura normalización internacional.

Cuadro 15-6/G.709/Y.1331 – Códigos de indicación de avería

Códigos de indicación de avería	Definición
0000 0000	Ninguna avería
0000 0001	Fallo de señal
0000 0010	Degradación de señal
0000 0011 . . .	Reservado para una futura normalización internacional
1111 1111	

15.8.2.5.2 Campo identificador de operador hacia adelante/hacia atrás

El campo identificador de operador tiene 9 octetos. Los octetos 1 a 9 están asignados para el campo identificador de operador hacia adelante. Los octetos 129 a 137 están asignados para el campo identificador de operador hacia atrás. El campo identificador de operador se subdivide en dos campos: el campo segmento internacional y el campo segmento nacional, como se muestra en la figura 15-22.

Asignación de octetos en el campo hacia atrás	129	130	131	132	133	134	135	136	137
Asignación de octetos en el campo hacia adelante	1	2	3	4	5	6	7	8	9
Indicativo de país			Código de segmento nacional						
G/PCC			ICC	Relleno con NULO					
G/PCC			ICC		Relleno con NULO				
G/PCC			ICC			Relleno con NULO			
G/PCC			ICC				Relleno con NULO		
G/PCC			ICC					Relleno con NULO	
G/PCC			ICC						Relleno con NULO
G/PCC			ICC						Relleno con NULO
NULOS									

T1542710-00

Figura 15-22/G.709/Y.1331 – Estructura del campo identificador de operador

El campo segmento internacional proporciona un indicativo de país geográfico/político (G/PCC, *geographic/political country code*) ISO 3166 de tres caracteres. Los primeros tres octetos del campo identificador de operador de 9 octetos (es decir, los octetos 1 a 3 para el campo identificador de operador hacia adelante y los octetos 129 a 131 para el campo identificador de operador hacia atrás) están reservados para el campo segmento internacional. El indicativo de país se basará en el indicativo de país ISO 3166 alfabético de tres caracteres de letras mayúsculas (por ejemplo, USA, FRA).

El campo segmento nacional proporciona un código de empresa de telecomunicaciones de la UIT (ICC, *ITU carrier code*) de 1 a 6 caracteres. El ICC es mantenido por la Oficina de Normalización de las Telecomunicaciones (TSB) de acuerdo con UIT-T M.1400. El campo segmento nacional tiene 6 de octetos y proporciona un ICC de 1 a 6 caracteres con caracteres nulos insertados al final para completar el campo de 6 caracteres.

15.8.2.5.3 Campo específico de operador hacia adelante/hacia atrás

Los octetos 10 a 127 se asignan para el campo específico de operador hacia adelante, como se muestra en la figura 15-21. Los octetos 138 a 255 se asignan para el campo específico de operador hacia atrás. Los campos específicos de operador no están sujetos a normalización.

15.8.2.6 Tara experimental (EXP) de ODUk

Se asignan dos octetos en la tara de ODUk para uso experimental. Estos octetos están en la fila 3, columnas 13 y 14 de la tara de ODUk.

El uso de estos octetos no está sujeto a normalización y está fuera del ámbito de la presente Recomendación.

Se proporciona tara experimental en la ODUk OH para que un vendedor y/u operador de red dentro de su propia (sub)red pueda sustentar una aplicación que requiera tara de ODUk adicional.

No se requiere reenviar la tara EXP más allá de la (sub)red, es decir, el tramo operacional de la tara EXP está limitado a la (sub)red del equipo del vendedor, o la red del operador.

15.8.2.7 Tara reservada (RES) de ODUk

Se reservan nueve octetos en la tara de ODUk para futura normalización internacional. Estos octetos están en la fila 2, columnas 1 a 3 y fila 4, columnas 9 a 14 de la tara ODUk. Se ponen a todos CERO.

15.9 Descripción de OPUk OH

15.9.1 Ubicación de OPUk OH

La tara de OPUk consiste en: Identificador de estructura de cabida útil (PSI) que incluye el tipo de cabida útil (PT), y tara (por ejemplo, bits de control de justificación y bits de oportunidad) asociados con la correspondencia de señales de cliente a la cabida útil de OPUk. Las posiciones de las taras de OPUk PSI y PT se muestran en la figura 15-23.

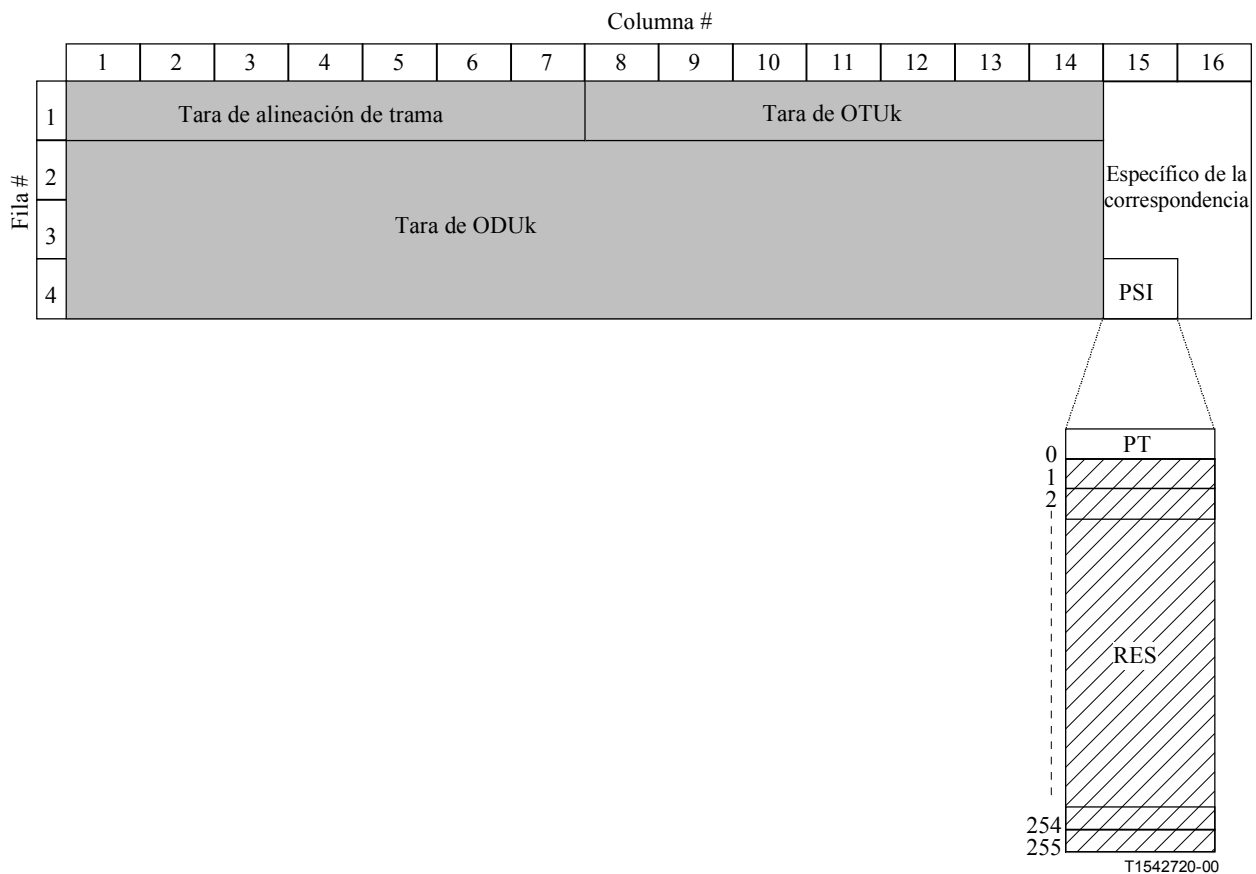


Figura 15-23/G.709/Y.1331 – Tara de OPUk

15.9.2 Definición de OPUk OH

15.9.2.1 Identificador de estructura de cabida útil (PSI) de OPUk

Se asigna un octeto en la tara de OPUk para transportar una señal de identificador de estructura de cabida útil (PSI) de 256 octetos. El octeto está colocado en la fila 4, columna 15 de la tara de OPUk.

La señal PSI de 256 octetos está alineada con la multitrama ODUk (es decir, PSI[0] está presente en la posición de multitrama ODUk 0000 0000, PSI[1] en la posición 0000 0001, PSI[2] en la posición 0000 0010, etc.).

PSI[0] contiene un tipo de cabida útil de un octeto. PSI[1] a PSI[255] están reservados (RES) para futura normalización internacional, excepto PT 0x01 (correspondencia experimental) y los PT 80-0x8F (para uso privado).

15.9.2.1.1 Tipo de cabida útil (PT) de OPUk

Se define una señal de tipo de cabida útil (PT, *payload type*) de un octeto en el octeto PSI[0] del identificador de estructura de cabida útil para indicar la composición de la señal OPUk. Los puntos de código se definen en el cuadro 15-7.

Cuadro 15-7/G.709/Y.1331 – Puntos de código de tipo de cabida útil

MSB 1 2 3 4	LSB 5 6 7 8	Código Hex (nota 1)	Interpretación
0 0 0 0	0 0 0 1	01	Correspondencia experimental (nota 3)
0 0 0 0	0 0 1 0	02	Correspondencia CBR asíncrona, véase 17.1
0 0 0 0	0 0 1 1	03	Correspondencia CBR de bits síncronos, véase 17.1
0 0 0 0	0 1 0 0	04	Correspondencia de ATM, véase 17.2
0 0 0 0	0 1 0 1	05	Correspondencia de GFP, véase 17.3
0 0 0 1	0 0 0 0	10	Tren de bits con correspondencia de temporización de octetos, véase 17.5.1
0 0 0 1	0 0 0 1	11	Tren de bits sin correspondencia de temporización de octetos, véase 17.5.2
0 1 0 1	0 1 0 1	55	No disponible (nota 2)
0 1 1 0	0 1 1 0	66	No disponible (nota 2)
1 0 0 0	x x x x	80-8F	Códigos reservados para uso privado (nota 4)
1 1 1 1	1 1 0 1	FD	Correspondencia de señal de prueba NULL, véase 17.4.1
1 1 1 1	1 1 1 0	FE	Correspondencia de señal de prueba PRBS, véase 17.4.2
1 1 1 1	1 1 1 1	FF	No disponible (nota 2)
<p>NOTA 1 – Hay 228 códigos reservados para futura normalización internacional.</p> <p>NOTA 2 – Estos valores se excluyen del conjunto de puntos de código disponibles. Estos esquemas de bits están presentes en las señales de mantenimiento de ODUk.</p> <p>NOTA 3 – El valor "01" sólo ha de ser utilizado cuando no se define un código de correspondencia en el cuadro anterior. Cuando se utiliza este código, las actividades de desarrollo (experimental) no afectan a la red OTN. No hay compatibilidad hacia adelante si se asigna ulteriormente un tipo específico de cabida útil. Si se asigna un nuevo código, el equipo que lo utiliza será reconfigurado para utilizar el nuevo código.</p> <p>NOTA 4 – Estos 16 valores de código no están sujetos a normalización.</p>			

15.9.2.1.2 Tara de identificador de estructura de cabida útil reservada (RES) de OPUk

Hay 255 octetos reservados en el PSI de OPUk para futura normalización internacional, salvo en el caso de los códigos PT 0x01, 0x80-0x8F. Estos octetos están en PSI[1] a [PSI255] de la tara de OPUk. Se ponen a todos CERO.

15.9.2.2 Tara específica de correspondencia de OPUk

Se reservan siete octetos en la tara de OPUk para tara específica de correspondencia. Estos octetos están en las filas 1 a 3, columnas 15 y 16 y en la fila 4, columna 16.

El uso de estos octetos depende de la correspondencia de señal de cliente específica (definida en cláusula 17).

16 Señales de mantenimiento

Una señal de indicación de alarma (AIS) es una señal enviada hacia el destino como una indicación de que se ha detectado un defecto en el sentido hacia el origen. La señal AIS es generada en una función sumidero de adaptación. La señal AIS es detectada en una función de sumidero de terminación de camino para suprimir defectos o fallos que de otro modo serían detectados como consecuencia de la interrupción del transporte de la señal original en un punto hacia el origen.

La indicación de defecto hacia adelante (FDI) es una señal enviada hacia el destino como una indicación de que se ha detectado un defecto en el sentido hacia el origen. La señal FDI es generada en una función sumidero de adaptación. La señal FDI es detectada en una función de sumidero de terminación de camino para suprimir defectos o fallos que de otro modo serían detectados como consecuencia de la interrupción del transporte de la señal original en un punto hacia el origen.

NOTA – AIS y FDI son señales similares. AIS se utiliza como término cuando la señal está en el dominio digital. FDI se utiliza como término cuando la señal está en el dominio óptico; FDI es transportada como tara no asociada en la señal de tara de OTM (OOS).

La indicación de conexión abierta (OCI) es una señal enviada hacia el destino como una indicación de que en el sentido hacia el origen la señal no está conectada a una fuente de terminación de camino. La señal OCI es generada en una función de conexión y es enviada por esta función de conexión por cada uno de sus puntos de conexión de salida que no están conectados a uno de sus puntos de conexión de entrada. La señal OCI es detectada en una función sumidero de terminación de camino.

La señal de bloqueo (LCK, *locked*) es una señal enviada hacia el destino como una indicación de que en el sentido hacia el origen la conexión está "bloqueada" y la señal no es transferida.

La indicación de cabida útil omitida (PMI) es una señal enviada hacia el destino como una indicación de que en el sentido hacia el origen en el punto fuente de la señal, o ninguno de los intervalos afluentes tiene una señal óptica o que la señal óptica no tiene cabida útil. Esto indica que el transporte de la señal afluente óptica está interrumpido.

Se genera una señal PMI en la función fuente de adaptación y es detectada en la función sumidero de terminación de camino, lo que suprime el defecto LOS que se produce en esta condición.

16.1 Señales de mantenimiento OTS

16.1.1 Indicación de cabida útil omitida de OTS (OTS-PMI)

OTS-PMI es generada como una indicación de que la cabida útil de OTS no contiene una señal óptica.

16.2 Señales de mantenimiento OMS

Se definen tres señales de mantenimiento OMS: OMS-FDI-P, OMS-FDI-O y OMS-PMI.

16.2.1 Indicación de defecto hacia adelante – Cabida útil OMS (OMS-FDI-P)

OMS-FDI-P es generada como una indicación de un defecto de capa de servidor OMS en la capa de red OTS.

16.2.2 Indicación de defecto hacia adelante OMS – Tara (OMS-FDI-O)

OMS-FDI-O es generada como una indicación cuando el transporte de OMS OH por OOS es interrumpido debido a una condición de fallo de señal en la OOS.

16.2.3 Indicación de ausencia de cabida útil de OMS (OMS-PMI)

OMS-PMI es generada como una indicación cuando ninguna de las OCC contiene una señal óptica.

16.3 Señales de mantenimiento OCh

Se definen tres señales de mantenimiento OCh: OCh-FDI-P, OCh-FDI-O y OCh-OCI.

16.3.1 Indicación de defecto hacia adelante OCh – Cabida útil (OCh-FDI-P)

OCh-FDI es generada como una indicación de un defecto de capa de servidor OCh en la capa de red OMS.

Cuando la OTUk es terminada, OCh-FDI es continuada como una señal ODUk-AIS.

16.3.2 Indicación de defecto hacia adelante OCh – Tara (OCh-FDI-O)

OCh-FDI-O es generada como indicación cuando el transporte de OCh OH por OOS es interrumpido debido a una condición de fallo de señal en la OOS.

16.3.3 Indicación de conexión abierta OCh (OCh-OCI)

La señal OCh-OCI indica a las funciones de procesamiento de transporte hacia el destino que la conexión OCh no está limitada, ni conectada, a una función fuente de terminación (por una conexión matriz). La indicación se usa para distinguir hacia el destino entre un canal óptico que falta debido a un defecto o debido a la conexión abierta (resultante de una instrucción de gestión).

NOTA – OCI es detectada en el siguiente equipo de terminación de camino OTUk hacia el destino. Si la conexión fue abierta deliberadamente, el informe de alarma conexo de esta terminación de camino debe ser inhabilitado utilizando el modo de control de información de alarmas (véase UIT-T M.3100/enm.3).

16.4 Señales de mantenimiento OTUk

16.4.1 Señal de indicación de alarma OTUk (OTUk-AIS)

OTUk-AIS (figura 16-1) es una señal AIS genérica (véase 16.6.1). Como la capacidad de OTUk (130 560 bits) no es un múltiplo entero de la longitud de secuencia PN-11 (2047 bits), la secuencia PN-11 puede cruzar una demarcación de trama OTUk.

NOTA – Por definición, OTUk-AIS sustenta una futura aplicación de capa de servidor. Un equipo OTN debe poder detectar la presencia de tal señal; no se requiere generar esa señal.

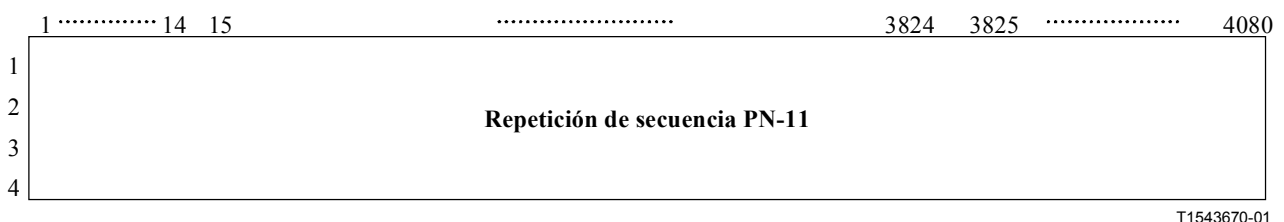


Figura 16-1/G.709/Y.1331 – OTUk-AIS

16.5 Señales de mantenimiento ODUk

Se definen tres señales de mantenimiento ODUk: ODUk-AIS, ODUk-OCI y ODUk-LCK.

16.5.1 Señal de indicación de alarma ODUk (ODUk-AIS)

ODUk-AIS se especifica como todos "1" en toda la señal ODUk, excluida la tara de alineación de trama (FA OH), la tara de OTUk (OTUk OH) y ODUk FTFL (figura 16-2).



T1543680-01

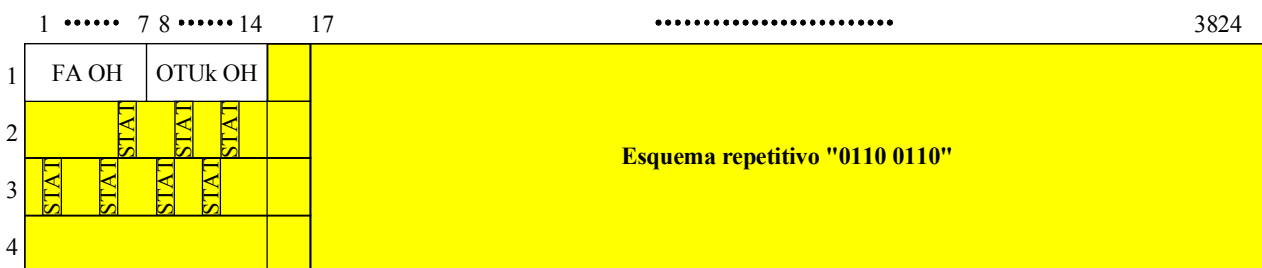
Figura 16-2/G.709/Y.1331 – ODUk-AIS

Además, la señal ODUk-AIS puede extenderse con uno o más niveles de conexión en cascada ODUk, GCC1, GCC2, EXP y/o tara de APS/PCC antes de ser presentada en la interfaz del OTM. Esto depende de la funcionalidad entre el punto de inserción de ODUk-AIS y la interfaz OTM.

La presencia de ODUk-AIS se detecta supervisando los bits STAT de ODUk en los campos de tara PM y TCMi.

16.5.2 Indicación de conexión abierta ODUk (ODUk-OCI)

ODUk-OCI se especifica como un esquema repetitivo "0110 0110" en toda la señal ODUk, excluida la tara de alineación de trama (FA OH) y la tara de OTUk (OTUk OH) (figura 16-3).



T1543690-01

Figura 16-3/G.709/Y.1331 – ODUk-OCI

NOTA – El esquema repetitivo "0110 0110" es el esquema por defecto; también se permiten otros esquemas siempre que los bits STAT de los campos de tara PM y TCMi sean puestos a "110".

Además, la señal ODUk-OCI puede extenderse con uno o más niveles de conexión en cascada ODUk, GCC1, GCC2, EXP y/o tara de APS/PCC antes de ser presentada en la interfaz del OTM. Esto depende de la funcionalidad entre el punto de inserción de ODUk-OCI y la interfaz OTM.

La presencia de ODUk-OCI se detecta supervisando los bits STAT de ODUk en los campos de tara PM y TCMi.

16.5.3 ODUk bloqueada (ODUk-LCK)

ODUk-LCK se especifica como un esquema repetitivo "0101 0101" en toda la señal ODUk, excluida la tara de alineación de trama (FA OH) y la tara de OTUk (OTUk OH) (figura 16-4).

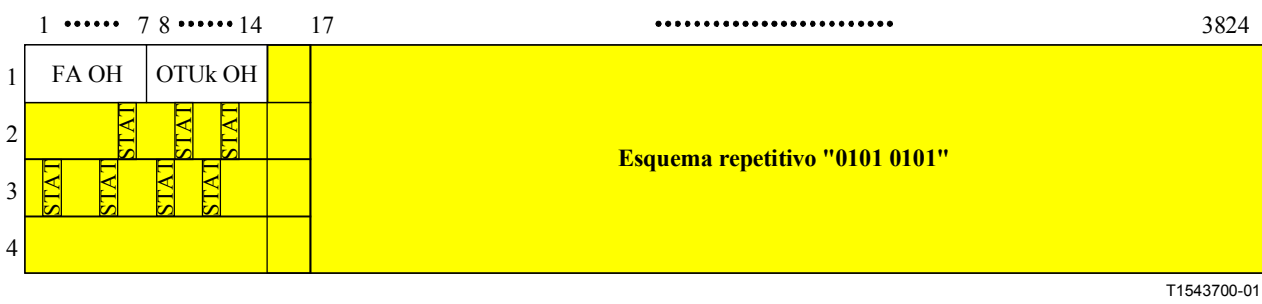


Figura 16-4/G.709/Y.1331 – ODUk-LCK

NOTA – El esquema repetitivo "0101 0101" es el esquema por defecto; también se permiten otros esquemas siempre que los bits STAT de los campos de tara PM y TCMi sean puestos a "101".

Además, la señal ODUk-LCK puede extenderse con uno o más niveles de conexión en cascada ODUk, GCC1, GCC2, EXP y/o tara de APS/PCC antes de ser presentada en la interfaz del OTM. Esto depende de la funcionalidad entre el punto de inserción de ODUk-LCK y la interfaz OTM.

La presencia de ODUk-LCK se detecta supervisando los bits STAT de ODUk en los campos de tara PM y TCMi.

16.6 Señal de mantenimiento de cliente

16.6.1 AIS genérica para señales de velocidad binaria constante

La señal AIS genérica es una señal con una secuencia repetitiva de número de polinomio 11 (PN-11) de 2047 bits.

La secuencia PN-11 se define por el polinomio generador $1 + x^9 + x^{11}$ según se especifica en 5.2/O.150. (Véase la figura 16-5.)

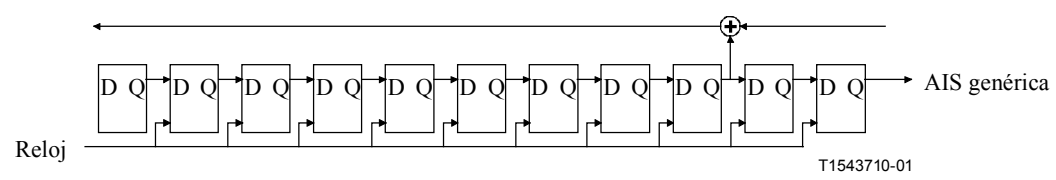


Figura 16-5/G.709/Y.1331 – Circuito de generación de la AIS genérica

17 Correspondencia de señales de cliente

17.1 Correspondencia de señales CBR2G5, CBR10G y CBR40G (por ejemplo, STM-16/64/256) con OPUk

La correspondencia de una señal CBR2G5, CBR10G o CBR40G (con tolerancia de velocidad binaria de hasta ± 20 ppm) con una OPUk ($k = 1,2,3$) se puede efectuar según dos modos diferentes (asíncrono y síncrono de bits) basados en una estructura genérica de la trama OPUk (figura 17-1).

NOTA 1 – STM-16, STM-64 y STM-256 son ejemplos de estas señales.

NOTA 2 – La tolerancia de velocidad binaria máxima entre OPUk y el reloj de señal de cliente que puede ser admitida por este esquema de correspondencia es ± 65 ppm. Con una tolerancia de velocidad binaria de ± 20 ppm para el reloj de OPUk, la tolerancia de velocidad binaria de la señal de cliente puede ser ± 45 ppm.

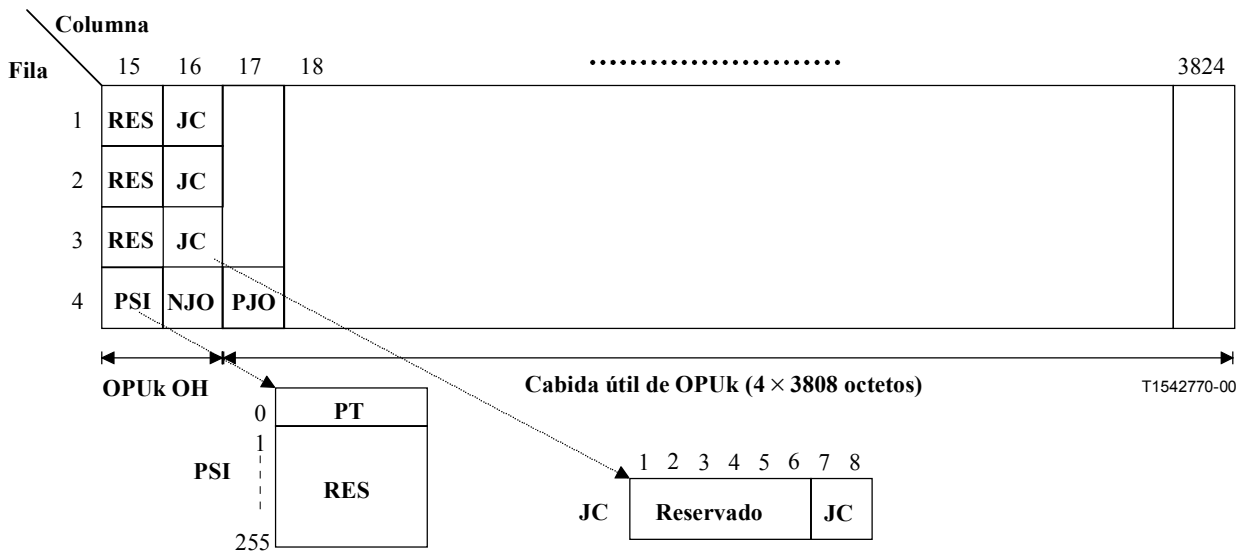


Figura 17-1/G.709/Y.1331 – Estructura de trama de OPUk para la correspondencia de una señal CBR2G5, CBR10G o CBR40G

La trama de OPUk para estas correspondencias consiste en un identificador de estructura de cabida útil (PSI) que incluye el tipo de cabida útil (PT), tres octetos de control de justificación (JC, *justification control*), un octeto de oportunidad de justificación negativa (NJO, *negative justification opportunity*) y tres octetos reservados para futura normalización internacional (RES). Los octetos JC constan de dos bits para control de justificación y seis bits reservados para futura normalización internacional.

La cabida útil de OPUk para esta correspondencia consiste en 4×3808 octetos, que incluyen un octeto de oportunidad de justificación positiva (PJO, *positive justification opportunity*).

La señal de justificación de control (JC), que está en las filas 1, 2 y 3 de la columna 16, bits 7 y 8, se utiliza para controlar los dos octetos de oportunidad de justificación NJO y PJO que siguen en la fila 4.

Los procesos de correspondencia asíncrona y de bits síncronos generan JC, NJO y PJO de acuerdo con los cuadros 17-1 y 17-2, respectivamente. El proceso de descorrespondencia interpreta JC, NJO y PJO de acuerdo con el cuadro 17-3. Se utilizará el voto por mayoría (dos de tres) para tomar la decisión de justificación en el proceso de descorrespondencia para protección contra un error en una de las tres señales JC.

Cuadro 17-1/G.709/Y.1331 – Generación de JC, NJO y PJO por el proceso de correspondencia asíncrona

JC [78]	NJO	PJO
00	octeto de justificación	octeto de dato
01	octeto de dato	octeto de dato
10	no generado	
11	octeto de justificación	octeto de justificación

Cuadro 17-2/G.709/Y.1331 – Generación de JC, NJO y PJO por el proceso de correspondencia síncrona de bits

JC [78]	NJO	PJO
00	octeto de justificación	octeto de dato
01	no generado	
10		
11		

Cuadro 17-3/G.709/Y.1331 – Interpretación de JC, NJO y PJO

JC [78]	NJO	PJO
00	octeto de justificación	octeto de dato
01	octeto de dato	octeto de dato
10 (nota)	octeto de justificación	octeto de dato
11	octeto de justificación	octeto de justificación
NOTA – Un circuito de correspondencia no genera este código. Un circuito de descorrespondencia podría recibir este código por causa de errores de bits.		

El valor contenido en NJO y PJO cuando se usan como octetos de justificación es todos "0". El receptor tiene que pasar por alto el valor contenido en estos octetos cuando se usan como octetos de justificación.

Durante una condición de fallo de la señal de cliente CBR2G5, CBR10G o CBR40G (por ejemplo, en el caso de pérdida de señal de entrada), esta señal entrante incorrecta es reemplazada por la señal AIS genérica según se especifica en 16.6.1, y luego se hace corresponder en la OPUk.

Cuando se produce una condición de fallo (de señal) de la señal entrante ODUk/OPUk (por ejemplo, en el caso de una condición ODUk-AIS, ODUk-LCK, ODUk-OCI), el esquema de AIS genérica (especificado en 16.6.1) es generado como señal de reemplazo de la señal perdida CBR2G5, CBR10G o CBR40G.

Correspondencia asíncrona

La señal OPUk para la correspondencia asíncrona se crea a partir de un reloj generado localmente (dentro de los límites especificados en el cuadro 17-3), que es independiente de la señal de cliente CBR2G5, CBR10G o CBR40G (es decir, $4^{(k-1)} \times 2\,488\,320$ kbit/s ($k = 1,2,3$)).

La señal CBR2G5, CBR10G, CBR40G (es decir, $4^{(k-1)} \times 2\,488\,320$ kbit/s ($k = 1,2,3$)) se hace corresponder en la OPUk mediante un esquema de justificación positivo/negativo/cero (pnz).

Correspondencia síncrona de bits

El reloj OPUk para la correspondencia síncrona de bits se deriva de la señal de cliente CBR2G5, CBR10G o CBR40G (es decir, $4^{(k-1)} \times 2\,488\,320$ kbit/s ($k = 1,2,3$)). Durante condiciones de fallo de la señal CBR2G5, CBR10G o CBR40G entrante (por ejemplo, en el caso de pérdida de la señal de entrada), la velocidad binaria de la señal de cabida útil de OPUk estará dentro de los límites especificados en el cuadro 17-3 y no se introducirá discontinuidad de fase ni de frecuencia ni de trama. La resincronización de la señal CBR2G5, CBR10G o CBR40G entrante se efectuará sin introducir una discontinuidad de frecuencia o de fase de trama.

	15	16	17	1264	1265	1280	1281	2544	2545	2560	2561	3824
1	RES	RES	JC		78 × 16D			16FS			79 × 16D			16FS			79 × 16D
2	RES	RES	JC		78 × 16D			16FS			79 × 16D			16FS			79 × 16D
3	RES	JC	JC		78 × 16D			16FS			79 × 16D			16FS			79 × 16D
4	PSI	NJO	PJO		15D + 77 × 16D			16FS			79 × 16D			16FS			79 × 16D

T1542800-00

Figura 17-4/G.709/Y.1331 – Correspondencia de una señal CBR40G en OPU3

17.2 Correspondencia de tren de células ATM con OPUk

Un tren de células ATM de velocidad binaria constante con una capacidad idéntica a la zona de cabida útil de OPUk se crea multiplexando las células ATM de un conjunto de señales ATM VP. La adaptación de velocidad se efectúa como parte de este proceso de creación de tren de células insertando células en reposo o descartando células. Véase UIT-T I.432.1. El tren de células ATM se hace corresponder en la zona de cabida útil de OPUk con la estructura de octetos de células ATM alineada con la estructura de octetos de cabida útil de ODUk (figura 17-5). Las demarcaciones de célula ATM están así alineadas con las demarcaciones de octetos de cabida útil de OPUk. Como la capacidad de cabida útil de OPUk (15 232 octetos) no es un múltiplo entero de la longitud de célula (53 octetos), una célula puede cruzar una demarcación de trama OPUk.

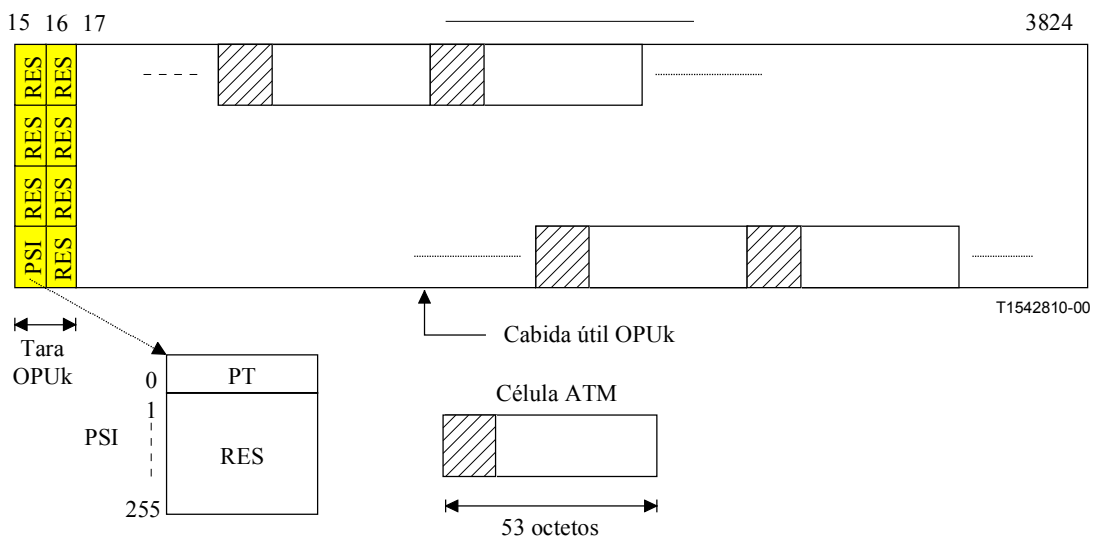


Figura 17-5/G.709/Y.1331 – Estructura de trama de OPUk y correspondencia de células ATM en OPUk

El campo de información de célula ATM (48 octetos) será aleatorizado antes de la correspondencia en la OPUk. En la operación inversa, después de la terminación de la señal OPUk, el campo de información de la célula ATM será desaleatorizado antes de pasar a la capa ATM. Se utilizará un aleatorizador autosincronizador con el polinomio generador $x^{43} + 1$ (como se especifica en UIT-T I.432.1). El aleatorizador funciona mientras dura el campo de información de célula. Durante el encabezamiento de 5 octetos, el funcionamiento del aleatorizador es suspendido y se retiene el estado del aleatorizador. La primera célula transmitida al arrancar estará corrompida, porque el

desaleatorizador en el extremo receptor no estará sincronizado con el aleatorizador del transmisor. Se necesita la aleatorización del campo de información de célula para proporcionar seguridad contra falsa delineación de célula y la replicación por parte del campo de información de célula de la señal de alineación de trama de OTUk y ODUk.

Al extraer el tren de células ATM de la zona de cabida útil de OPUk después de la terminación de ODUk, debe ser recuperada la célula ATM. El encabezamiento de célula ATM contiene un campo de control de errores del encabezamiento (HEC, *header error control*), que se puede usar de manera similar a la palabra de alineación de trama para lograr la delineación de célula. Este método HEC utiliza la correlación entre los bits de encabezamiento que han de ser protegidos por el HEC (32 bits) y el bit de control del HEC (8 bits) introducido en el encabezamiento después del cálculo con un código cíclico abreviado de polinomio generador $g(x) = x^8 + x^2 + x + 1$.

El resto de este polinomio se añade después al esquema fijo "01010101" para mejorar la característica de delineación de célula. Este método es similar a la recuperación de alineación de trama convencional, en la cual la señal de alineación no es fija sino que varía de una célula a otra.

En UIT-T I.432.1 se da más información sobre la delineación de célula HEC.

La tara de OPUk para la correspondencia ATM consiste en un identificador de estructura de cabida útil (PSI) que incluye el tipo de cabida útil (PT) y siete octetos reservados para futura normalización internacional (RES).

La cabida útil de OPUk para la correspondencia ATM consta de 4×3808 octetos.

17.3 Correspondencia de tramas GFP en OPUk

La correspondencia de tramas del procedimiento genérico de alineación de trama (GFP, *generic framing procedure*) se efectúa alineando la estructura de octetos de cada trama GFP con la estructura de octetos de la cabida útil de OPUk (figura 17-6). Como las tramas GFP tienen longitud variable (la correspondencia no impone restricciones a la máxima longitud de trama), una trama puede cruzar la demarcación de trama OPUk.

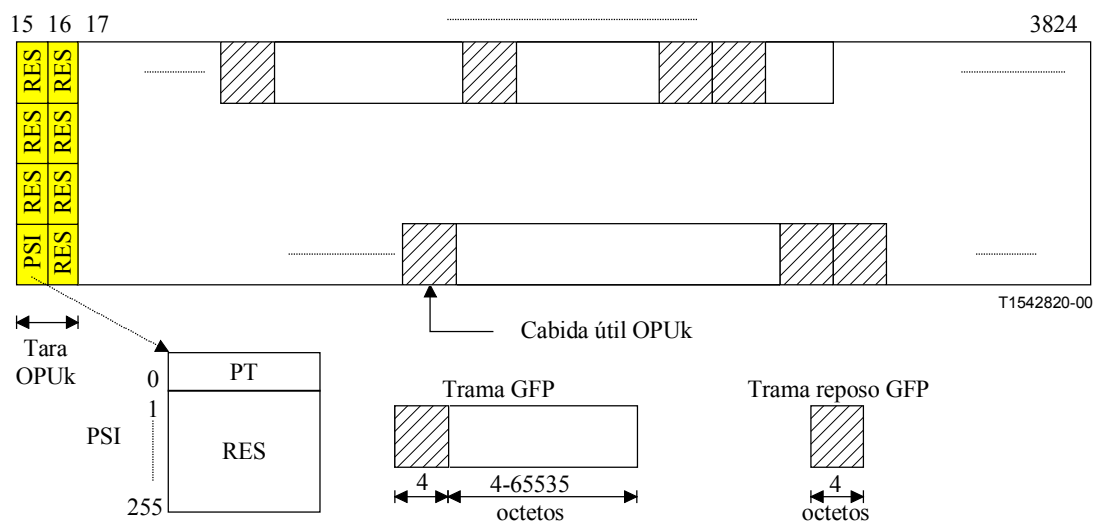


Figura 17-6/G.709/Y.1331 – Estructura de trama de OPUk y correspondencia de tramas GFP en OPUk

Las tramas GFP llegan como un tren de bits continuos con una capacidad idéntica a la zona de cabida útil de OPUk, debido a la inserción de tramas en reposo en la etapa de encapsulación GFP. El tren de tramas GFP es aleatorizado durante la encapsulación.

NOTA – No se requiere adaptación de velocidad ni aleatorización en la etapa de correspondencia; esto lo efectúa por el GFP en el proceso de encapsulación.

La tara de OPUk para la correspondencia GFP consiste en un identificador de estructura de cabida útil (PSI) que incluye el tipo de cabida útil (PT) y siete octetos reservados para futura normalización internacional (RES).

La cabida útil de OPUk para la correspondencia GFP consta de 4×3808 octetos.

17.4 Correspondencia de la señal de prueba en OPUk

17.4.1 Correspondencia de cliente NULL en OPUk

Se define una señal de cabida útil de OPUk con un esquema todos "0" (figura 17-7), con fines de prueba. Esto se denomina el cliente NULL.

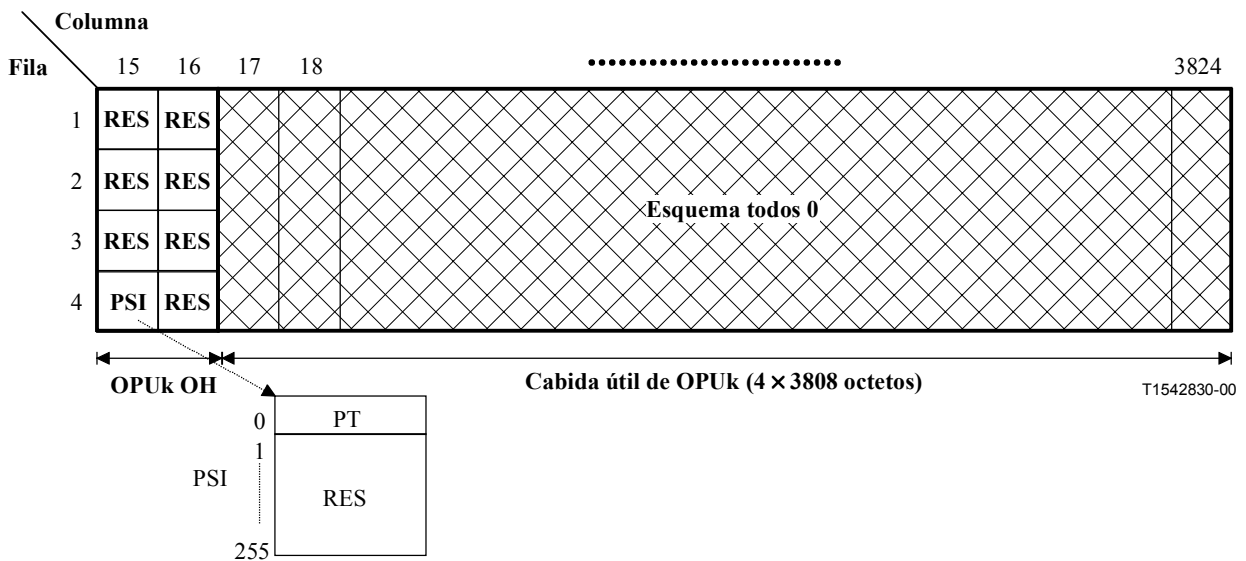


Figura 17-7/G.709/Y.1331 – Estructura de trama OPUk y correspondencia de cliente NULL en OPUk

La tara de OPUk para la correspondencia NULL consiste en un identificador de estructura de cabida útil (PSI) que incluye el tipo de cabida útil (PT) y siete octetos reservados para futura normalización internacional (RES).

La cabida útil de OPUk para la correspondencia NULL consta de 4×3808 octetos.

17.4.2 Correspondencia de la señal de prueba PRBS en OPUk

Para efectuar pruebas, una secuencia de prueba pseudoaleatoria de 2 147 483 647 bits ($2^{31}-1$) especificada en 5.8/O.150 puede hacerse corresponder en la cabida útil de OPUk. Los grupos de 8 bits sucesivos de la señal de secuencia de prueba pseudoaleatoria de 2 147 483 647 bits se hacen corresponder a 8 bits de datos (8D) (es decir, un octeto) de la cabida útil de ODU3 (figura 17-8).

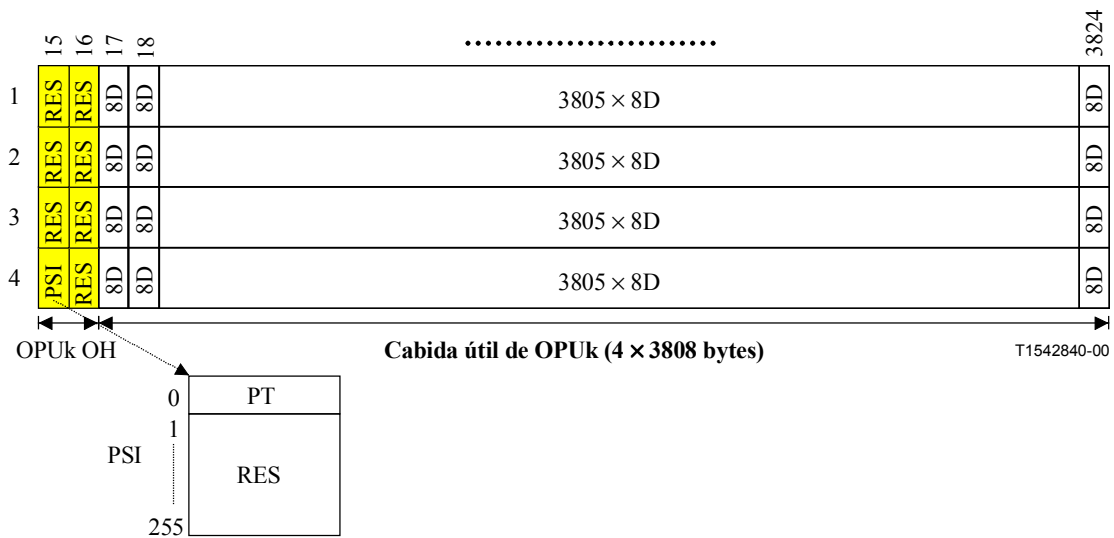


Figura 17-8/G.709/Y.1331 – Estructura de trama OPUk y correspondencia de secuencia de prueba pseudoaleatoria de 2 147 483 647 bits en OPUk

La tara de OPUk para la correspondencia PRBS consiste en un identificador de estructura de cabida útil (PSI) que incluye el tipo de cabida útil (PT) y siete octetos reservados para futura normalización internacional (RES).

La cabida útil de OPUk para la correspondencia PRBS consta de 4 × 3808 octetos.

17.5 Correspondencia de un tren de bits de cliente no específico en OPUk

Además de la correspondencia de las señales de cliente especificadas en otras subsecciones de esta sección, se define una correspondencia de señales de cliente no específica en OPUk. Cualquier señal (conjunto de señales) de cliente, después de la encapsulación en un tren de bits continuos con una velocidad binaria de la cabida útil de OPUk, puede hacerse corresponder en la cabida útil de OPUk (figura 17-9). El tren de bits debe ser síncrono con la señal OPUk. Cualquier justificación hay que incluirla en el proceso de creación del tren de bits continuo. Este tren de bits debe ser aleatorizado antes de la correspondencia en la cabida útil de OPUk.

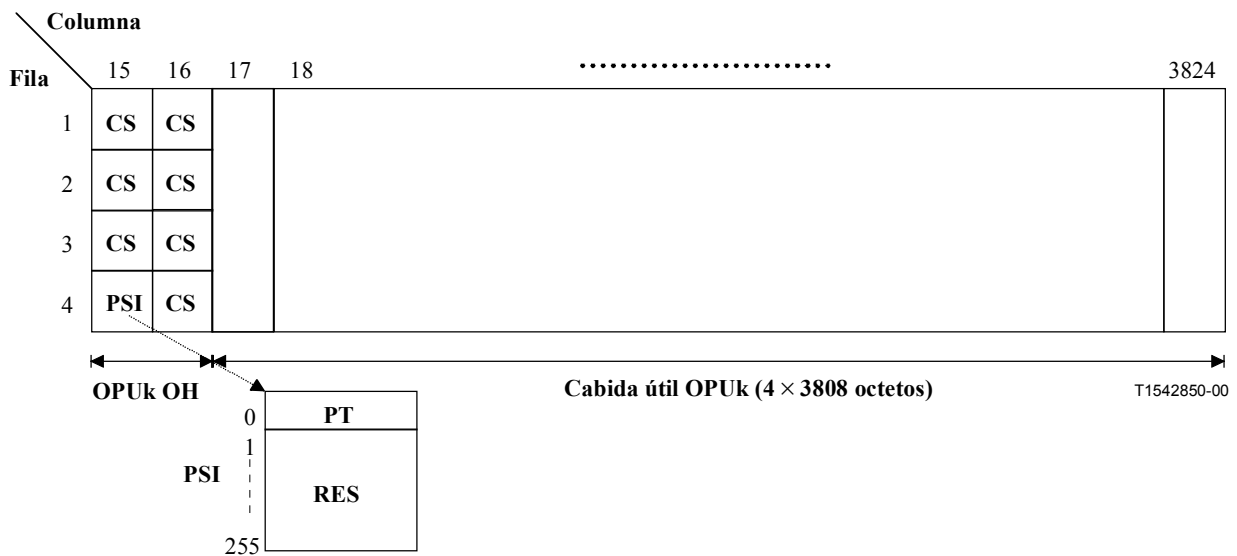


Figura 17-9/G.709/Y.1331 – Estructura de trama OPUk para la correspondencia de un tren de bits síncrono de velocidad constante

La tara de OPUk para la correspondencia consiste en un identificador de estructura de cabida útil (PSI) que incluye el tipo de cabida útil (PT) y siete octetos para fines específicos de cliente (CS). La definición de estos octetos de tara de CS se efectúa dentro de la especificación del proceso de encapsulación.

La cabida útil de OPUk para esta correspondencia no específica consta de 4×3808 octetos.

17.5.1 Correspondencia del tren de bits con temporización de octetos en OPUk

Si se dispone de temporización de octetos, cada octeto del tren de datos entrante se hará corresponder a un octeto de datos (octeto) de la cabida útil de OPUk.

17.5.2 Correspondencia del tren de bits sin temporización de octetos en OPUk

Si no se dispone de temporización de octetos, grupos de 8 bits sucesivos (que no son necesariamente un octeto) del tren de datos entrante se harán corresponder a un octeto de datos de la cabida útil de OPUk.

17.6 Correspondencia de otras señales de velocidad binaria constante con justificación en OPUk

Para ulterior estudio.

ANEXO A

Corrección intrínseca de errores mediante 16 códecs RS(255,239) con entrelazado de octetos

La corrección intrínseca de errores o corrección de errores en recepción (FEC, *forward error correction*) para la OTUk utiliza 16 códecs con entrelazado de octetos mediante un código de Reed-Solomon RS(255,239). El código RS(255,239) es un código no binario (el algoritmo FEC opera sobre símbolos de octetos) y pertenece a la familia de códigos de bloque cíclicos lineales sistemáticos.

Para el procesamiento FEC, una fila de OTU se separa en 16 subfilas utilizando el entrelazado de octetos como se muestra en la figura A.1. Cada codificador/decodificador FEC procesa una de estas subfilas. Los octetos de control de paridad FEC se calculan para los octetos de información 1 a 239 de cada subfila y se transmiten en los octetos 240 a 255 de la misma subfila.

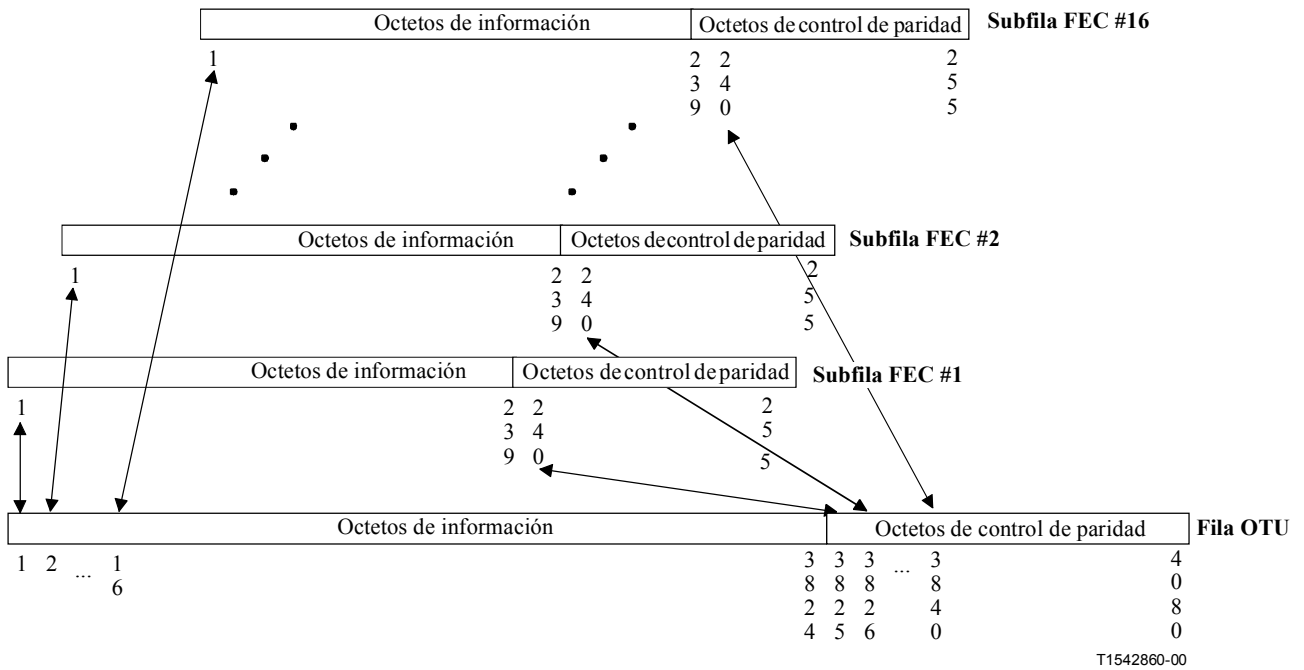


Figura A.1/G.709/Y.1331 – Subfilas FEC

Los octetos de una fila OTU pertenecientes a la subfila X de FEC se definen por: $X+16 \cdot (i-1)$ (para $i = 1 \dots 255$).

El polinomio generador del código viene dado por:

$$G(z) = \prod_{i=0}^{15} (z - \alpha^i)$$

donde α es una raíz del polinomio primitivo binario $x^8 + x^4 + x^3 + x^2 + 1$.

La palabra de código FEC (figura A.2) consiste en octetos de información y octetos de paridad (redundancia FEC) y está representada por el polinomio:

$$C(z) = I(z) + R(z)$$

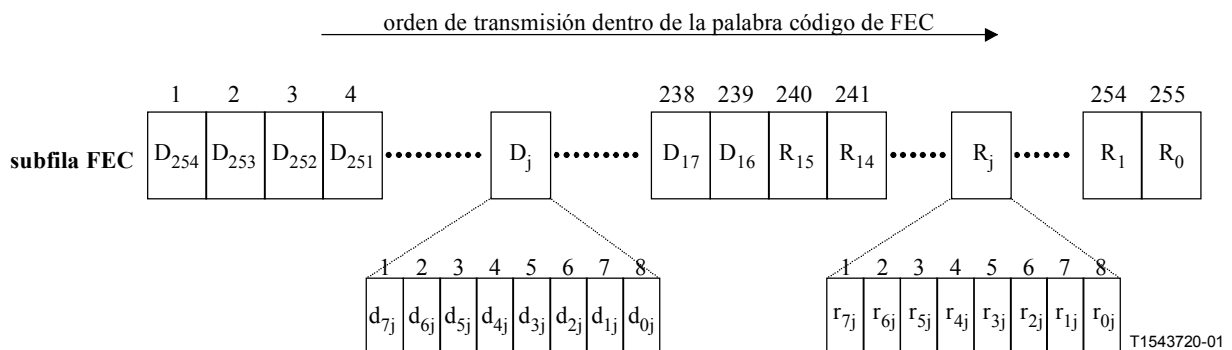


Figura A.2/G.709/Y.1331 – Palabra de código FEC

Los octetos de información están representados por:

$$I(z) = D_{254} \cdot z^{254} + D_{253} \cdot z^{253} + \dots + D_{16} \cdot z^{16}$$

Donde D_j ($j = 16$ a 254) es el octeto de información representado por un elemento de GF(256) y

$$D_j = d_{7j} \cdot \alpha^7 + d_{6j} \cdot \alpha^6 + \dots + d_{1j} \cdot \alpha^1 + d_{0j}$$

El bit d_{7j} es el MSB y d_{0j} el LSB del octeto de información.

D_{254} corresponde al octeto 1 en la subfila FEC y D_{16} al octeto 239.

Los octetos de paridad están representados por:

$$R(z) = R_{15} \cdot z^{15} + R_{14} \cdot z^{14} + \dots + R_1 \cdot z^1 + R_0$$

Donde R_j ($j = 0$ a 15) es el octeto de paridad representado por un elemento de GF(256) y

$$R_j = r_{7j} \cdot \alpha^7 + r_{6j} \cdot \alpha^6 + \dots + r_{1j} \cdot \alpha^1 + r_{0j}$$

El bit r_{7j} es el MSB y r_{0j} el LSB del octeto de paridad.

R_{15} corresponde al octeto 240 en la subfila FEC y R_0 al octeto 255.

$R(z)$ se calcula por:

$$R(z) = I(z) \text{ mod } G(z)$$

donde "mod" es cálculo de módulo sobre el polinomio generador $G(z)$ con elementos de GF(256). Cada elemento en GF(256) se define por el polinomio primitivo binario $x^8 + x^4 + x^3 + x^2 + 1$.

La distancia de Hamming del código RS(255,239) es $d_{\min} = 17$. El código puede corregir hasta 8 errores de símbolo en la palabra de código FEC cuando se usa para corrección de errores. FEC puede detectar hasta 16 errores de símbolo en la palabra de código FEC cuando se utiliza para la capacidad de detección solamente.

APÉNDICE I

Gama de proporciones de relleno para correspondencias asíncronas de señales de cliente CBR2G5, CBR10G y CBR40G que tienen una tolerancia de velocidad binaria de ± 20 ppm en OPUk

La cláusula 17.1 describe correspondencias asíncronas y síncronas de bits de las señales de cliente CBR2G5, CBR10G, y CBR40G que tienen una tolerancia de velocidad binaria de ± 20 ppm en OPU1, 2 y 3, respectivamente. En el caso de correspondencias asíncronas, toda diferencia de frecuencia entre el reloj de cliente y el reloj de OPUk local es acomodada por el esquema de justificación positivo/negativo/cero (pnz). Las velocidades binarias y tolerancias de la cabida útil de OPUk, ODUk y OTUk se indican en 7.2. Las velocidades de ODU1, ODU2, y ODU3 son 239/238, 239/237, y 239/236 veces 2 488 320 kbit/s, 9 953 280 kbit/s y 39 813 120 kbit/s, respectivamente. Las tolerancias de velocidad binaria de ODUk son ± 20 ppm. Este apéndice muestra que el esquema de justificación pnz puede acomodar estas velocidades binarias y tolerancias, y también deriva la gama de proporciones de justificación (relleno) para cada correspondencia.

La correspondencia de pnz en 17.1 proporciona una oportunidad de justificación positiva (PJO) y una negativa (NJO) en cada trama ODUk. Tradicionalmente, la relación de justificación (proporción de relleno) para esquemas de justificación puramente positiva se define como la fracción promedio, en una larga pasada, de oportunidades de justificación para las cuales se efectúa una justificación (es decir, para un número muy grande de tramas, la proporción del número de justificaciones con

respecto al número total de oportunidades de justificación). En el esquema pnz se debe distinguir entre justificaciones positivas y negativas. Esto se hace usando signos algebraicos diferentes para justificaciones positivas y negativas. Con este convenio, la proporción de justificación puede variar como máximo (para desplazamientos de frecuencia suficientemente grandes) de -1 a $+1$ (en contraste con un esquema de justificación puramente positiva, donde la proporción de justificación puede variar como máximo de 0 a 1). Sea α la proporción de justificación ($-1 \leq \alpha \leq 1$), y se utilice el convenio de que α positiva corresponderá a justificación negativa, y α negativa corresponderá a justificación positiva (el fundamento de este convenio se explica más adelante).

Se define la siguiente notación:

N	Número de octetos de relleno fijo en la zona de cabida útil de OPUk.
S	Velocidad de cliente nominal (octetos/s).
T	Periodo de trama ODUk nominal(es).
β	Proporción de la diferencia de frecuencia real entre la frecuencia ODUk y frecuencia de cliente y el valor nominal de esta diferencia (el valor nominal es la diferencia de frecuencia entre las frecuencias de ODUk y de cliente cuando ambas son nominales).
N_f	Número promedio de octetos de cliente que se hacen corresponder en una trama ODUk, para desplazamientos de frecuencia concretos (promediados en un gran número de tramas).

Entonces, N_f viene dado por:

$$N_f = S \cdot \beta \cdot T \quad (\text{I-1})$$

Sin embargo, el número promedio de octetos de cliente que se ha hecho corresponder en una trama ODUk es también igual al número total de octetos en la zona de cabida útil (que es $(4)(3808) = 15232$), menos el número de octetos de relleno fijo (N), más el número promedio de octetos rellenos en un número muy grande de tramas. Esto último es igual a la proporción de justificación α . La combinación de esto con la ecuación (I-1) produce:

$$S \cdot \beta \cdot T = 15232 - N + \alpha \quad (\text{I-2})$$

En la ecuación (I-2), α positiva corresponde a más octetos de cliente que se han hecho corresponder en la ODUk, como promedio. Sin embargo, esto correspondería a una justificación negativa. Este convenio de signos se usa de modo que α entre en la ecuación (I-2) con un signo positivo (por razones de conveniencia).

De acuerdo con lo anterior, se puede determinar la gama de α para cada correspondencia de cliente. Como se verá, en los tres casos α está en la gama $[-1, 1]$.

Correspondencia asíncrona de la señal CBR2G5 (2 488 320 kbit/s) en OPU1

La velocidad nominal de ODU1 es $(239/238)S$. Sin embargo, la velocidad nominal de ODU1 es también igual a $(4 \times 3824)/T$.

Entonces,

$$S \cdot T = 4 \times 3824 \times \frac{238}{239} = 15232 \quad (\text{I-3})$$

Insertando esto en la ecuación (I-2), y dado que $N = 0$ (no hay octetos de relleno fijo) para esta correspondencia se tiene:

$$\alpha = 15232(\beta - 1) \quad (\text{I-4})$$

Como las tolerancias de frecuencia de ODUk y de cliente son ± 20 ppm, β está comprendida en la gama de 0,99996 a 1,00004. Insertando esta expresión en la ecuación (I-4) se obtiene la siguiente gama de α :

$$-0,60928 \leq \alpha \leq +0,60928 \quad (\text{I-5})$$

Correspondencia asíncrona de la señal CBR10G (9 953 280 kbit/s) en OPU2

La velocidad nominal de ODU2 es $(239/237)S$. Sin embargo, la velocidad nominal de ODU2 es también igual a $(4 \times 3824)/T$.

Entonces,

$$S \cdot T = 4 \times 3824 \times \frac{237}{239} = 15168 \quad (\text{I-6})$$

Insertando esto en la ecuación (I-2), y dado que $N = 64$ (número de octetos de relleno fijo) para esta correspondencia se tiene:

$$\alpha = 15168 \times \beta + 64 - 15232 = 15168(\beta - 1) \quad (\text{I-7})$$

Como en el caso anterior, las tolerancias de frecuencia de ODUk y de cliente son ± 20 ppm, y β está comprendida en la gama de 0,99996 a 1,00004. Insertando esta expresión en la ecuación (I-7) se obtiene la siguiente gama de α :

$$-0,60672 \leq \alpha \leq +0,60672 \quad (\text{I-8})$$

Correspondencia asíncrona de la señal CBR40G (39 813 120 kbit/s) en OPU3

La velocidad nominal de ODU3 es $(239/236)S$. Sin embargo, la velocidad nominal de ODU3 es también igual a $(4 \times 3824)/T$.

Entonces,

$$S \cdot T = 4 \times 3824 \times \frac{236}{239} = 15104 \quad (\text{I-9})$$

Insertando esto en la ecuación (I-2), y dado que $N = 128$ (número de octetos de relleno fijo) para esta correspondencia se tiene:

$$\alpha = 15104 \times \beta + 128 - 15232 = 15104(\beta - 1) \quad (\text{I-10})$$

Como en el caso anterior, las tolerancias de frecuencia de ODUk y de cliente son ± 20 ppm, y β está comprendida en la gama de 0,99996 a 1,00004. Insertando esta expresión en la ecuación (I-7) se obtiene la gama de α :

$$-0,60416 \leq \alpha \leq +0,60416 \quad (\text{I-11})$$

APÉNDICE II

Ejemplos de estructuras de tramas OTU normalizadas funcionalmente

Este apéndice proporciona ejemplos de estructuras de tramas OTU normalizadas funcionalmente. Estos ejemplos son ilustrativos y no suponen una definición de tales estructuras. La estructura de trama OTUk completamente normalizada definida en la presente Recomendación se muestra en la figura II.1. Se necesitarán estructuras de trama OTUkV funcionalmente normalizadas para sustentar, por ejemplo, una FEC alternativa. Ejemplos de estructuras de tramas OTUkV:

- OTUkV con la misma asignación de octetos de tara que la OTUk, pero con una FEC alternativa, como se muestra en la figura II.2;
- OTUkV con la misma asignación de octetos de tara que la OTUk, pero con un código FEC alternativo más pequeño y el resto de la zona de tara OTUkV FEC con relleno fijo, como se muestra en la figura II.3;
- OTUkV con una mayor asignación de octetos de tara FEC que la OTUk, y con FEC alternativa, como se muestra en la figura II.4;
- OTUkV sin asignación de octetos de tara para FEC, como se muestra en la figura II.5;
- OTUkV con una estructura de trama diferente de la estructura de trama de OTUk, que sustenta una tara de OTU diferente (tara de OTUkV y OTUkV FEC), como se muestra en la figura II.6;
- OTUkV con una estructura de trama diferente de la estructura de trama de OTUk, que sustenta una tara de OTU (tara de OTUkV) diferente y sin asignación de octetos de tara para FEC, como se muestra en la figura II.7.

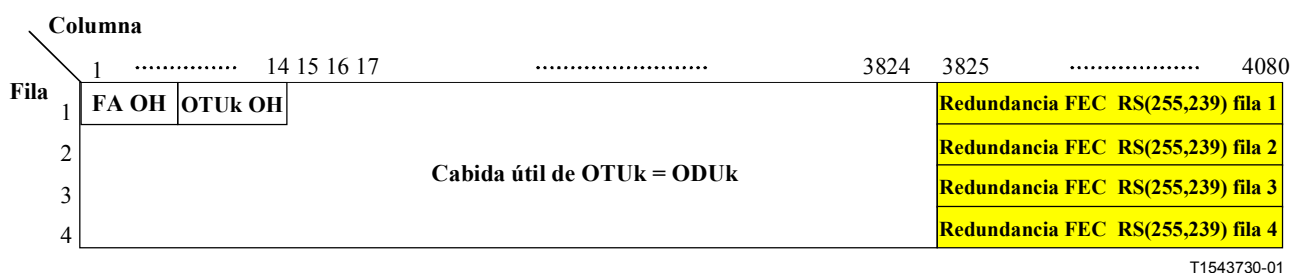


Figura II.1/G.709/Y.1331 – OTUk (con FEC RS(255,239))

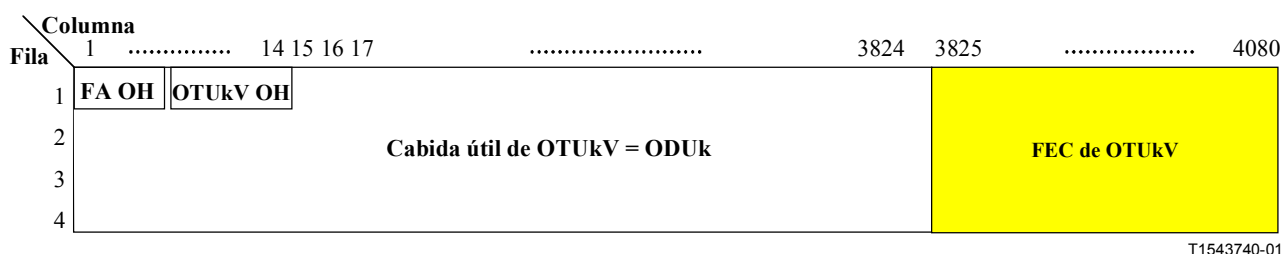


Figura II.2/G.709/Y.1331 – OTUkV con FEC alternativa

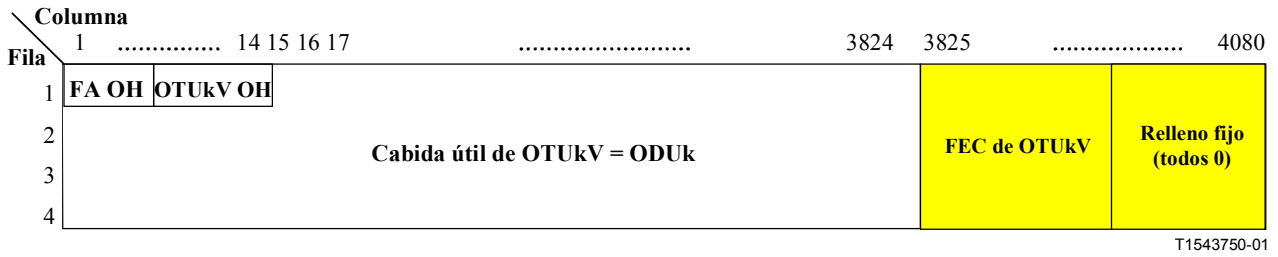


Figura II.3/G.709/Y.1331 – OTUKV con FEC más pequeña y el resto de la zona FEC con relleno fijo

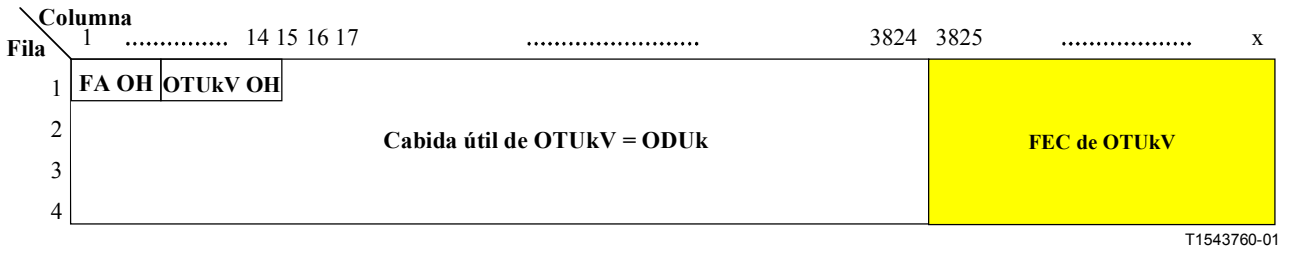


Figura II.4/G.709/Y.1331 – OTUKV con FEC más grande

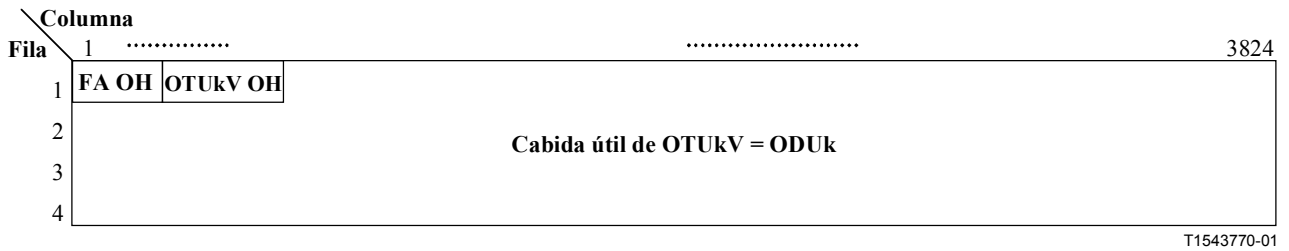


Figura II.5/G.709/Y.1331 – OTUKV sin zona FEC

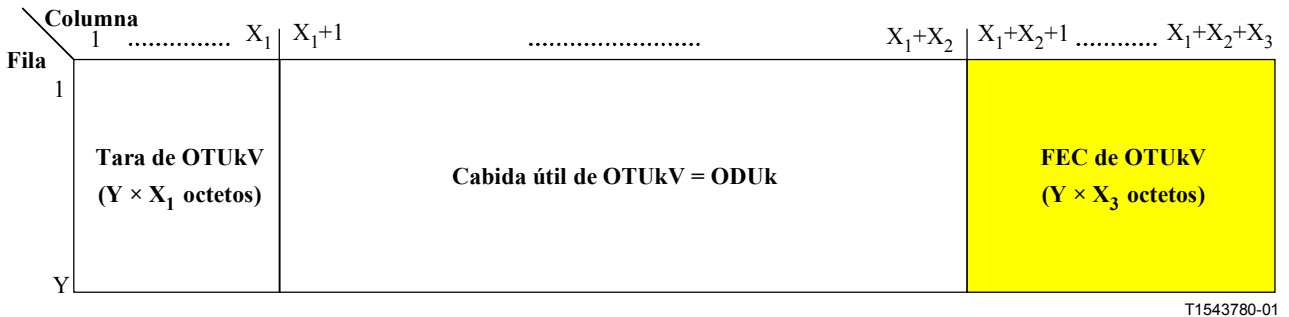


Figura II.6/G.709/Y.1331 – OTUKV con estructura de trama diferente

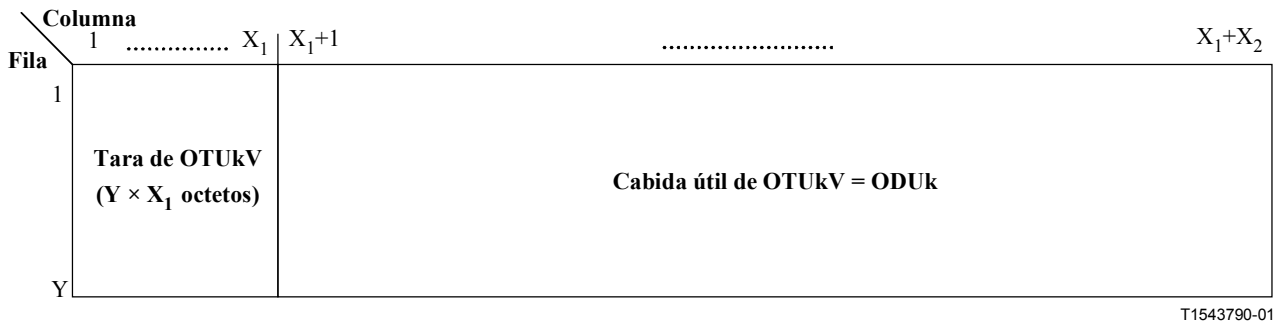


Figura II.7/G.709/Y.1331 – OTUkV con estructura de trama diferente y sin zona FEC

La correspondencia de la señal ODUk en la OTUkV puede ser síncrona de trama, asíncrona de trama, o síncrona de bits en el caso de las figuras II.1 a II.5. En el caso de las figuras II.6 y II.7, la correspondencia de la señal ODUk puede ser asíncrona, o síncrona de bits.

En el caso de una correspondencia asíncrona, las velocidades binarias de ODUk y OTUkV pueden ser asíncronas. La señal ODUk se hace corresponder como un tren de bits en la zona de cabida útil de OTUkV utilizando una técnica de relleno.

En el caso de una correspondencia síncrona de bits, las velocidades binarias de ODUk y OTUkV son síncronas. La señal ODUk se hace corresponder con la zona de cabida útil de OTUkV sin relleno. La trama ODUk no está relacionada con la trama OTUkV.

En el caso de una correspondencia síncrona de tramas, las velocidades binarias de ODUk y OTUkV son síncronas y las estructuras de trama están alineadas. La señal ODUk se hace corresponder con la zona de cabida útil de OTUkV sin relleno y con una posición fija de la trama ODUk dentro de la trama OTUkV. (Véase la figura II.8.)

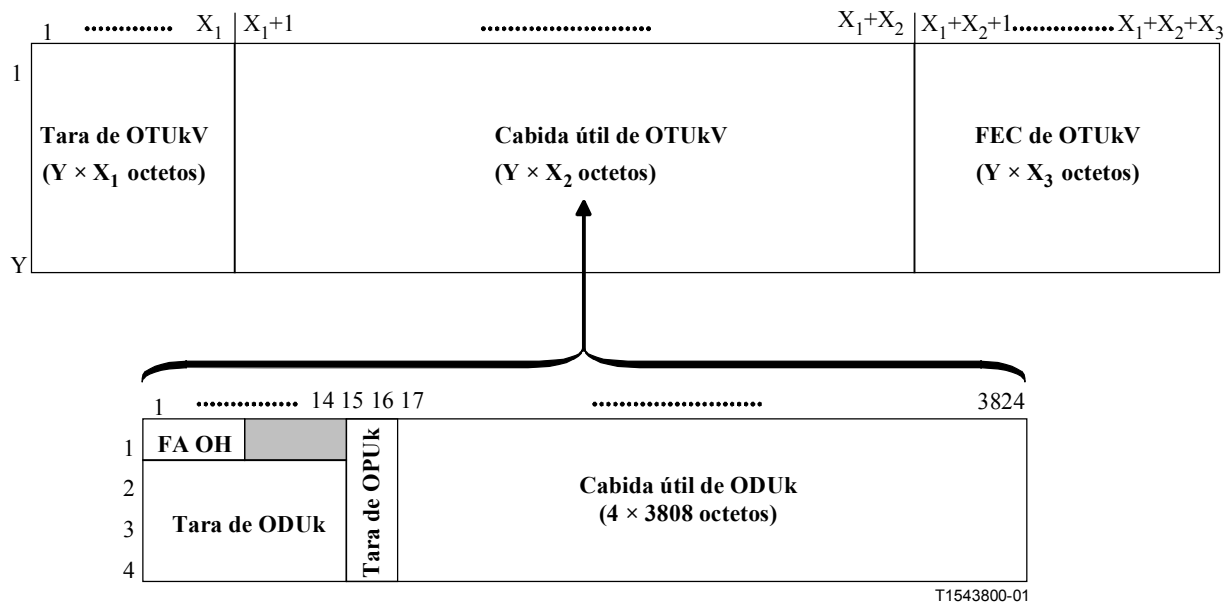


Figura II.8/G.709/Y.1331 – Correspondencia asíncrona (o síncrona de bits) de ODUk con OTUkV

RECOMENDACIONES UIT-T DE LA SERIE Y
INFRAESTRUCTURA MUNDIAL DE LA INFORMACIÓN Y ASPECTOS DEL PROTOCOLO INTERNET

INFRAESTRUCTURA MUNDIAL DE LA INFORMACIÓN	
Generalidades	Y.100–Y.199
Servicios, aplicaciones y programas intermedios	Y.200–Y.299
Aspectos de red	Y.300–Y.399
Interfaces y protocolos	Y.400–Y.499
Numeración, direccionamiento y denominación	Y.500–Y.599
Operaciones, administración y mantenimiento	Y.600–Y.699
Seguridad	Y.700–Y.799
Características	Y.800–Y.899
ASPECTOS DEL PROTOCOLO INTERNET	
Generalidades	Y.1000–Y.1099
Servicios y aplicaciones	Y.1100–Y.1199
Arquitectura, acceso, capacidades de red y gestión de recursos	Y.1200–Y.1299
Transporte	Y.1300–Y.1399
Interfuncionamiento	Y.1400–Y.1499
Calidad de servicio y características de red	Y.1500–Y.1599
Señalización	Y.1600–Y.1699
Operaciones, administración y mantenimiento	Y.1700–Y.1799
Tasación	Y.1800–Y.1899

Para más información, véase la Lista de Recomendaciones del UIT-T.

SERIES DE RECOMENDACIONES DEL UIT-T

Serie A	Organización del trabajo del UIT-T
Serie B	Medios de expresión: definiciones, símbolos, clasificación
Serie C	Estadísticas generales de telecomunicaciones
Serie D	Principios generales de tarificación
Serie E	Explotación general de la red, servicio telefónico, explotación del servicio y factores humanos
Serie F	Servicios de telecomunicación no telefónicos
Serie G	Sistemas y medios de transmisión, sistemas y redes digitales
Serie H	Sistemas audiovisuales y multimedios
Serie I	Red digital de servicios integrados
Serie J	Redes de cable y transmisión de programas radiofónicos y televisivos, y de otras señales multimedios
Serie K	Protección contra las interferencias
Serie L	Construcción, instalación y protección de los cables y otros elementos de planta exterior
Serie M	RGT y mantenimiento de redes: sistemas de transmisión, circuitos telefónicos, telegrafía, facsímil y circuitos arrendados internacionales
Serie N	Mantenimiento: circuitos internacionales para transmisiones radiofónicas y de televisión
Serie O	Especificaciones de los aparatos de medida
Serie P	Calidad de transmisión telefónica, instalaciones telefónicas y redes locales
Serie Q	Conmutación y señalización
Serie R	Transmisión telegráfica
Serie S	Equipos terminales para servicios de telegrafía
Serie T	Terminales para servicios de telemática
Serie U	Conmutación telegráfica
Serie V	Comunicación de datos por la red telefónica
Serie X	Redes de datos y comunicación entre sistemas abiertos
Serie Y	Infraestructura mundial de la información y aspectos del protocolo Internet
Serie Z	Lenguajes y aspectos generales de soporte lógico para sistemas de telecomunicación